

UNIVERSIDADE TECNOLÓGICA FEDERAL DO PARANÁ  
DEPARTAMENTO ACADÊMICO DA ELÉTRICA  
CURSO DE ENGENHARIA DE CONTROLE E AUTOMAÇÃO

JUAN FONSECA MAIA DA SILVA

**ESTUDO TEÓRICO E EXPERIMENTAL DA DINÂMICA E  
CONTROLE DE MANIPULADOR ROBÓTICO**

TRABALHO DE CONCLUSÃO DE CURSO

CORNÉLIO PROCÓPIO  
2017

JUAN FONSECA MAIA DA SILVA

**ESTUDO TEÓRICO E EXPERIMENTAL DA DINÂMICA E  
CONTROLE DE MANIPULADOR ROBÓTICO**

Trabalho de Conclusão de Curso de graduação,  
apresentado à disciplina Tcc 2 do Curso de En-  
genharia de Controle e Automação da Universi-  
dade Tecnológica Federal do Paraná - UTFPR  
como requisito parcial para obtenção do título  
de Bacharel em Engenharia de Controle e Auto-  
mação.

Orientador: Prof. Dr. Fabian Andres Lara Molina

CORNÉLIO PROCÓPIO  
2017

## **AGRADECIMENTOS**

Primeiramente agradeço a minha família e a grishina olga vladimirovna que sempre estiveram ao meu lado nestes longos anos.

Agradeço também a todos meus amigos na fernomar construtora, na juventude Socialista PDT, na capoeira e na UTFPR que me apoiaram e incentivaram.

Bem como aos professores Fabian Andres Lara Molina e Edson Hideki Koroishi que contribuíram muito para que esse trabalho fosse realizado.

## RESUMO

FONSECA, Juan Maia da Silva. **Estudo Teórico e Experimental da Dinâmica e Controle de Manipulador Robótico**. 2017. 100 f. Trabalho de Conclusão de Curso (Graduação) – Engenharia de Controle e Automação. Universidade Tecnológica Federal do Paraná. Cornélio Procópio, 2017.

Este trabalho tem como objetivo apresentar uma abordagem teórica e experimental de um robô ARM com 3 graus de liberdade. Para isto, as ferramentas desenvolvidas para simulação, desenvolvimento de um protótipo e controle de manipuladores são apresentadas. Baseado nestas ferramentas será feita uma discussão sobre o quão pertinente é utilizar aplicativos computacionais difundidos no âmbito acadêmico e no industrial no análise e controle de manipuladores robóticos. O manipulador estudado neste trabalho é modelado, e sua dinâmica analisada mediante simulação computacional. Adicionalmente, é desenvolvido o projeto do controle de posição de uma junta robótica. Os experimentos comprovarão a eficiência da técnica de controle proposta.

**Palavras-chaves:** Manipuladores Robóticos, Robotics Toolbox, MATLAB.

## **ABSTRACT**

FONSECA, Juan Maia da Silva. Theoretical and experimental study of the dynamics and control of robotic manipulator. 2017. 100f. Work Completion of course (Graduation) - Automation and Control Engineering. Universidade Tecnológica Federal do Paraná. Cornélio Procópio, 2017.

This work aims to present a theoretical and experimental approach to an ARM robot with 3 degrees of freedom. Simultaneously it will be presented tools built for simulation and control of manipulators, which will be a discussion of how relevant would be to apply the use of a computer application widespread in the academic, the industrial. a case study where the goal and make a comparison between theory and practice, and verify that the tool developed for simulation could be extended to companies will be done. The developed handler is modeled and its dynamics analyzed through simulations. The experiments will prove the effectiveness of the proposed control technique.

**Key-words:** Robotic Manipulators, Robotics Toolbox, MATLAB.

## LISTA DE ILUSTRAÇÕES

Figura 1	– Anatomia de um robô angular.....	13
Figura 2	– Notação de Denavit Hartenberg.....	15
Figura 3	– Diagrama de blocos de um robô com um compensador PID. ....	18
Figura 4	– Diagrama de blocos para o controle de torque. ....	19
Figura 5	– Cinemática direta. ....	23
Figura 6	– Funções do modelo dinâmico. ....	26
Figura 7	– Torque em função do tempo.....	27
Figura 8	– GUIDE MATLAB.....	28
Figura 9	– Trajetória com guide. ....	30
Figura 10	– Simulação com guide. ....	32
Figura 11	– Gráficos com guide. ....	33
Figura 12	– <i>Arduino</i> Mega. ....	38
Figura 13	– Processo de Controle.....	39
Figura 14	– Chip L298N. ....	40
Figura 15	– Ligações de L298 e <i>Arduino</i> . ....	40
Figura 16	– Elo 1. ....	42
Figura 17	– Elo 2. ....	43
Figura 18	– Elo 3. ....	44
Figura 19	– Robô completo vista lateral.....	45
Figura 20	– Robô completo vista superior.....	45
Figura 21	– Robô completo vista isométrica. ....	46
Figura 22	– Impressão em 3D do apoio do elo 2.....	48
Figura 23	– Impressão em 3D do elo 1. ....	49
Figura 24	– Impressão em 3D do elo 3. ....	49
Figura 25	– Detalhe de espaço no acoplamento de elos. ....	50
Figura 26	– Impressão em 3D dos elos 2 e 3. ....	50
Figura 27	– Impressão em 3D do pinhão do motor. ....	51
Figura 28	– Ligação eletrônica no quadro elétrico. ....	52
Figura 29	– Parte frontal quadro elétrico. ....	53
Figura 30	– Saídas de cabos do quadro elétrico.....	54
Figura 31	– Interface GUIDE. ....	55
Figura 32	– Funcionalidade do botão para pesquisar endereço do modelo. ....	56
Figura 33	– Funcionalidade do botão para carregar os dados do modelo.....	56
Figura 34	– Trajetória criada pelo usuário.....	57
Figura 35	– Trajetória real simulada. ....	57
Figura 36	– Torque simulado no motor. ....	58
Figura 37	– Trajetória 3D do robô na vista isométrica. ....	58
Figura 38	– Trajetória 3D do robô na vista superior. ....	59
Figura 39	– Posição angular das juntas. ....	59
Figura 40	– Resposta para degrau de 100 graus ....	60
Figura 41	– Resposta ampliada para degrau de 100 graus.....	60
Figura 42	– Resposta para trajetória de 90 graus.....	61
Figura 43	– Força Centrípeta.....	70
Figura 44	– Força de Coriolis. ....	71

## LISTA DE TABELAS

Tabela 1	–	Nomenclatura das partes da guide trajetória .....	31
Tabela 2	–	Nomenclatura das partes da guide simulação .....	32
Tabela 3	–	Nomenclatura das partes da guide mostrar .....	34
Tabela 4	–	Comparação de preços de plataformas de desenvolvimento .....	35
Tabela 5	–	Informações motor DC .....	36
Tabela 6	–	Nomenclatura das partes do elo 1 .....	42
Tabela 7	–	Nomenclatura das partes do elo 2 .....	43
Tabela 8	–	Nomenclatura das partes do elo 3 .....	44
Tabela 9	–	Descrição quadro elétrico .....	52
Tabela 10	–	Descrição parte frontal do quadro elétrico .....	53
Tabela 11	–	Descrição saídas de cabos do quadro elétrico .....	54

## SUMÁRIO

<b>1 INTRODUÇÃO</b>	<b>9</b>
1.1 PROBLEMA	10
1.2 MOTIVAÇÃO E JUSTIFICATIVAS	11
1.3 OBJETIVOS	11
1.3.1 Objetivos Gerais	11
1.3.2 Objetivos Específicos	12
1.4 ESTRUTURA DO TRABALHO	12
<b>2 FUNDAMENTOS TEÓRICOS</b>	<b>13</b>
2.1 MANIPULADOR ROBÓTICO	13
2.2 ESTRUTURA MECÂNICA	14
2.3 CINEMÁTICA	14
2.3.1 Cinemática Direta	15
2.3.2 Cinemática Inversa	16
2.4 DINÂMICA	16
2.5 CONTROLE	17
2.6 A FERRAMENTA DE ROBÓTICA DO MATLAB	19
<b>3 MATERIAIS E MÉTODOS</b>	<b>21</b>
3.1 MODELAGEM DO MANIPULADOR	21
3.1.1 Cinemática Direta	21
3.1.2 Cinemática Inversa	24
3.1.3 Simulação do Modelo Dinâmico	26
3.2 SIMULAÇÃO COMPUTACIONAL	27
3.2.1 Desenvolvimento da Guide	29
3.3 DESENVOLVIMENTO DO PROTÓTIPO	34
3.3.1 Geração de Alternativas	34
3.3.1.1 Placa microcontroladora do robô	35
3.3.1.2 Acionamento das Juntas	35
3.3.1.3 Interface de Programação	36
3.3.1.4 Integração dos Recursos Tecnológicos	37
3.3.2 Parte Elétrica	37
3.3.2.1 Eletrônica de controle	37
3.3.2.2 Eletrônica de Potência	39
3.3.2.3 Resumo	41
3.3.3 Parte Mecânica	41
3.3.4 Resumo	46
<b>4 RESULTADOS</b>	<b>47</b>
4.1 RESULTADOS DA CONSTRUÇÃO DO PROTÓTIPO	47
4.1.1 Parte Mecânica	47
4.1.2 Parte Elétrica	51
4.1.2.1 Resumo	54
4.2 RESULTADOS DA SIMULAÇÃO	54
4.3 RESULTADOS DO CONTROLE	60
<b>5 CONCLUSÃO</b>	<b>62</b>
5.0.1 Objetivos Abrangidos	62
5.0.2 Resultados da Parte Mecânica	62
5.0.3 Resultados da Parte de Simulação	63



5.0.4	Resultados da Parte Eletrônica.....	64
5.0.5	Contribuições .....	64
5.0.6	Limitações no Desenvolvimento .....	64
5.0.7	Sugestões para Trabalhos Futuros .....	65
	<b>ANEXO A – CINEMÁTICA DO MANIPULADOR ROBÓTICO COM</b>	
	<b>TRÊS GRAUS DE LIBERDADE .....</b>	<b>68</b>
	<b>ANEXO B – CONCEITOS DA DINÂMICA DO MANIPULADOR</b>	
	<b>ROBÓTICO .....</b>	<b>70</b>
	<b>ANEXO C – PROGRAMA ARDUINO TRAJETORIA .....</b>	<b>73</b>
	<b>ANEXO D – CODIGO MATLAB .....</b>	<b>83</b>

## 1 INTRODUÇÃO

Grande parte das pessoas, quando pensam em robô, relaciona-os à humanoides dos filmes de ficção científica, sendo apenas uma visão ingênua e fantasiosa criado pela indústria de filmes, como os robôs que pensam como humanos, ou ainda aqueles que escravizam civilizações e invadem a terra. Porém na atualidade esta visão é diferente (STONE, 2004).

Na indústria, os robôs são destinados, por exemplo, para melhorar a capacidade de produção pela automação de tarefas de manufatura. Os robôs como aparelho automáticos, geralmente em forma de braço, são capazes de cumprir determinadas tarefas (CRAIG, 2012). O *Robot Institute of América* (Instituto de Robótica da América) designa um robô como "um manipulador multifuncional reprogramável, projetado para mover materiais, peças, ferramentas ou dispositivos especializados através de programas para o modificar o desempenho em uma variedade de tarefas"(STONE, 2004).

Diversas tarefas executadas na indústria demandam de velocidade, precisão e repetição do movimento. Outras tarefas apresentam insalubridade para os operários. Nesse sentido os robôs são introduzidos na indústria para executar a tarefa e preservar a integridade física do trabalhador (CRAIG, 2012).

Em meados de 1945, com o término da segunda guerra mundial, os Estados Unidos impulsionados pela indústria bélica que supria armas para Guerra Fria e por um rápido avanço em sua tecnologia, experimentaram um forte crescimento econômico. Em 1961 a GM(General Motors) instalou o robô INIMATE em sua linha de produção e montagem, dando origem a robótica. Ele pesava 1.800 Kg e obedecia a comandos gravados em fitas magnéticas. O robô tinha a função de carga e descarga de peças em altas temperaturas de uma máquina de fundição (SICILIANO; KHATIB, 2008).

Em 1964 foram criados e utilizados na indústria robôs hidráulicos com até 6 graus de liberdade numa fábrica na Noruega. Esse robô foi o primeiro a usar o conceito de coordenadas polares e movimento com trajeto contínua. O robô foi utilizado para pintar peças. Na década de 70 um agricultor britânico criou um robô para soldagem do tipo arco voltaico, o robô foi fruto de uma modificação de um robô pulverizador (SICILIANO; KHATIB, 2008).

Em 1971, durante a reestruturação da indústria japonesa, os processos de manufatura foram aperfeiçoados com robôs. O resultado foi corte de custos e melhoria da eficiência. O primeiro robô de nome *Unimate*, foi desenvolvido pela *Kawasaki* em 1972, depois de adquirir o projeto *Unimation* e efetuar melhorias e adaptações em suas funcionalidades com o objetivo de criar um robô de arco-de-solda para trabalhar na linha de montagem de suas motocicletas (SANTOS, 2004).

Em 1973 a *Unimation*, criadora do robô *Unimate* cria WAVE a primeira linguagem de programação para esse manipulador, em 1974 a empresa cria AL, com ambas sendo substituídas pela linguagem VAL alguns anos mais tarde. Ainda em 1974 a *Unimation* cria o seu segundo

manipulador chamado *PUMA-Programmable Universal Machine for Assembly* (Máquina universal programável para montagem), sendo este disponibilizado no mercado em 1978. Ainda nos dias de hoje o manipulador PUMA continua sendo bastante utilizado na indústria (CRAIG, 2012).

No final da década de 70, ainda no Japão foi construído pela Universidade de Yamashiro um robô com grande aplicação industrial: *SCARA-Selective Compliant Assembly Robot Arm* (Braço Robótico para Montagem com Flexibilidade Seletiva). O robô SCARA é geralmente rápido e mais sensível que os sistemas de robôs cartesianos. Sua montagem é simples, porém podem ser mais caros que os robôs cartesianos, e o sistema de controle mais complexo. Atualmente esse tipo de robô é bastante empregado em trabalhos onde demandam precisão e velocidade na operação (CARRARA, 2009).

Os robôs são utilizados numa gama variada de aplicações industriais. As primeiras aplicações consistiam em automatizar operações de carga e descarga, porém com o avanço da tecnologia, as aplicações diversificaram-se de simples operação de transporte a operações de montagem e processos (soldagem, pintura, deposição de vedantes, etc.).

O presente trabalho tem como finalidade apresentar um estudo teórico e experimental de um robô ARM com 3 graus de liberdade. Consequentemente, ferramentas computacionais para a simulação e controle e desenvolvimento do manipuladores robóticos são aplicadas no desenvolvimento do trabalho. Ditas ferramentas computacionais utilizam o software MATLAB para simulação, Solid Works para o projeto do protótipo e Arduino IDE para a prototipagem experimental das leis de controle nas juntas do robô. O Objetivo é fazer uma comparação entre a teoria e prática, e verificar se a ferramenta desenvolvida para simulação poderia ser estendida às empresas, evitando custos em relação a utilização de robôs industriais.

## 1.1 PROBLEMA

Numa linha de produção a maioria das tarefas são repetitivas, sendo assim que a metade do século passado surgiu um problema: como replicar uma tarefa para outras máquinas, economizando tempo e recursos. O primeiro a procurar uma solução para esse problema foi Sir. Charles Devol, que desenvolveu uma forma de registrar uma sequência de trajetórias a serem seguidas por um robô (GROOVER, 1987).

Um dos grandes problemas do início da robótica, foi programar um robô para uma determinada tarefa em toda linha de montagem. Infelizmente falhas podem acontecer, e para evitar esse problema empresas investem quantias substanciais em softwares de simulação. Num software de simulação é possível criar um ambiente virtual para testar o funcionamento de um robô, para somente depois de corrigidos eventuais problemas ele ser aplicado de forma real.

A maioria das universidades de engenharia do mundo utilizam o MATLAB como soft-

ware para análise de controle de sistemas e simulação. Dentro do MATLAB existem as toolboxes (ferramentas) que são funções adicionais daquelas presentes no programa para uma aplicação específica. Estas funções são agregadas mediante a instalação de bibliotecas externas. Uma ferramenta em constante desenvolvimento e com varias funções destinadas á simulação de manipuladores robóticos, chamada *Robotics Toolbox for Matlab* pode ser instalada no MATLAB (CORKE, 2015). Esta toolbox com código fonte aberto, aborda varias questões relativas aos robôs, sendo útil para simulação e controle de manipuladores reais, a partir de experimentos virtuais.

Algumas indústrias, especialmente aquelas que usam o robô PUMA têm implantado a toolbox em sua linha de produção(MATHWORKS, 2011). Nessa abordagem, esse trabalho propõe fazer um estudo mediante simulações computacionais e comparar com experimentos práticos para um robô com três graus de liberdade.

Adicionalmente, o estudo experimental do controle de posição de uma junta robótica também será apresentado com o objetivo de avaliar o desempenho dinâmico da junta de um manipulador utilizando ferramentas para prototipagem de leis de controle.

## 1.2 MOTIVAÇÃO E JUSTIFICATIVAS

Dentre as principais atribuições de um engenheiro, destaca-se a busca por reduzir e minimizar possíveis falhas em processos produtivos, bem como a busca por novas tecnologias. Com esse proposito se for possível otimizar a utilização de um software, ou seja, e ter acesso a diferentes funcionalidades num mesmo programa, maior será a economia da empresa. Este trabalho se constitui em uma primeira tentativa para desenvolver ferramentas de desenvolvimento utilizadas nas indústrias de manufatura que aplicam manipuladores robóticos nos processos de manufatura. Portanto, é necessário desenvolver ferramentas computacionais para a análise e simulação das leis de controle considerando o modelo dinâmico representativo do manipulador e de seus atuadores. Ademais, faz-se necessário introduzir o uso de simulações com ferramentas intuitivas que podem contribuir no projeto e análise na área da robótica.

## 1.3 OBJETIVOS

### 1.3.1 Objetivos Gerais

Realizar um estudo sobre teórico e experimental da cinemática, dinâmica e controle de um manipulador robótico para o projeto de um manipulador robótico com base na simulação computacional e implementação experimental do controle de uma junta robótica.

### 1.3.2 Objetivos Específicos

- Formular o modelo dinâmico completo do manipulador robótico de três graus de liberdade.
- Simular a dinâmica completa juntamente com o sistema de controle de posição com o auxílio da ferramenta *Robotics Toolbox for Matlab*.
- Projetar e montar um protótipo experimental do manipulador robótico.
- Projetar e implementar o controle experimental de uma junta robótica.

## 1.4 ESTRUTURA DO TRABALHO

O restante deste trabalho de conclusão de curso está dividido em seis seções. O capítulo 2 discorre sobre a fundamentação teórica. O capítulo 3 apresenta os materiais e métodos, isto é, como será desenvolvido este trabalho. O capítulo 4 apresenta os resultados referentes a construção do protótipo, contemplando a parte mecânica e elétrica, os resultados da simulação com o auxílio do *Simulink* e da toolbox para robótica, e por fim o resultados do controle da junta robótica. Finalmente, no capítulo 5 é identificado os objetivos foram atingidos ou não. Também nesse capítulo é mostrado as limitações da pesquisa e as possíveis contribuições.

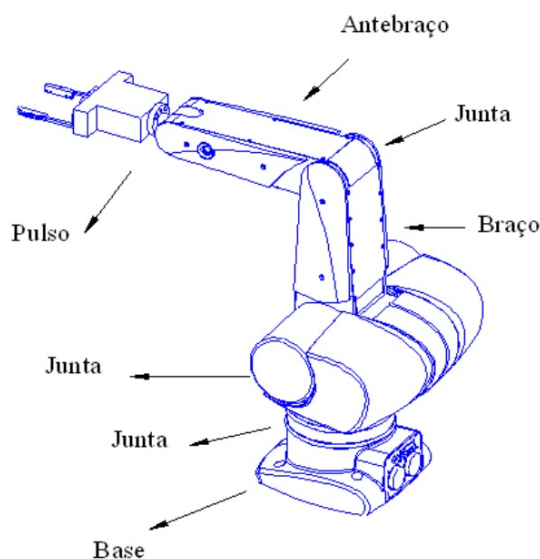
## 2 FUNDAMENTOS TEÓRICOS

Este capítulo apresentara os conceitos fundamentais relacionados à robótica e aos manipuladores robóticos. Na primeira seção discorre sobre o princípio de funcionamento, e componentes de um robô. Após, a seção da cinemática apresenta a modelagem cinemática para o planejamento dos movimentos e trajetórias do manipulador. A seção sobre a dinâmica apresenta a modelagem do manipulador. A seção controle apresenta as técnicas de controle mais utilizadas no controle de manipuladores, e especificamente apresenta o controle PID utilizando neste trabalho. E por fim na ultima seção será apresentado a ferramenta de simulação e controle robótica utilizada no software MATLAB.

### 2.1 MANIPULADOR ROBÓTICO

Um manipulador é um conjunto de corpos rígidos ligados por juntas, formando cadeias cinemáticas que definem uma estrutura mecânica. Este é composto por atuadores, que agem sobre as juntas, adicionalmente, a transmissão liga os atuadores à estrutura mecânica. Muitas vezes o termo manipulador e robô são usados com a mesma finalidade, embora, formalmente, tal não seja um consenso no meio científico (PIERI, 2002).

A estrutura principal dos manipuladores robóticos antropomórfico é formada por: Estrutura mecânica (Antebraço, pulso, junta, braço e base), atuadores(elétricos, hidráulicos ou pneumáticos), sistema de controle e por um painel de comando (FERREIRA, 2005) como mostrado na Fig. 1. **referenciar todas as figuras no texto... Revisar isto....**



**Figura 1 – Anatomia de um robô angular.**  
Fonte: (CARRARA, 2009).

## 2.2 ESTRUTURA MECÂNICA

Nessa seção iremos apresentar a base, braço, juntas, órgão terminal, sensores e acionamentos.

A base oferece um suporte ao manipulador. O tipo de base mais utilizada no mundo é a fixa, porem a base pode ser móvel. Os de base fixa operam dentro de um espaço limitado e não podem movimentar-se na base(PIERI, 2002).

O braço é constituído por elos unidos por juntas de movimento rotacional. As informações obtidas pelos sensores são processadas pelo sistema de controle e logo apos o movimento será executado (CARRARA, 2009).

As juntas orientam os elos para as posições que correspondem a uma tarefa á ser realizada (CRAIG, 2012). A junta podem ser do tipo prismática, rotacional, esférica, cilíndrica ou planar. Devido a funcionalidade as juntas rotativas e prismáticas são as mais utilizadas. Por causa da combinação de movimento em linha reta e giro em torno de um eixo contemplar quase todos as trajetórias necessárias para um bom funcionamento do manipulador podem ser realizadas (CARRARA, 2009).

O órgão terminal é conectado ao pulso, também conhecida como garra, tem a função de agarrar objetos de forma segura (ROMANO, 2002).

Os sensores informam ao sistema de controle informações acerca do ambiente que foram inseridos. Na robótica, os sensores são necessários para detecção de posição, orientação, obstáculos e analisar defeitos (ROSÁRIO, 2006);

Os dispositivos de acionamentos é responsável pelo movimento dos elos e da dinâmica dos robôs. Nas linhas de produção acionamentos elétricos são os mais utilizados, visto que apresentam maior precisão e sensibilidade (CARRARA, 2009). O acionamento pode ser direto ou indireto. Ele é direto quando o acionador é adaptado direto na junta. Ele é indireto quando a transmissão de potência é feita com correntes, polias, engrenagens ou correias (SANTOS, 2004).

## 2.3 CINEMATICA

A cinemática estuda os movimentos dos robôs, isto é a posição no espaço tridimensional, e a velocidade angular(PIERI, 2002).

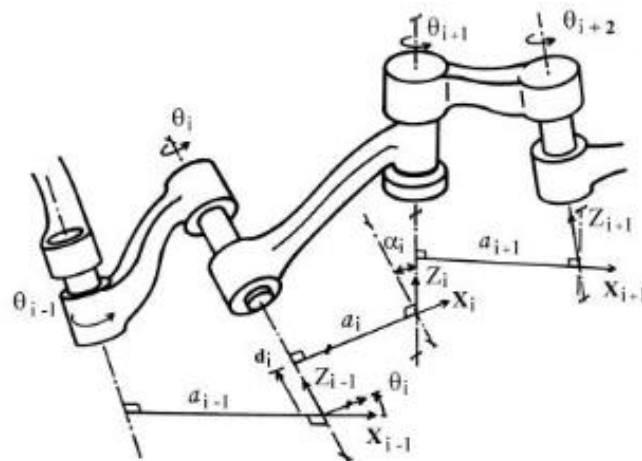
As principais questões á serem respondidas com relação á cinemática são: a cinemática direta onde a intenção é determinar a posição e orientação do efetuador final em relação a um sistema de referencia, já a forma inversa permite calcular os ângulos das juntas a partir da posição e orientação do mesmo efetuador final (PIERI, 2002).

### 2.3.1 Cinemática Direta

Na cinemática inversa o objetivo é determinar a orientação e posição em relação a base. Como resultado teremos uma equação para cada tipo de robô, de acordo com a sua configuração. Porém é necessário conhecermos os parâmetros de cada elemento do robô (SANTOS, 2004). Para um melhor posicionamento do sistema de coordenadas é comum utilizar a notação de *Denavit Hartenberg*, este algoritmo atribui um sistema de coordenada ortonormal, sendo um sistema para cada elo. Para isto constrói-se a matriz de transformação homogênea (SPONG; VIDYASAGAR, 2008).

A representação DH pode ser vista na figura 2. A representação DH depende de quatro parâmetros, que descrevem o da junta (SANTOS, 2004):

- $\theta_i$ : ângulo de junta obtido entre os eixos  $X_{i-1}$  e  $X_i$  no eixo;
- $d_i$ : distância entre a origem do (i-1)-ésimo sistema de coordenadas até a intersecção do eixo  $Z_{i-1}$  com o  $X_i$ , ao longo de  $Z_{i-1}$ ;
- $a_i$ : distância entre a intersecção dos eixos  $Z_{i-1}$  e  $X_i$  até a origem do i-ésimo sistema de referência ao longo do eixo  $X_i$ ;
- $\alpha_i$ : ângulo entre os eixos  $Z_{i-1}$  e  $Z_i$ , medidos no eixo  $X_i$  (SCHILLING, 1996).



**Figura 2 – Notação de Denavit Hartenberg.**

Fonte: Adaptada de (SANTOS, 2004).

De posse dos parâmetros DH, e a partir dos sistemas de coordenadas definidos pela notação DH, obtém-se a matriz de transformação homogênea apresentada na equação (3.1):



sempre que referenciada uma equação usar o comando eqref

$${}^{i-1}A_i = \begin{bmatrix} \cos \theta_i & -\cos \alpha_i \sin \theta_i & \sin \alpha_i \sin \theta_i & \alpha_i \cos \theta_i \\ \sin \theta_i & \cos \alpha_i \sin \theta_i & -\sin \alpha_i \cos \theta_i & \alpha_i \sin \theta_i \\ 0 & \sin \alpha_i & \cos \alpha_i & d_i \\ 0 & 0 & 0 & 1 \end{bmatrix} \quad (2.1)$$

A matriz pode ser resumida, conforme indicado pela equação (2.2), é formada por uma matriz de rotação R, do tipo 3x3 (responsável por descrever a orientação relativa entre os dois sistemas de coordenadas, definidos como A e B), e um vetor coluna 3x1, cuja função é indicar a origem do sistema de coordenadas B em relação ao sistema de coordenadas A. Da mesma forma, a segunda e terceira coluna representam as posições dos vetores de B em relação á coordenada A. A última linha da matriz será sempre [0 0 0 1] (SCHILLING, 1996).

$${}^A_B T = \begin{bmatrix} {}^A_B R_{3 \times 3} & {}^A O_{B3 \times 1} \\ 0 \ 0 \ 0 & 1 \end{bmatrix} \quad (2.2)$$

### 2.3.2 Cinemática Inversa

Na cinemática inversa buscamos o caminho inverso da cinemática direta, e para resolver esse problema há três métodos principais (PIERI, 2002).

- Método geométrico: Bastante usado quando o robô tem poucos graus de liberdade, bastando apenas equacionar as relações geométricas (PIERI, 2002);
- Matriz de transformação homogênea: É o mais complexo, sendo assim pouco utilizado. A partir da manipulação do modelo cinemático direto obtém-se as relações inversas (PIERI, 2002);
- Desacoplamento cinemático: Trata a posição e orientação final conhecidas, então calcula-se os valores das primeiras variáveis articuladas que atingem esse ponto. As outras variáveis são obtidas com dados de orientações de etapas anteriores (PIERI, 2002).

Dado a simplicidade e eficiência do método geométrico esse será o escolhido para o estudo teórico proposto e posteriores simulações.

## 2.4 DINÂMICA

O modelo dinâmico do manipulador é de extrema importância para determinar os esforços necessários pelos atuadores para realização do movimento. Para acelerar ou desacelerar

um robô afim de completar um movimento é necessário definir um complexo conjunto de esforços que devem ser aplicados aos atuadores. O torque necessário para um movimento depende de parâmetros espaciais e temporais, e o cálculo dos esforços dos efetadores para controlar o manipulador é feito a partir das equações da dinâmica. A dinâmica do manipulador é importante para o projeto, simulação e uma análise mais profunda dos movimentos dos manipuladores (LATRE, 1988).

A dinâmica lida com equações diferenciais do movimento, onde os manipuladores movimenta-se de acordo com os torques aplicados pelos atuadores (CORKE, 2015).

O modelo dinâmico das  $n$  juntas de um manipulador robótico é dado pela equação..., assim:

$$Q = M(q)q'' + C(q, q')q' + F(q') + G(q) \quad (2.3)$$

Sendo:

$q$  = vetor com as coordenadas das juntas que descrevem a posição do robô;

$q'$  = vetor de velocidade das juntas;

$q''$  = vetor com a aceleração das juntas;

$M$  = matriz  $n \times n$  da massa do manipulador;

$C$  = descreve os efeitos da força centrípeta e o torque de Coriolis;

$F$  = descreve os atritos: viscoso e de Coulomb;

$G$  = aceleração da gravidade;

$Q$  = vetor que descreve as forças associadas aos atuadores nas coordenadas dadas por  $q$ .

## 2.5 CONTROLE

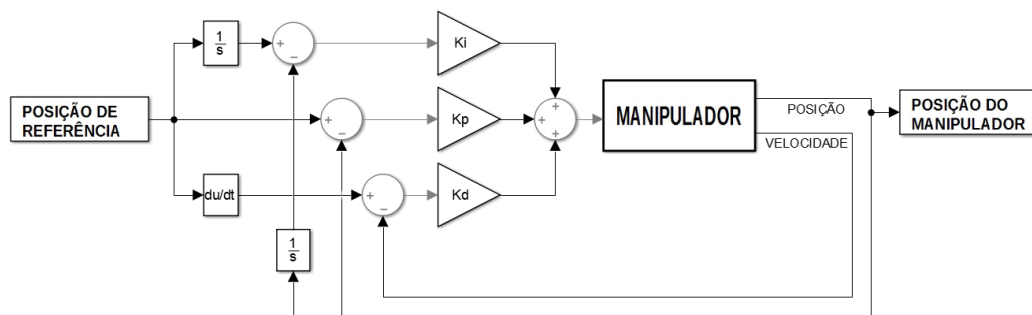
Duas das principais técnicas de controle de trajetória para os manipuladores são: Torque Computado e o PID (Proporcional-Integral-Derivativo). No torque computado determina-se o controle do torque baseado nas equações da dinâmica, por apresentar a necessidade de um sistema preciso de controle de corrente elétrica, esta técnica não é muito utilizada em casos de controles em baixa velocidade. No PID, tem-se o controle isolado para cada junta, sendo assim bastante utilizado por sua facilidade de programação e por oferecer uma precisão satisfatória para muitos casos. No entanto, quando se busca grandes velocidades de operação, a técnica PID não apresenta resultados satisfatórios, já que não leva em consideração os efeitos da dinâmica.

Ele é capaz de eliminar o erro no estado estacionário sem aumentar muito o ganho proporcional, bem como consegue reduzir o efeito eventuais perturbações ocasionadas pelo efeito de acoplamento de outra junta (ROSÁRIO, 2006); Uma desvantagem do PID é que este necessita de um ajuste refinado nos seus parâmetros, além de ser sensível á dinâmica do sistema. Para uma maior eficiência, é necessário o modelo exato da cinemática inversa do manipulador para

que seja possível a conversão de trajetória com precisão (CORKE, 2015).

Nesse trabalho iremos utilizar o controle PID devido a sua facilidade de programação e por oferecer uma precisão satisfatória.

Na figura 3 ilustra o controle PID para um manipulador com n graus de liberdade. O compensador é resultado da soma das componentes: proporcional, integral e derivativa. O parcela proporcional reduz o tempo de subida até a posição de referência. A parcela integral reduz o erro estacionário e a parcela derivativa melhora a estabilidade em regime permanente (OGATA; MAYA; LEONARDI, 2003).



**Figura 3 – Diagrama de blocos de um robô com um compensador PID.**

Fonte: Autoria Própria.

O controlador do tipo PID apresenta a seguinte relação:

$$U(s) = K_p E(s) + \frac{K_i}{s} E(s) + K_d s E(s) \quad (2.4)$$

Os parâmetros de controle são:  $K_p$  (constante de associada ao termo proporcional),  $K_i$  (constante associada ao termo integral e  $K_d$  (constante associada ao termo derivativo). A escolha dessas variáveis vão definir o desempenho final do sistema a ser controlado. A escolha destes parâmetros chama-se sintonia do PID (OGATA; MAYA; LEONARDI, 2003).

Em 1942 Ziegler e Nichols propuseram um método para sintonia de controladores através do ajuste das constantes:  $K_p$ ,  $K_i$  e  $K_d$ , baseado na resposta do sistema quando este é submetido a um degrau de referência. É importante frisar que o método de Ziegler e Nichols é apenas uma estimativa, portanto é necessário uma sintonia fina até encontrar o modelo mais adequado (OGATA; MAYA; LEONARDI, 2003).

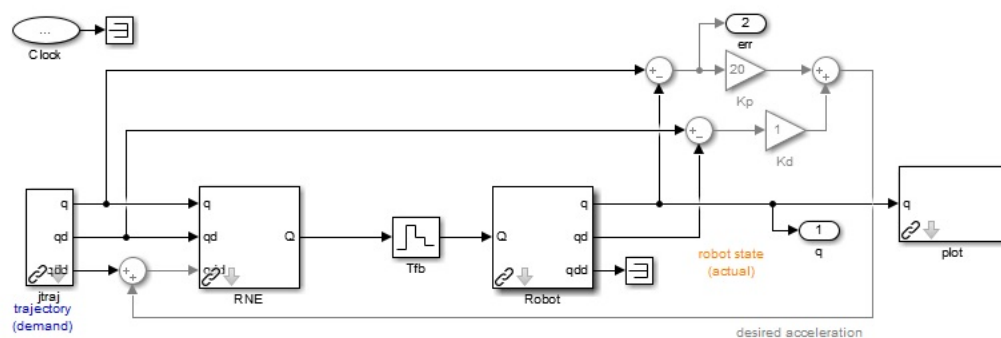
Completar o controle do manipulador utilizando o capítulo de controle linear do livro de robótica de Craig.....: mostrar o diagrama de controle e também a forma de sintonizar os ganhos, no livro explica direito...

## 2.6 A FERRAMENTA DE ROBÓTICA DO MATLAB

Nesse trabalho será utilizado para controle e simulação do manipulador a ferramenta *Robotic Toolbox for MATLAB*. Desenvolvida pelo professor Phd. Peter Corke, ela está disponível gratuitamente no endereço: <http://petercorke.com/RoboticsToolbox.html>.

Para o controle e simulação dos esforços e posição das juntas é necessário o ambiente de simulação Simulink. O ambiente Simulink é bastante utilizado para simulação e análise de sistema dinâmicos. A partir de um diagrama de blocos pode-se simular o modelo. A análise pode ser feita em qualquer ponto do diagrama, bem como fazer mudanças dos parâmetros do sistema e verificar as mudanças (CHAPMAN, 2003).

Na figura 4 podemos ver um exemplo desse tipo de diagrama. Nesse exemplo o usuário fornece parâmetros de entrada um vetor de posição, um vetor de velocidade e um vetor de aceleração.



**Figura 4 – Diagrama de blocos para o controle de torque.**

Fonte: Adaptada de (CORKE, 2015).

A toolbox usa um método muito geral de representar a cinemática e a dinâmica dos manipuladores que é a ligação em série ou paralelo de blocos do *Simulink*. O objeto robô pode ser criado pelo usuário para qualquer manipulador. Uma série de exemplos são fornecidos, dentre os quais podemos citar o robô Rethink, bem como robôs clássicos, como o Puma 560 e o braço de Stanford.

A ferramentas também suporta robôs de base móveis(monociclo, bicicleta), algoritmos de planejamento de trajetória, planejamento cinodinâmico, localização, mapa construção e localização e mapeamento simultâneos. A toolbox também inclui um modelo de *Simulink* detalhado para um robô voador quadrotor.

As vantagens do uso das funções da toolbox são as seguintes:

- O código é maduro e fornece um ponto de comparação para outras implementações dos mesmos algoritmos.

- As rotinas geralmente são escritas de forma direta, o que permite uma compreensão fácil, talvez à custa da eficiência computacional. Se o usuário tiver domínio sobre eficiência computacional, ele sempre poderá reescrever a função para ser mais eficiente, compilar o arquivo M usando o compilador *Matlab* ou criar uma versão MEX.
- Uma vez que o código fonte está disponível, existe um benefício para a compreensão e o ensino.

### 3 MATERIAIS E MÉTODOS

#### 3.1 MODELAGEM DO MANIPULADOR

Nessa seção iremos estabelecer o conjunto de coordenadas responsáveis pela identificação da posição do mecanismo robótico, bem como equacionar soluções que relacionem a posição e movimento das juntas com a posição do efetuador final.

##### 3.1.1 Cinemática Direta

Com o auxílio da toolbox e usando a notação DH, a matriz de transformação homogênea foi criada. A função responsável por esse papel é a *fkine*. Logo abaixo o equacionamento da matriz de transformação homogênea.

$${}^{i-1}A_i = \begin{bmatrix} \cos \theta_i & -\cos \alpha_i \sin \theta_i & \sin \alpha_i \sin \theta_i & \alpha_i \cos \theta_i \\ \sin \theta_i & \cos \alpha_i \sin \theta_i & -\sin \alpha_i \cos \theta_i & \alpha_i \sin \theta_i \\ 0 & \sin \alpha_i & \cos \alpha_i & d_i \\ 0 & 0 & 0 & 1 \end{bmatrix} \quad (3.1)$$

$${}^0T_1 = \begin{bmatrix} C_{\Theta_1} & -S_{\Theta_1} & 0 & 0 \\ S_{\Theta_1} & C_{\Theta_1} & 0 & 0 \\ 0 & 0 & 1 & 0 \\ 0 & 0 & 0 & 1 \end{bmatrix} \quad (3.2)$$

$${}^1T_2 = \begin{bmatrix} C_{\Theta_2} & -S_{\Theta_2} & 0 & L_1 \\ 0 & 0 & -1 & 0 \\ S_{\Theta_2} & C_{\Theta_2} & 0 & 0 \\ 0 & 0 & 0 & 1 \end{bmatrix} \quad (3.3)$$

$${}^2T_3 = \begin{bmatrix} C_{\Theta_3} & -S_{\Theta_3} & 0 & L_2 \\ S_{\Theta_3} & C_{\Theta_3} & 0 & 0 \\ 0 & 0 & 1 & 0 \\ 0 & 0 & 0 & 1 \end{bmatrix} \quad (3.4)$$

$${}^3T_4 = \begin{bmatrix} 1 & 0 & 0 & Le \\ 0 & 1 & 0 & 0 \\ 0 & 0 & 1 & 0 \\ 0 & 0 & 0 & 0 \end{bmatrix} \quad (3.5)$$

$${}^0T_2 = \begin{bmatrix} C_{\Theta_1}C_{\Theta_2} & -C_{\Theta_1}S_{\Theta_2} & S_{\Theta_1} & C_{\Theta_1}L_1 \\ S_{\Theta_1}C_{\Theta_2} & -S_{\Theta_1}S_{\Theta_2} & -C_{\Theta_1} & L_1S_{\Theta_1} \\ S_{\Theta_2} & C_{\Theta_2} & 0 & 0 \\ 0 & 0 & 0 & 1 \end{bmatrix} \quad (3.6)$$

$${}^0T_3 = \begin{bmatrix} a_{11} & a_{12} & a_{13} & a_{14} \\ a_{21} & a_{22} & a_{23} & a_{24} \\ a_{31} & a_{32} & a_{33} & a_{34} \\ a_{41} & a_{42} & a_{43} & a_{44} \end{bmatrix} \quad (3.7)$$

Sendo que para  ${}^0T_e$ :

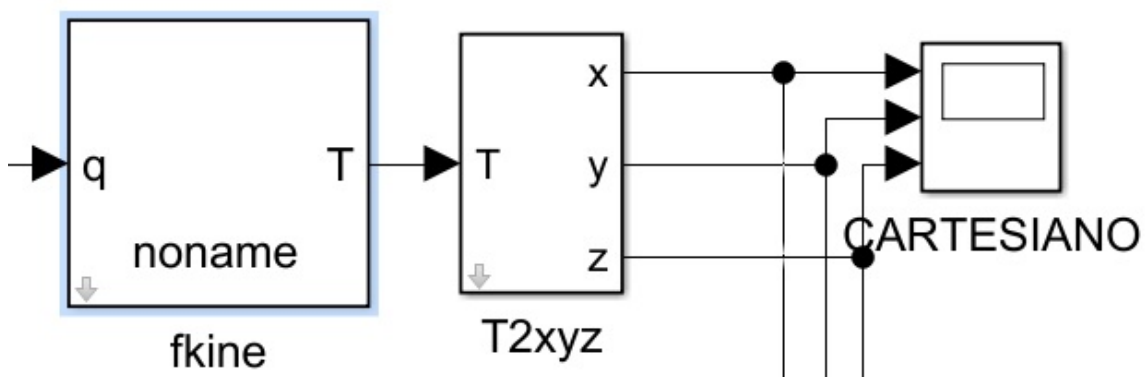
- $a_{11} = C_{\Theta_1}C_{\Theta_2}C_{\Theta_3} - C_{\Theta_1}S_{\Theta_2}S_{\Theta_3}$
- $a_{12} = -C_{\Theta_1}C_{\Theta_2}S_{\Theta_3} - C_{\Theta_1}S_{\Theta_2}C_{\Theta_3}$
- $a_{13} = S_{\Theta_1}$
- $a_{14} = L_2C_{\Theta_1}C_{\Theta_2} + L_1C_{\Theta_1}$
- $a_{21} = S_{\Theta_1}C_{\Theta_2}C_{\Theta_3} - S_{\Theta_1}S_{\Theta_2}S_{\Theta_3}$
- $a_{22} = -S_{\Theta_1}C_{\Theta_2}S_{\Theta_3} + S_{\Theta_1}S_{\Theta_2}C_{\Theta_3}$
- $a_{23} = -C_{\Theta_1}$
- $a_{24} = L_2S_{\Theta_1}C_{\Theta_2} + L_1S_{\Theta_1}$
- $a_{31} = S_{\Theta_2}C_{\Theta_3} + C_{\Theta_2}S_{\Theta_3}$
- $a_{32} = -S_{\Theta_2}S_{\Theta_3} + C_{\Theta_2}C_{\Theta_3}$
- $a_{33} = 0$
- $a_{34} = L_2S_{\Theta_2}$
- $a_{41} = 0$
- $a_{42} = 0$
- $a_{43} = 0$
- $a_{44} = 1$

$${}^0T_e = \begin{bmatrix} a_{11} & a_{12} & a_{13} & a_{14} \\ a_{21} & a_{22} & a_{23} & a_{24} \\ a_{31} & a_{32} & a_{33} & a_{34} \\ a_{41} & a_{42} & a_{43} & a_{44} \end{bmatrix} \quad (3.8)$$

Sendo que para  ${}^0T_e$ :

- $a_{11} = C_{\Theta_1}C_{\Theta_2}C_{\Theta_3} - C_{\Theta_1}S_{\Theta_2}S_{\Theta_3}$
- $a_{12} = -C_{\Theta_1}C_{\Theta_2}S_{\Theta_3} - C_{\Theta_1}S_{\Theta_2}C_{\Theta_3}$
- $a_{13} = S_{\Theta_1}$
- $a_{14} = L_e[C_{\Theta_1}C_{\Theta_2}C_{\Theta_3} - C_{\Theta_1}S_{\Theta_2}S_{\Theta_3}]L_2C_{\Theta_1}C_{\Theta_2} + L_1C_{\Theta_1}$
- $a_{21} = S_{\Theta_1}C_{\Theta_2}C_{\Theta_3} - S_{\Theta_1}S_{\Theta_2}S_{\Theta_3}$
- $a_{22} = -S_{\Theta_1}C_{\Theta_2}S_{\Theta_3} + S_{\Theta_1}S_{\Theta_2}C_{\Theta_3}$
- $a_{23} = -C_{\Theta_1}$
- $a_{24} = L_e[S_{\Theta_1}C_{\Theta_2}C_{\Theta_3} - S_{\Theta_1}S_{\Theta_2}S_{\Theta_3}]L_2S_{\Theta_1}C_{\Theta_2} + L_1S_{\Theta_1}$
- $a_{31} = S_{\Theta_2}C_{\Theta_3} + C_{\Theta_2}S_{\Theta_3}$
- $a_{32} = -S_{\Theta_2}S_{\Theta_3} + C_{\Theta_2}C_{\Theta_3}$
- $a_{33} = 0$
- $a_{34} = L_e[S_{\Theta_2}C_{\Theta_3} + C_{\Theta_2}S_{\Theta_3}] + L_2S_{\Theta_2}$
- $a_{41} = 0$
- $a_{42} = 0$
- $a_{43} = 0$
- $a_{44} = 1$

Logo após com o auxílio da função  $T2xyz$  podemos encontrar os pontos no espaço cartesiano. Logo abaixo na figura xx é ilustrado essa interação



**Figura 5 – Cinemática direta.**  
Fonte: Autoria Própria.



A importância desse conceito está no fato de que a partir de uma coordenada angular em radiano o operador descobrirá a posição da extremidade do último elo do robô. A movimentação do robô é feita modificando o conjunto de coordenadas angulares dados por  $q$ , desse modo a movimentação do manipulador é feita de forma gradativa.

### 3.1.2 Cinemática Inversa

O método usado pela toolbox para fazer os cálculos é a função *ikine*, onde o usuário entra com os dados de trajetória no espaço cartesiano e com o objeto robô. Como resultado a função retorna um vetor  $q$  em radianos.

Infelizmente o método mostrou-se ineficaz para configurações de robôs que não fossem os previamente carregados nos exemplos da toolbox. Apesar de não cumprir com uma função essencial para o projeto de um robô esse erro é aceitável, uma vez que a solução para cada robô é única em decorrência dos diferentes graus de liberdade.

Sendo assim foi necessário desenvolver um algoritmo para executar essa função, algo que levou em torno de 2 semanas para encontrar uma solução ideal, levando em conta todas as limitações de projeto. Em termos de cinemática inversa, a toolbox oferece apenas uma descrição do robô se ele estiver contido nos exemplos disponíveis, o que é um problema que custa horas de trabalho no desenvolvimento.

Logo abaixo as equações necessárias para solucionar o problema da cinemática inversa. O software detalhado que foi desenvolvido bem como a geração de trajetória constam na seção de anexos.

$$X = C_{\Theta_1}[L_1 + L_e C_{\Theta_2} \theta_3 + L_2 C_{\Theta_2}] \quad (3.9)$$

$$Y = S_{\Theta_1}[L_1 + L_e C_{\Theta_2} \theta_3 + L_2 C_{\Theta_2}] \quad (3.10)$$

$$Z = L_e S_{\Theta_2} \theta_3 + L_2 S_{\Theta_2} \quad (3.11)$$

Fazendo:

$$\frac{y}{x} = \tan \Theta_1 \quad (3.12)$$

$$\tan^{-1}\left(\frac{y}{x}\right) = \Theta_1 \quad (3.13)$$

Ângulo 3:

$$L_e C_{\Theta_2} \theta_3 + L_2 C_{\Theta_2} = \frac{X}{C_{\Theta_1}} - L_1 = \frac{Y}{S_{\Theta_1}} - L_1 = A \quad (3.14)$$

$$Z = L_e S_{\Theta_2 \Theta_3} + L_2 S_{\Theta_2} = B \quad (3.15)$$

$$A^2 + B^2 = L_e^2 C_{\Theta_2 \Theta_3}^2 + L_2^2 C_{\Theta_2}^2 + 2L_e L_2 C_{\Theta_2 \Theta_3} C_{\Theta_1} + L_e^2 S_{\Theta_2 \Theta_3}^2 + L_2^2 S_{\Theta_2}^2 + 2L_e L_2 S_{\Theta_2 \Theta_3} S_{\Theta_2} \quad (3.16)$$

$$A^2 + B^2 = L_e^2 (C_{\Theta_2 \Theta_3}^2 + S_{\Theta_2 \Theta_3}^2) + L_2 (C_{\Theta_2}^2 + S_{\Theta_2}^2) + 2L_e L_2 (C_{\Theta_2 \Theta_3} C_{\Theta_2} + S_{\Theta_2 \Theta_3} S_{\Theta_2}) \quad (3.17)$$

$$A^2 + B^2 = L_e^2 + L_2^2 + 2L_e L_2 (C_{\Theta_2 + \Theta_3 - \Theta_2}) \quad (3.18)$$

$$A^2 + B^2 = L_e^2 + L_2^2 + 2L_e L_2 (C_{\Theta_3}) \quad (3.19)$$

$$\Theta_3 = \cos^{-1} \frac{A^2 + B^2 - L_2^2 - L_e^2}{2L_e L_2} \quad (3.20)$$

Ângulo 2, temos que:

$$L_e C_{\Theta_2 \Theta_3} + L_2 C_{\Theta_2} = A \quad (3.21)$$

$$L_e S_{\Theta_2 \Theta_3} + L_2 S_{\Theta_2} = B \quad (3.22)$$

Então temos:

$$L_e (C_{\Theta_2} C_{\Theta_3} - S_{\Theta_2} S_{\Theta_3}) + L_2 C_{\Theta_2} = A \quad (3.23)$$

$$L_e C_{\Theta_2} C_{\Theta_3} - L_2 S_{\Theta_2} S_{\Theta_3} + L_2 C_{\Theta_2} = A \quad (3.24)$$

$$(L_e C_{\Theta_2} + L_2) C_{\Theta_2} - (L_e S_{\Theta_3}) S_{\Theta_2} = A \quad (3.25)$$

$$L_e (S_{\Theta_2} C_{\Theta_3} + C_{\Theta_2} S_{\Theta_3}) + L_2 C_{\Theta_2} = B \quad (3.26)$$

$$L_e S_{\Theta_2} C_{\Theta_3} + L_e C_{\Theta_2} S_{\Theta_3} + L_2 C_{\Theta_2} = B \quad (3.27)$$

$$(L_e C_{\Theta_3} + L_2) S_{\Theta_2} - (L_e S_{\Theta_3}) C_{\Theta_2} = B \quad (3.28)$$

Partindo do teorema:

$$a \cos \Theta - b \cos \Theta = c \quad (3.29)$$

$$a \sin \Theta + b \cos \Theta = d \quad (3.30)$$

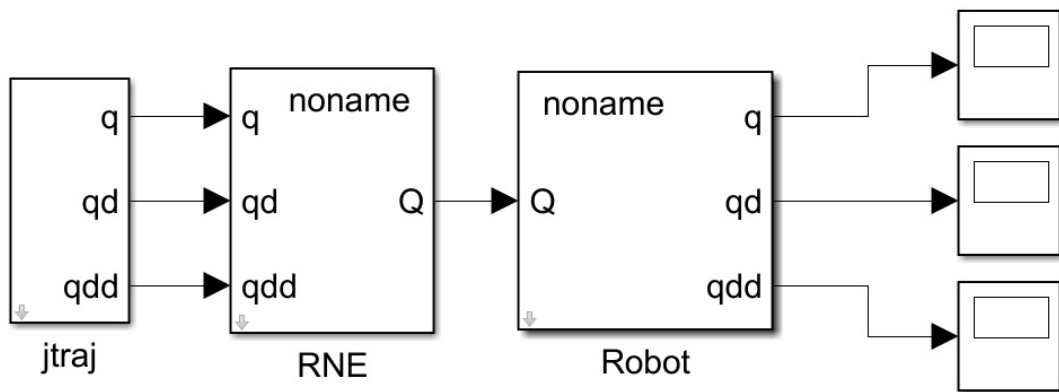
$$\Theta = \tan^{-1}(d, c) - \tan^{-1}(b, a) \quad (3.31)$$

$$\Theta_2 = \text{atan2d}(B, A) - \text{atan2d}(L_e S_{\Theta_3}, L_e C_{\Theta_3} + L_2) \quad (3.32)$$

### 3.1.3 Simulação do Modelo Dinâmico

No modelo dinâmico apresentado pela toolbox as informações são apresentadas em forma de matriz. As linhas representam os elos e as colunas os parâmetros relacionados às variáveis de retorno das funções do modelo dinâmico.

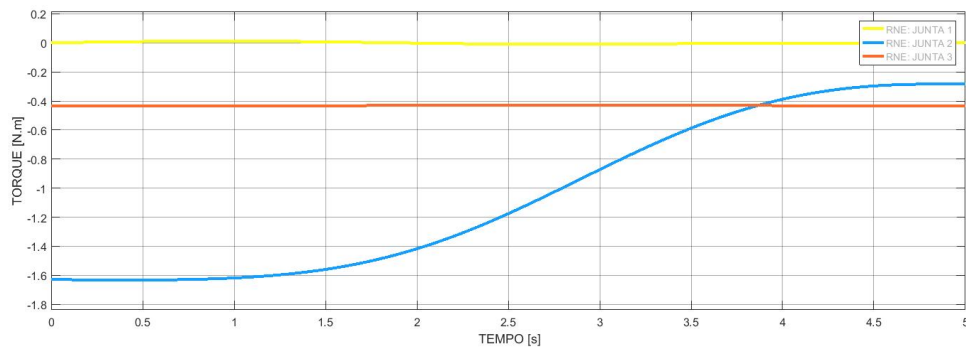
A formulação recursiva de Newton-Euler (função *RNE*) calcula a dinâmica inversa do manipulador, isto é, os binários de junção necessários para um determinado conjunto de coordenadas de articulação, velocidades e acelerações. A recursão direta propaga informação cinemática - como velocidades angulares, acelerações angulares, acelerações lineares da base de referência inercial para o efetuador final. A recursão de Newton-Euler nos retorna as forças e os momentos exercidos em cada ligação do efetuador final do manipulador para o quadro de referência de base. A dinâmica direta do manipulador, isto é, a posição angular das juntas depois de aplicada uma determinada força pelo atuador é feita pela função *Robot*. A Figura 6 mostra as variáveis envolvidas no cálculo da dinâmica para um sistema.



**Figura 6 – Funções do modelo dinâmico.**

Fonte: Autoria Própria.

O torque em função do tempo para uma trajetória de  $q_0 = [0 \ 0 \ 0]$  até  $q_f = [\pi/2 \ -\pi/2 \ \pi/2]$ , para cada uma das juntas pode ser observado na figura 7.



**Figura 7 – Torque em função do tempo.**

Fonte: Autoria Própria.

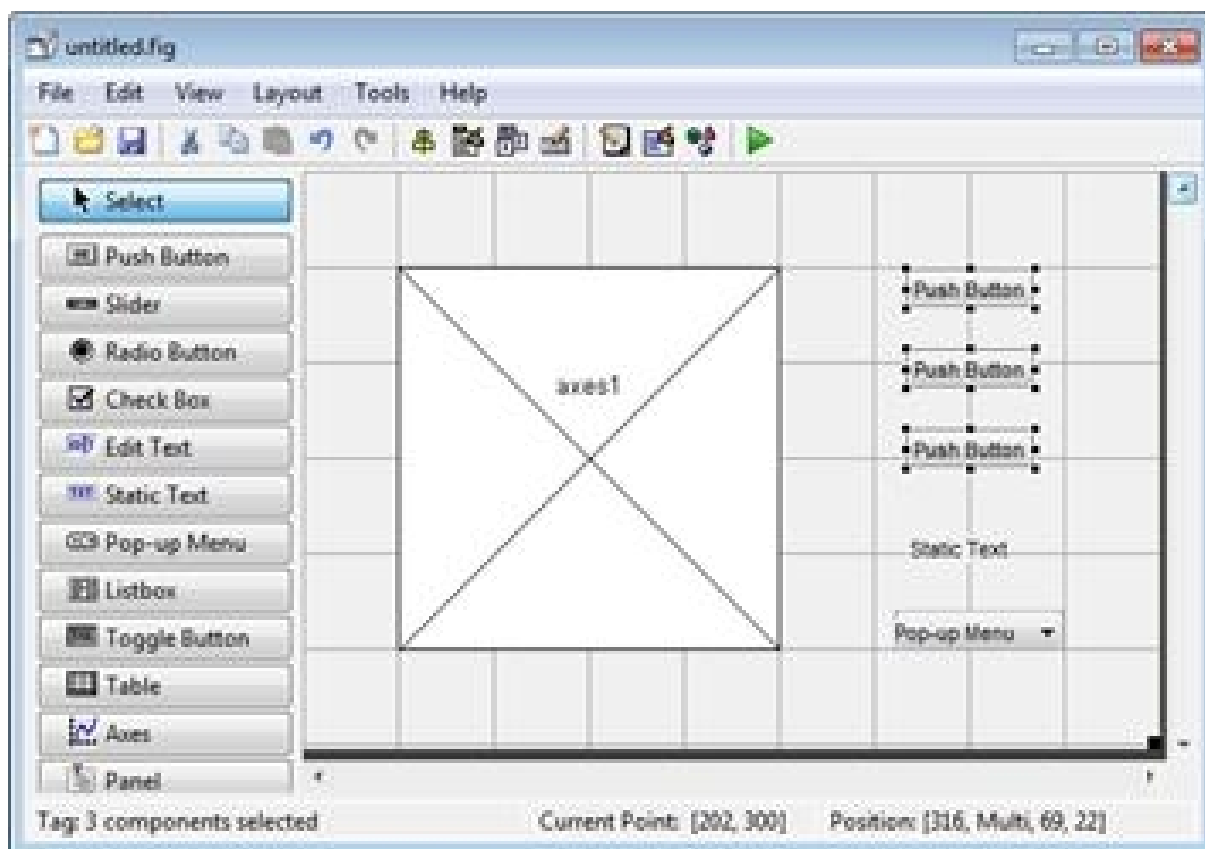
### 3.2 SIMULAÇÃO COMPUTACIONAL

Com a toolbox do *Matlab* será feita a simulação da trajetória percorrida, e da dinâmica para o manipulador no plano cartesiano, a partir de um ângulo zero em cada junta.

As GUIs (também conhecidas como interfaces gráficas de usuário ou UIs) fornecem controle de aplicativos de software, eliminando a necessidade de aprender a linguagem de programação ou digitar comandos para executar o aplicativo.

O aplicativo GUI automatiza uma tarefa ou cálculo. A GUI normalmente contém controles como menus, barras de ferramentas, botões e controles deslizantes.

GUIDE (ambiente de desenvolvimento GUI) fornece ferramentas para projetar interfaces de usuário para aplicativos personalizados. Usando o GUIDE Layout Editor, o usuário pode projetar graficamente sua UI. GUIDE então gera automaticamente o código *MATLAB* para a construção da UI, que você pode modificar para programar o comportamento do seu aplicativo.



**Figura 8 – GUIDE MATLAB.**

Fonte: mathworks.

Alguns dos elementos importantes para elaboração deste projeto serão listados abaixo, com uma pequena descrição de seu funcionamento.

- **Radio Button:** Botão de seleção, normalmente utilizado em conjunto com outros Radio Buttons. O evento se dá ao selecionar o botão.
- **Edit Text:** Caixa de texto editável que pode aceitar uma ou mais linhas de entrada e mostrar um texto inicial. O evento se dá ao pressionar a tecla Enter com o cursor na caixa de texto, dentre outras formas.
- **Static Text:** Caixa de texto não editável, normalmente não necessita de um callback. Exibe uma string estática.
- **Pop-Up Menu:** Menu que pode ser expandido para englobar diversas opções de forma compacta. O evento se dá ao selecionar uma das opções
- **Axes:** Elemento que permite exibir gráficos e imagens.
- **Panel:** Elemento que cria um painel com bordas e título, tornando a GUI mais organizada e fácil de compreender. Normalmente não necessita de um callback

Cada um dos elementos possui propriedades que devem ser ajustadas de acordo com a funcionalidade desejada. Duas propriedades devem ser destacadas, pois aparecem com frequência neste trabalho na seção de anexos são:

- **Tag:** É a propriedade do elemento com a qual será nomeado um callback e a partir da qual se define o elemento a ser manipulado pelo código dos callbacks.
- **Title:** Propriedade que define o título do elemento, geralmente utilizada em Panels.

### 3.2.1 Desenvolvimento da Guide

O desenvolvimento da *GUIDE* levou em conta a facilidade de uso pelo usuário final, com isso buscou-se algo simples, funcional e uma organização eficaz dos elementos de interface.

Os elementos da guide podem ser resumidos em:

- Entrada de dados para definição da trajetória a ser seguida.
- Simulação do sistema em malha fechada.
- Visualização dos gráficos que vão dar informações valiosas para o usuário final.

Para que os componentes acima fossem incorporados na GUI projetada, optou-se por criar um layout com três partes distintas: Definição da trajetória, Simulação e visualização de gráficos. A divisão em três partes permite organizar a explicação e uso *GUIDE* de maneira clara e objetiva evitando que as informações exibidas ao usuário fiquem congestionadas, devido à falta de espaço na tela ou mal uso. Os objetivos a serem alcançados no desenvolvimento da *GUIDE* foram definidos para garantir que a mesma operasse de maneira mais eficiente levando em conta as interações com o usuário que estão resumidas abaixo:

- Permitir que os dados a serem definidos pelo usuário sejam carregados a partir de dados digitados diretamente na *GUIDE*.
- Automatizar as tarefas que devem ser em sua maioria executadas pela *GUIDE*.
- Mostrar ao usuário, por meio de informações no *comand windows*, quando ocorrer um problema no cálculo da trajetória.
- Permitir que o usuário ajuste o tempo de simulação e a escala dos gráficos.
- Seleção simples de quais gráficos devem ser apresentados na tela.

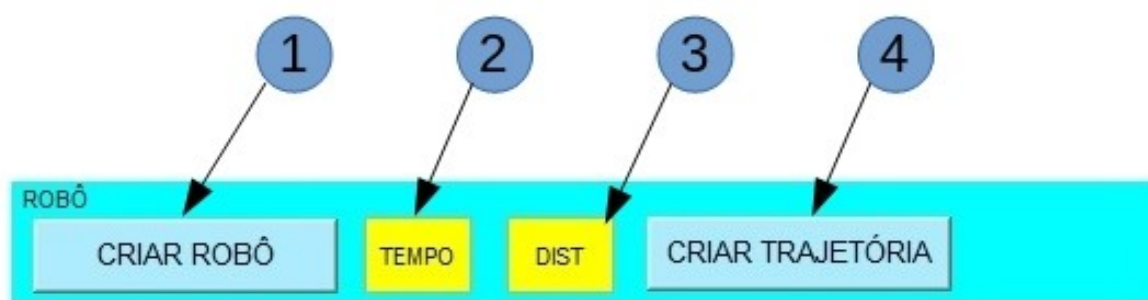
Para todo o desenvolvimento descrito neste capítulo utilizou-se o software *MATLAB R2016b*. A versão *2017b* do MATLAB apresentam funcionalidades adicionais, porem não iriam influenciar na execução do código. A release *2016b* foi a escolhida, pois era a que tinha compatibilidade com a ultima versão da toolbox.

Para um melhor entendimento da interface a explicação será feita apresentando um passo a passo da forma que o usuário deve proceder na utilização do software, sendo uma imagem da interface enumerada e logo a seguir a descrição por partes do software numa tabela. Vale ressaltar que a enumeração das partes na imagem estão de acordo com a tabela, sendo essa enumeração aplicada com a finalidade de obter uma maior harmonia no posicionamento dos números na imagem. O passo a passo do funcionamento também é enumerado, mas esse não está em conformidade com a imagem, exceto na figura 9.

De uma forma simples a interatividade entre homem e interface de geração de trajetória deve seguir os seguintes passos:

1. Usuário deve clicar no botão para criar um robô com 3 graus de liberdade
2. Usuário deve digitar um número inteiro referente ao tempo de simulação da trajetória
3. Usuário deve digitar um número real que vai informar o passo da trajetória
4. Usuário deve clicar no botão e informar os pontos da trajetória, sendo o ultimo passo com o botão direito do mouse

A seguir na figura 9 temos a interface responsável por auxiliar o usuário final na trajetória, e logo a seguir a 1 com a descrição da imagem.



**Figura 9 – Trajetória com guide.**

Fonte: Autoria própria.

**Tabela 1 – Nomenclatura das partes da guide trajetória**

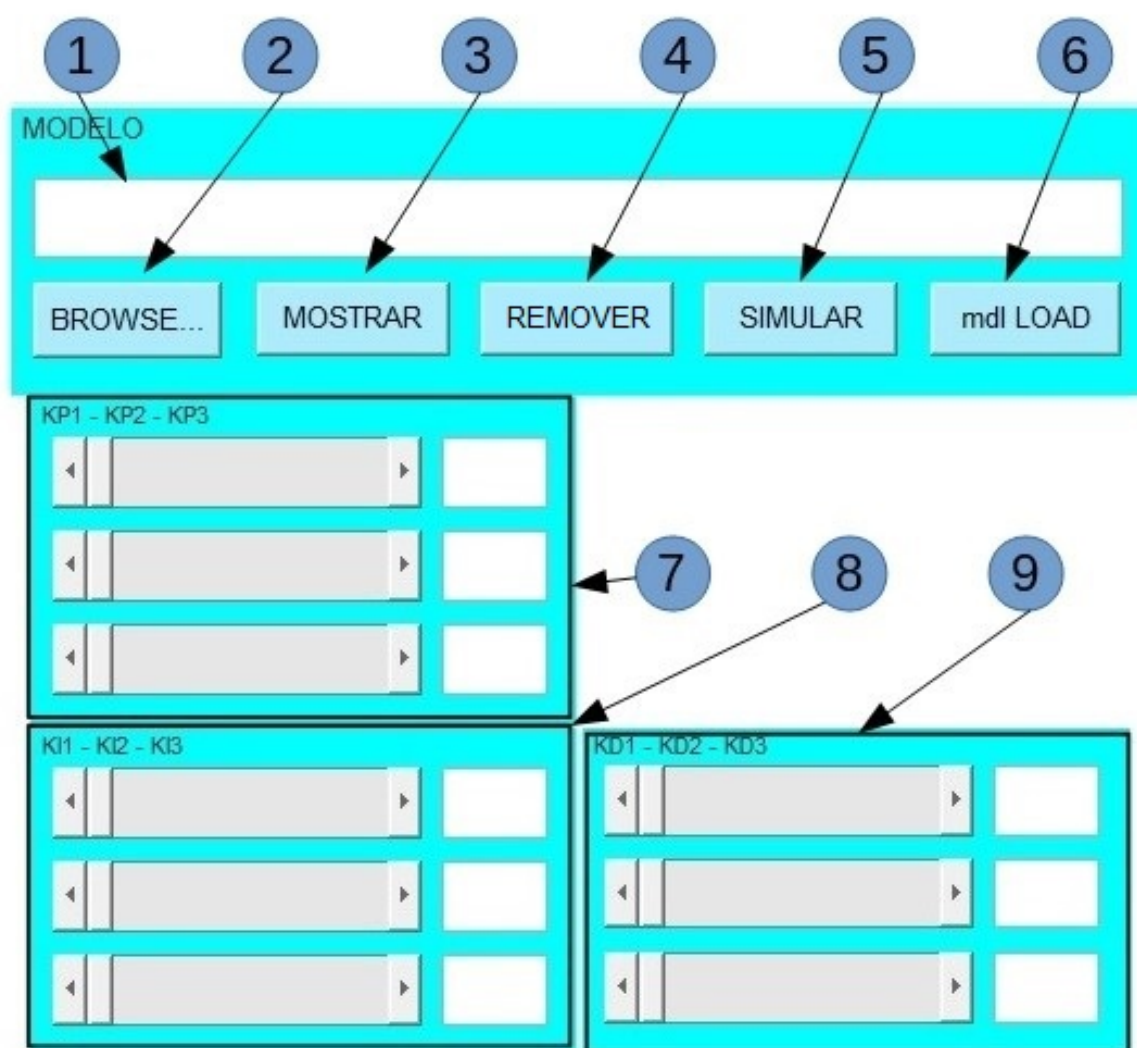
<b>Parte</b>	<b>Descrição</b>
<b>1</b>	Botão que cria dados do robô na memória.
<b>2</b>	Tempo de simulação.
<b>3</b>	Distancia de passo em metros da trajetória.
<b>4</b>	Botão que vai pedir os pontos da trajetória.

Já interatividade entre homem e interface de simulação deve seguir os seguintes passos:

1. Usuário deve clicar no botão *BROWSE...* para indicar o endereço do modelo a ser simulado, é indicado que o modelo esteja na mesma pasta do arquivo da *GUIDE*
2. Usuário deve clicar no botão *mdl LOAD* para carregar os dados referentes aos ganhos do controlador.
3. Usuário deve clicar no botão *SIMULAR* para simular o modelo
4. Caso queira ver o modelo o usuário deve clicar no botão *MOSTRAR*
5. Caso queira salvar e fechar o modelo o usuário deve clicar no botão *REMOVER*

A seguir na figura 10 temos a interface responsável por auxiliar o usuário final na simulação, e logo a seguir a 2 com a descrição da imagem.





**Figura 10 – Simulação com guide.**

Fonte: Autoria própria.

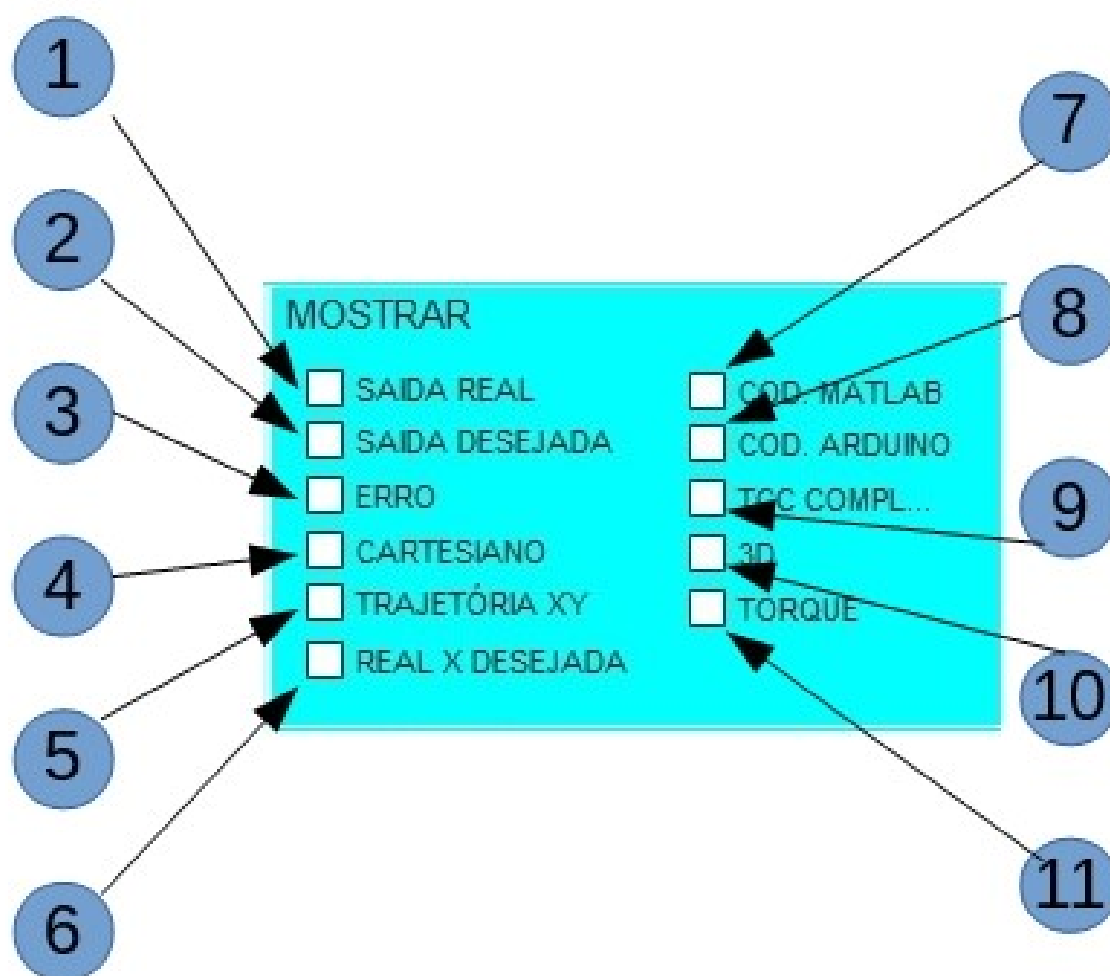
**Tabela 2 – Nomenclatura das partes da guide simulação**

Parte	Descrição
1	Nome do modelo a ser simulado
2	Botão para pesquisar endereço do modelo
3	Botão para mostrar o modelo
4	Botão para fechar o modelo
5	Botão para simular o modelo
6	Botão para carregar dados do modelo
7	Informações sobre ganhos $K_p$ de cada elo
8	Informações sobre ganhos $K_i$ de cada elo
9	Informações sobre ganhos $K_d$ de cada elo

Por fim a interatividade entre homem e interface de exibição de gráficos deve seguir os seguintes passos:

1. Usuário deve marcar a checkbox referente a informação ou gráfico que deseja visualizar
2. Para fechar o gráfico o usuário deve desmarcar a caixa referente ao gráfico que está em exibição. Esta opção é válida apenas para o *SCOPE* do *simulink*

A seguir na figura 11 temos a interface responsável por auxiliar o usuário final na simulação, e logo a seguir a tabela 3 com a descrição da imagem.



**Figura 11 – Gráficos com guide.**

Fonte: Autoria própria.

**Tabela 3 – Nomenclatura das partes da guide mostrar**

<b>Parte</b>	<b>Descrição</b>
<b>1</b>	Checkbox mostrar saída real
<b>2</b>	Checkbox mostrar saída desejada
<b>3</b>	Checkbox mostrar erro de trajetória
<b>4</b>	Checkbox mostrar trajetória no espaço cartesiano
<b>5</b>	Checkbox mostrar trajetória XY
<b>6</b>	Checkbox mostrar Trajetória real x desejada
<b>7</b>	Checkbox mostrar pdf de código MATLAB
<b>8</b>	Checkbox mostrar pdf de código <i>Arduino</i>
<b>9</b>	Checkbox mostrar pdf de TCC completo
<b>10</b>	Checkbox mostrar trajetória 3D
<b>11</b>	Checkbox mostrar torque nas juntas

### 3.3 DESENVOLVIMENTO DO PROTÓTIPO

Ao longo dos capítulos 1 e 2 foi construída uma base de conceitos referentes a diversos aspectos do projeto de um robô. Foram apresentados os processos de análise e seleção dos diversos sistemas que compõem o robô.

Adentrando um pouco mais na parte experimental deste trabalho, esse capítulo trará uma discussão em torno da construção das estruturas previamente apresentadas. Foi utilizado o software *Solidworks* 2016 e *Eagle* nos desenhos que serão apresentados nesse capítulo. Em anexo será incluída uma documentação do projeto, apresentando separadamente e detalhadamente os desenhos de componentes a serem fabricados e instalados. A seguir serão apresentados aspectos relativos instalação atuadores, assim como as dimensão das peças que compõem todo o mecanismo do robô. O sistema no quadro elétrico e suas ligações serão apresentados, sendo esses de extrema importância para uma maior organização da ligação dos componentes que atuam no controle e posição. E por fim será apresentada uma visão geral do sistema completo montado.

#### 3.3.1 Geração de Alternativas

Torna-se fundamental avaliar diferentes produtos para as diferentes partes que irão compor os subsistemas do projeto em questão, levando em conta as características dos mesmos e os requisitos do produto. Assim, foram analisadas as possibilidades para as quatro principais partes do braço manipulador: Prototipagem mecânica e eletrônica; motor elétrico; IDE e linguagem de programação.

### 3.3.1.1 Placa microcontroladora do robô

Ao se falar em projetos de eletrônica, pensa-se de imediato em placas de circuito impresso com inúmeros componentes e conexões complexas, em que se necessita de um vasto conhecimento teórico para poder entender o mínimo do que existe ali, podendo levar longos períodos para a materialização e elaboração de testes para um simples protótipo. Em vista esses desafios, alguns grupos de pesquisadores buscaram criar meios que permitissem que usuários, leigos no assunto, pudessem criar seus projetos de forma mais simples e rápida a um custo relativamente baixo. Um dos grandes pioneiros nesse quesito foi a empresa norte-americana Parallax. Ela desenvolveu uma plataforma na década de com um interpretador em linguagem Basic, portas de entrada e saída e uma entrada para alimentação. Posteriormente, outros grupos aderiram à ideia, com os modelos comparados no quadro seguinte possuem características distintas, porém, o *Arduino* leva uma grande vantagem devido a sua difusão no mercado brasileiro, com vários modelos nacionais, já que sua plataforma de hardware é aberta, sendo possível criar e vender placas semelhantes sem a necessidade de pagamentos pelo uso de patente. A primeira versão do braço robótico utilizará encoders magnéticos, sendo desnecessária a utilização de microcontroladores com alta frequência de clock. Com isso, a Plataforma *Arduino* Mega se torna suficiente para a aplicação.

No projeto o código será embarcado, evitando assim um atraso do sinal no processamento ocasionado pelo baixo poder de processamento do sistema quando integrado com o simulink.

**Tabela 4 – Comparação de preços de plataformas de desenvolvimento**

<b>Nome</b>	<b><i>Arduino</i></b>	<b>Beaglebone</b>	<b>Raspberry PI</b>
<b>Modelo</b>	Mega2560	Rev B	Model B+
<b>Preço</b>	R\$ 80,00	R\$ 400,00	R\$ 200,00
<b>Processador</b>	ATmega2560	ARM Cortex - A8	ARM Cortex – A6
<b>Freq. Clock (max.)MHz</b>	16	800	400
<b>RAM</b>	8 KB	512 MB	512 MB
<b>GPIO</b>	70	65	40

### 3.3.1.2 Acionamento das Juntas

Parte indispensável que compõe os mecanismos robóticos são os motores, podendo ser de acionamento elétrico, hidráulico ou pneumático, cada um deles tem sua particularidade, com vantagens para determinadas aplicações. Na imagem seguinte, comparam-se os acionamentos hidráulicos (H), pneumáticos (P), conjuntos de motor elétrico-fuso (M) e motor de passo (S), de acordo com a força e velocidade de atuação. Neste projeto, por ter fins didáticos, não se necessita de grande esforço e alta velocidade para movimentar cargas, sendo, portanto, o mais adequado os

motores de passo, de acordo com a Figura x. Porém, dentre os motores elétricos, existem outros que podem se adequar ainda mais ao projeto. O que se necessita é de um motor que receba como sinal de entrada um ângulo de referência e que o eixo do motor se mova para a referência recebida, ou seja, um servo-motor cumpre com o requisito, mas devido a sua pouquíssima precisão ele não será utilizado. Um motor que cumpre todos os requisitos com eficiência é um motor DC com um encoder magnético. . Tal dispositivo nada mais é que um motor de corrente contínua com um gerador de pulsos. No mercado existem modelos muito complexos e caros, sendo necessário um grande investimento. A desvantagem desse acionamento é preço e complexidade de controle. Sendo necessário um grande investimento e um usuário com pleno conhecimento no assunto.

**Tabela 5 – Informações motor DC**

<b>GEAR MOTOR: GM37-545S-50-21D</b>	
TENSÃO	DC 12V
VELOCIDADE SEM CARGA	110 RPM 0.3A
MÁXIMA EFICIÊNCIA	55 N.M, 93 RPM
MÁXIMA POTENCIA	1.55 N.M, 60 RPM
STALL CORRENTE	7A
RESOLUÇÃO	550 PPR
REDUÇÃO	1:50

### 3.3.1.3 Interface de Programação

O intermédio entre o mecanismo robótico e o usuário é feito através da interface de programação, que é a área onde o usuário comandará os motores através de comandos e funções pré-definidos. Essa interface foi construída com a IDE *Arduino*, a qual tem como linguagem de programação C++. Um dos maiores motivos que levou à escolha desse ambiente integrado de desenvolvimento foi a experiência adquirida durante o curso com o uso desta ferramenta, que apresenta grandes vantagens, como:

- Linguagem de alto nível orientada a objeto.
- Integração com a API do Windows, o que permite a criação de programas que exploram ao máximo os recursos do sistema operacional.
- Compilador que gera arquivos executáveis nativos, ou seja, em código de máquina, tornando-o extremamente rápido e com proteção do código fonte.
- A IDE *Arduino* pode ser ampliada e personalizada com a adição de componentes e ferramentas criadas utilizando-se a linguagem C++.

### 3.3.1.4 Integração dos Recursos Tecnológicos

A implementação computacional do projeto, com ênfase na criação da interface de programação e a geração de trajetória do órgão terminal é usada para enviar comandos ao *Arduino* de forma imediata, podendo ou não movimentar o robô, bem como mostrar informações na forma de gráficos em tempo real. O interpretador será construído na IDE do *Arduino* e nele gravado. A geração de trajetória é uma função criada na *guide* do *MatLab*.

### 3.3.2 Parte Elétrica

Uma vez que o design mecânico esteja disponível, e sua força e mobilidade, é necessário projetar um estágio que permita que os atuadores se comuniquem com um computador para seu controle e outro estágio para fornecer a força necessária para dar movimento ao sistema. Ambos os estágios devem funcionar em coordenação para o posicionamento corretamente cada junta, de acordo com uma determinada configuração especial desejada.

A primeira etapa será responsável por fornecer inteligência ao sistema para ser capaz de resolver a configuração a ser adotada pelas juntas. Nessa etapa sistemas de aquisição de dados vão influenciar na velocidade de processamento. O segundo estágio é projetar a eletrônica de potência, que será responsável por fornecer a energia necessária aos atuadores do sistema robótico para posicionar cada uma das juntas. Esta etapa deve ser projetada para poder fornecer energia, mesmo em casos críticos, onde os valores exigidos são muito grande; Por exemplo, ao iniciar o movimento de uma junta e é necessário superar a Inércia inerente a cada parte do sistema. A Figura xx mostra as etapas de monitoramento e Controle do sistema robótico.

#### 3.3.2.1 Eletrônica de controle

Para o controle de uma junta do sistema robotizado as variáveis são as seguintes:

- Fonte de alimentação 12VDC para motores.
- Fonte de alimentação 5VDC para circuitos integrados e encoders de posição.
- 2 sinais de entrada digitais para detecção de posição.
- 2 sinais de saída digitais para a posição PWM e controle de rotação.
- 1 sinal de saída digital para intensidade do PWM.

O sistema completo possui 3 motores, o que torna necessário ter 6 sinais de entrada digital, 6 sinais de saída digital e 3 sinais de saída digital para PWM. O sistema pode ser estendido para 4 motores, apenas acrescentando mais uma fiação para um quarto motor

Para manipular esses sinais, um *Arduino Mega* foi utilizado, onde todos os sinais de entrada e saída necessários estão conectados.



**Figura 12 – Arduino Mega.**

Fonte: Autoria Própria.

O procedimento de controle consiste em ler os sinais dos codificadores e, por meio de Um algoritmo de controle, determine a posição e a velocidade das articulações bem como tomar as decisões de movimento e/ou mudança de rotação. O programa de controle gera sinais necessários para manipular o sistema e posicionar as articulações para que o sistema possa alcançar uma posição específica. Este algoritmo de controle está programado para interagir com o sistema robótico em tempo real e exibir as informações através do monitor. A programação está desenvolvida de forma embarcada e permite incluir qualquer esquema de controle, seja o controle convencional de PID e/ou inteligentes (lógica difusa, redes neurais, Linear, etc.). Os sinais de controle gerados passam do microcontrolador para o estágio de potência. Esses sinais são modificados ou amplificados para ser enviado mais tarde para os motores e produzir o movimento necessário para alcançar configuração desejada.

O esquema de controle implementado foi o controle PID. O software *Simulink* é capaz de simular a programação para qualquer esquema de controle, mas em virtude de uma baixa frequência de aquisição de dados o controle de sistemas rápidos como motores DC é inviável.

O processo de controle segue o esquema mostrado na Figura 13.



**Figura 13 – Processo de Controle.**

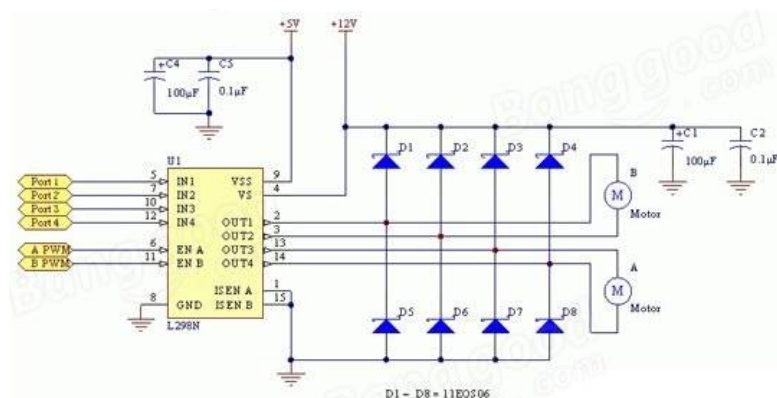
Fonte: Autoria Própria.

1. O sinal de posição vem do codificador óptico presente em cada motor.
2. O sinal é capturado pelo *Arduino Mega*.
3. O sinal está dentro do microcontrolador e é passado para o computador para gerar gráficos com a informação de posição.
4. O microcontrolador analisa o sinal recebido e produz um novo sinal de saída de controle.
5. O sinal de controle é passado para o estágio de potência para ser amplificado e enviado para os atuadores do sistema.

### 3.3.2.2 Eletrônica de Potência

É necessário que a fase de controle seja capaz de manipular e controlar os sinais do sistema robótico para assegurar a convergência do robô aos pontos desejados. No entanto, é muito importante ter um estágio capaz de fornecer energia suficiente para todo o sistema, enquanto controla o mesmo. Sem esse sistema o motor não vai conseguir atingir a posição desejada. Os sinais de controle do motor (PWMs) são introduzidos no estágio de potência, o que proporcionará a energia necessária aos atuadores para girar e parar.





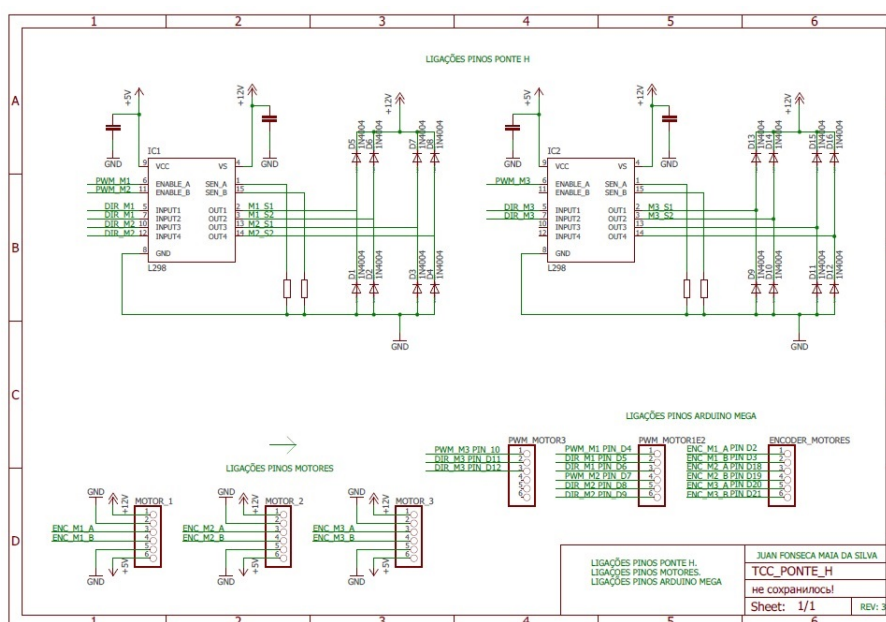
**Figura 14 – Chip L298N.**

Fonte: Autoria Própria.

O estágio de potência projetado foi baseado nos requisitos atuais do chip L298N, que contém 2 pontes H por chip. O esquema de ligação do chip pode ser visto na figura 14. A corrente máxima que suporta cada ponte no modo intermitente é 3A, em modo contínuo (80% ON, 20% OFF) suporta 2.5A e na operação constante até 2A.

Os níveis de controle e potência funcionam juntos para monitorar e mover as juntas do sistema. Para conseguir movimentos e velocidades de juntas precisas, um bom controlador deve ser programado para responder a distúrbios externos e colocar o sistema na posição desejada no menor tempo possível e com o menor número de oscilações.

A seguir a figura 15 ilustra o esquema de ligação entre o chip L298 e as portas do Arduino Mega.



**Figura 15 – Ligações de L298 e Arduino.**

Fonte: Autoria Própria.

### 3.3.2.3 Resumo

A quantidade de sinais necessários por atuador para controle foi detalhada. Os sinais digitais necessários podem ser manipulados usando o Arduino *Mega*. O software será embarcado no Arduino *Mega*, no qual qualquer tipo de controlador, convencional ou inteligente, pode ser implementado. Na fase de potência, um circuito capaz de controlar dois motores com um único chip, o L298N, da marca *National Semiconductors®*, foi projetado. O circuito projetado é capaz de fornecer até 2A de corrente de modo contínuo. Se os requisitos atuais forem maiores do que essa quantidade, o chip pode ser conectado em cascata para controlar um único motor, integrado, com o benefício do dobro da corrente fornecida. Ambos os estágios devem funcionar juntos em tempo real para controle e monitoramento do comportamento do sistema robotizado.

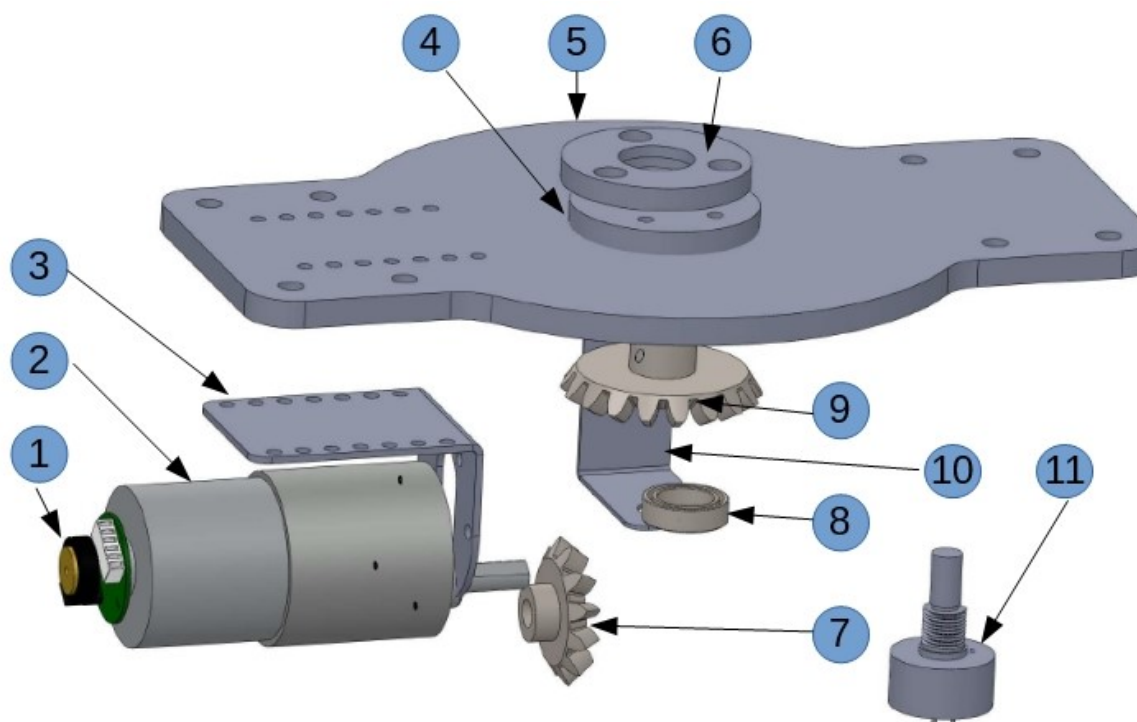
### 3.3.3 Parte Mecânica

O bom funcionamento do sistema depende diretamente de uma correta fixação dos componentes a base do robô. Uma movimentação indevida de componentes do mecanismo pode, além de atrapalhar o funcionamento, danificar os componentes eletrônicos e mecânicos contidos no robô. Para descrever a fixação será necessário fazer uma divisão em três grupos de esforços distintos sofridos pelos componentes do sistema. O primeiro grupo abrange as engrenagens. Este componente sofre apenas os esforços causados pelo robô em torno do seu eixo. Por este motivo, a fixação no rotor deve ser mais robusta e com foco no posicionamento. A fixação da engrenagem na base se dará pela pressão causada pelo ajuste por interferência entre a parte externa do rotor e a parte interna do pinhão. O segundo grupo abrange as cantoneira de fixação. Estes componentes sofrem os esforços causados pela inercia do robô quando o mesmo sai do repouso e para segurar o peso principalmente do terceiro motor. Por esse motivo a cantoneira usada na fixação do primeiro motor deve ter uma grande largura comparada com as quatro cantoneiras que fazem a fixação do suporte para o segundo elo. O terceiro grupo abrange os acoplamentos nas juntas. Estes componentes sofrem os esforços da fixação de motores e elos, devido a grande pressão exercida pelos parafusos de fixação esse elemento deve ter uma grande espessura comparando com as demais peças do robô.

Antes de prosseguir com o detalhamento da montagem final do protótipo, é necessário que se façam algumas considerações sobre as solicitações mecânicas presentes no protótipo. Em todo projeto mecânico a preocupação com a resistência da estrutura à solicitação mecânica a qual estará submetida deve ser tratada com bastante cuidado. Na estrutura escolhida para a montagem do projeto, os esforços relativos ao peso dos componentes se concentram na base de apoio do sistema.

Na estrutura escolhida para a montagem do robô, os esforços relativos ao peso dos

componentes se concentram na base. O arranjo diferencial de engrenagens é composto por um pinhão e uma coroa, que junto com o motor 1 são responsáveis pela movimentação do robô em torno de sua base. A base tem a função de ser um ponto de apoio para estrutura, para fins de estabilidade do robô. A seguir na figura 23 uma vista expandida dos componentes do elo 1 e na tabela 6 uma descrição dos componentes.



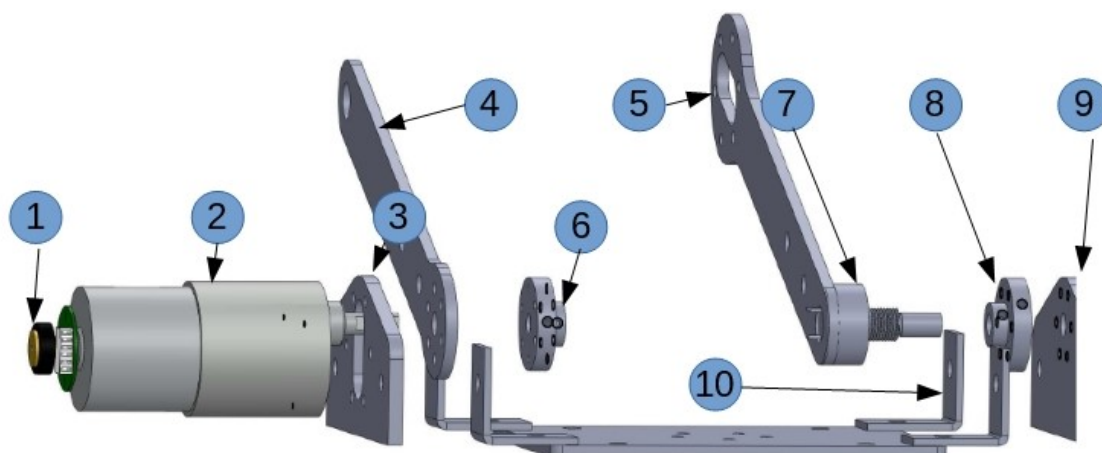
**Figura 16 – Elo 1.**  
Fonte: Autoria Própria.

**Tabela 6 – Nomenclatura das partes do elo 1**

Peça	Nome
<b>1</b>	Encoder 1
<b>2</b>	Motor 1
<b>3</b>	Base motor
<b>4</b>	Base de revolução
<b>5</b>	Base do robô
<b>6</b>	Tampa de revolução
<b>7</b>	Pinhão
<b>8</b>	Base do potenciômetro
<b>9</b>	Coroa
<b>10</b>	Cantoneira do potenciômetro
<b>11</b>	potenciômetro

Na montagem do robô os esforços relativos ao peso do elo 2 e elo 3 se encontram principalmente nas quatro cantoneiras de apoio. O motor 2 e as hastes acopladas ao rotor são respon-

sáveis pela movimentação do elo 2. A seguir na figura ?? uma vista expandida dos componentes do elo 1 e na tabela 7 uma descrição dos componentes.

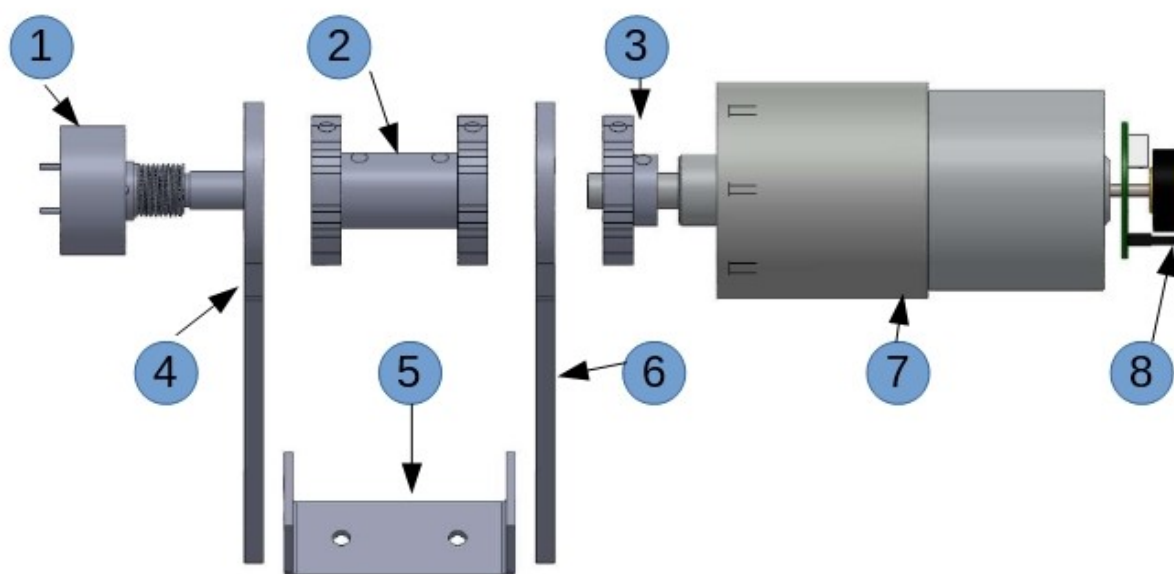


**Figura 17 – Elo 2.**  
Fonte: Autoria Própria.

**Tabela 7 – Nomenclatura das partes do elo 2**

Peça	Nome
<b>1</b>	Encoder 2
<b>2</b>	Motor 2
<b>3</b>	Apoio lado esquerdo
<b>4</b>	Lado esquerdo do elo
<b>5</b>	Lado direito do elo
<b>6</b>	Acoplamento motor
<b>7</b>	Potenciômetro
<b>8</b>	Acoplamento do Potenciômetro
<b>9</b>	Apoio lado direito
<b>10</b>	Cantoneira

Na montagem do robô os esforços relativos ao peso do elo 3 se encontram principalmente no conjunto de acoplamentos. O motor 3 e as hastes acopladas ao rotor são responsáveis pela movimentação do elo 3. A seguir na figura 24 uma vista expandida dos componentes do elo 1 e na tabela 8 uma descrição dos componentes.

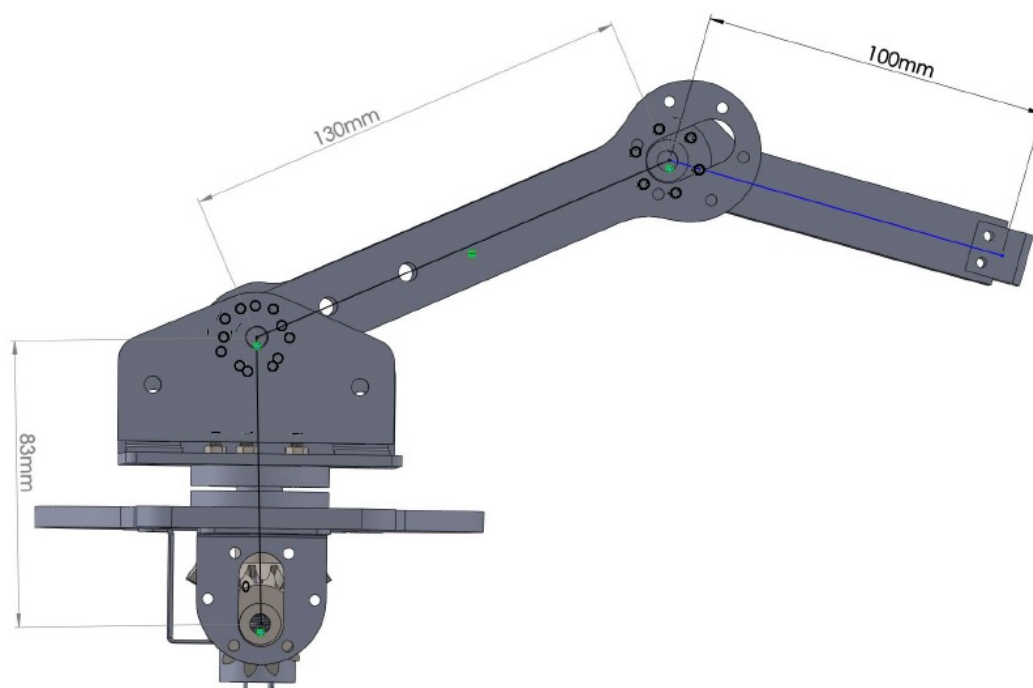


**Figura 18 – Elo 3.**  
Fonte: Autoria Própria.

**Tabela 8 – Nomenclatura das partes do elo 3**

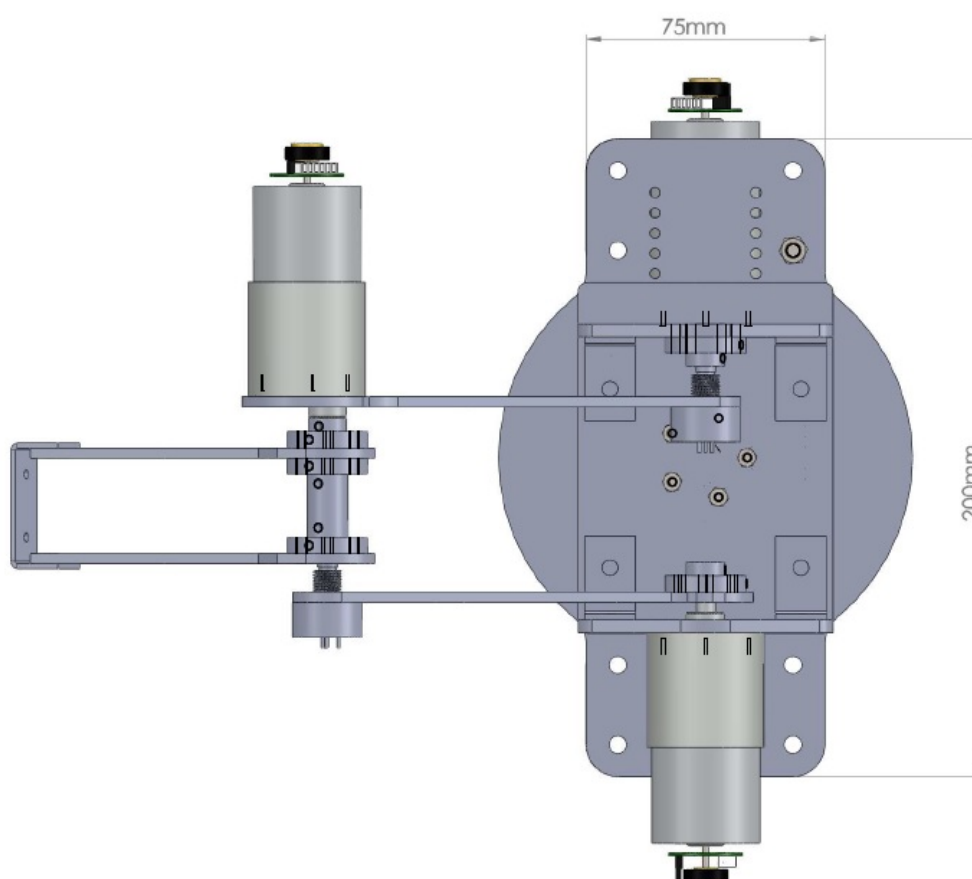
Peça	Nome
1	Potenciômetro
2	Acoplamento duplo
3	Acoplamento motor
4	Lado esquerdo elo
5	Base para garra
6	Lado direito elo
7	Motor 3
8	Encoder 3

Uma vez feitas as considerações necessárias em relação à estrutura do robô dividida em três partes, pode-se apresentar a montagem final do protótipo, modelada no *Solidworks*.



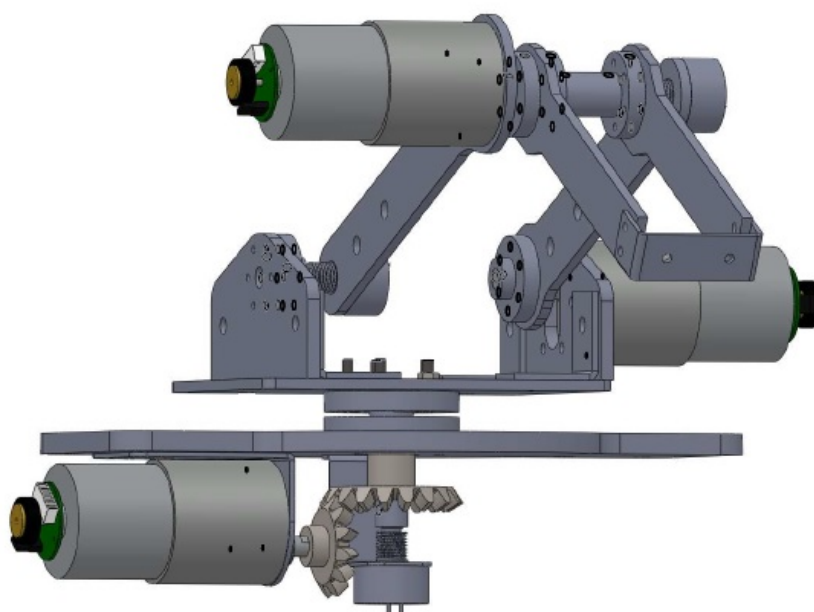
**Figura 19 – Robô completo vista lateral**

Fonte: Autoria Própria.



**Figura 20 – Robô completo vista superior.**

Fonte: Autoria Própria.



**Figura 21 – Robô completo vista isométrica.**

Fonte: Autoria Própria.

#### 3.3.4 Resumo

Neste capítulo foram apresentados os aspectos relativos à construção de um protótipo para o robô. É importante ressaltar que todas as modelagens apresentadas foram produzidas com o intuito de comporem um protótipo para testes, e de fabricação barata. Para a fabricação em série seria necessária à análise da durabilidade, preço de revenda, otimização de medidas, e outros aspectos que influenciam na fabricação de um produto final.

A exibição das fixações das partes do robô, leva em consideração a otimização na montagem, para evitar falhas no funcionamento. A apresentação dos esquemas de ligações elétricas dos atuadores ao sistema de controle *Arduino*, apresentando-se adaptações feitas no sistema para que não ocorram defeitos ou mau funcionamento dos mesmos. É importante observar que as plantas de ligação elétrica apresentadas neste capítulo foram idealizadas para o protótipo, de forma a aumentar a vida útil da parte física que é composta por periféricos usados e projetado para hobbistas. Para um cenário de fabricação em série é de extrema importância a fabricação de circuitos definitivos para cada unidade, evitando assim o uso de muitas conexões. Apesar de certas considerações adotadas para possibilitar a implementação da montagem proposta, é possível utilizar em robôs reais, porem o sistema fica mais suscetível a erros de funcionamento. O uso do potenciômetro no sistema é uma forma barata na fixação das hastes e serve como um sistema secundário na medição da posição, essa medida foi adotada pois durante as pesquisas para comprar o material não foram encontradas partes sobressalentes de encoders semelhantes aos usados nos motores.

## 4 RESULTADOS

### 4.1 RESULTADOS DA CONSTRUÇÃO DO PROTÓTIPO

Ao longo dos capítulos anteriores foi construída uma base de conceitos referentes a diversos aspectos do projeto de um robô. Foram apresentados os processos de análise e seleção dos diversos sistemas que compõem o robô.

Adentrando um pouco mais na parte experimental deste trabalho, esse capítulo trará uma discussão em torno da construção das estruturas previamente apresentadas. Foi utilizado o software *Solidworks 2016* e *Eagle* nos desenhos que serão apresentados nesse capítulo. Em anexo será incluída uma documentação do projeto, apresentando separadamente e detalhadamente os desenhos de componentes a serem fabricados e instalados. A seguir serão apresentados aspectos relativos instalação atuadores, assim como as dimensão das peças que compõem todo o mecanismo do robô. O sistema no quadro elétrico e suas ligações serão apresentados, sendo esses de extrema importância para uma maior organização da ligação dos componentes que atuam no controle e posição. E por fim será apresentada uma visão geral do sistema completo montado.

#### 4.1.1 Parte Mecânica

Após os desenhos gerados pela ferramenta *SolidWorks* no formato .STL que é uma versão monocromática que aproxima o modelo para minúsculas facetas ou triângulos. Vale ressaltar que menor esses triângulos maior será a qualidade da estrutura do objeto, enquanto que por sua vez, quanto maior for o tamanho de arquivo STL, maior vai ser o tempo impressão.

O processo de impressão em 3D funciona de modo que o plástico sai do cartucho e entra pela máquina até chegar a uma extremidade onde é aquecido a 130 graus celcius.

Apesar de ser o modo mais econômico e de fácil acesso, a impressão em 3D não mostrou ter uma alta qualidade.

A seguir algumas considerações sobre o resultado da impressão das peças quando a resistência, acabamento superficial, custo e velocidade:

- Resistência: as peças impressas em 3D mostraram que não são resistentes como as peças produzidas de forma profissional, por exemplo usinando alumínio. A técnica camada-a-camada que por um lado é uma vantagem também foi a maior fraqueza. A moldagem por usinagem, a peça é bem resistente, já que o material possui uma estrutura relativamente consistente e homogênea. Na impressão 3D, as camadas, mas elas não “grudam” bem. Quando exposto a esforços de compressão e tração a peça parece forte, mas quando exposto a esforços de cisalhamento, flexão e torção as peças se desmontaram facilmente.



- Acabamento da superfície: O resultado esperado da impressão em plástico era de algo brilhante e liso. No entanto o acabamento fosco, cheio de linhas irregulares por todas as camadas e algumas descontinuidades foram algo presentes na maioria das peças. Uma forma de resolver esse problema era pós-processar as peças, mas isso iria envolver trabalho e produtos químicos como acetona, e removedor de detalhes.
- Custos: o custo varia de acordo com o material usado, então coisas grandes são caras, e coisas pequenas são baratas. É isso. Não tem nada a ver com complexidade, e nada a ver com o número de peças. Também não há economia de escala. Assim, a produção de peças de reposição era um desperdício de tempo.
- Velocidade: Para processos de produção, a impressão leva horas, até dias. Uma solução para isso era admitir mais grossas, mas com isso iria aumentar a deterioração da qualidade do acabamento da superfície. A limitação das propriedades químicas de materiais envolvidos também foi um problema. Há uma taxa máxima para aplicá-los no objeto.

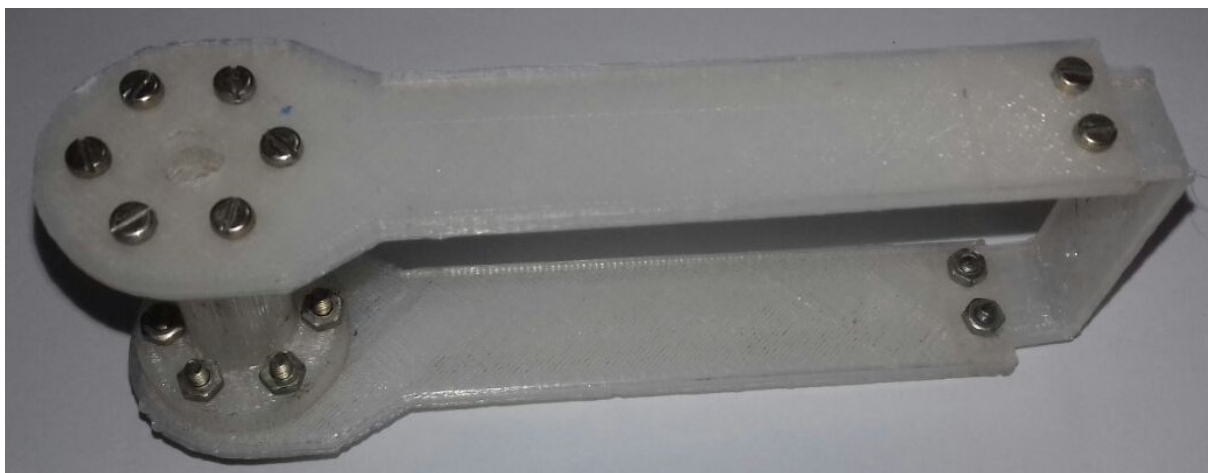
A seguir as imagens da peças que foram impressas em 3D.



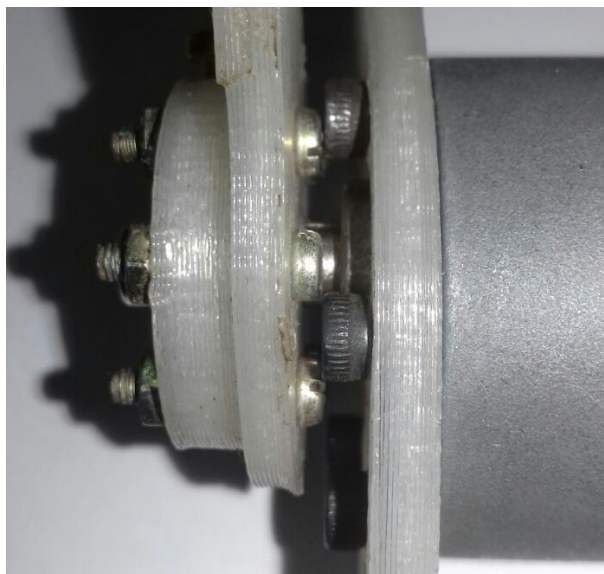
**Figura 22 – Impressão em 3D do apoio do elo 2.**  
Fonte: Autoria Própria.



**Figura 23 – Impressão em 3D do elo 1.**  
Fonte: Autoria Própria.



**Figura 24 – Impressão em 3D do elo 3.**  
Fonte: Autoria Própria.



**Figura 25 – Detalhe de espaço no acoplamento de elos.**

Fonte: Autoria Própria.



**Figura 26 – Impressão em 3D dos elos 2 e 3.**

Fonte: Autoria Própria.

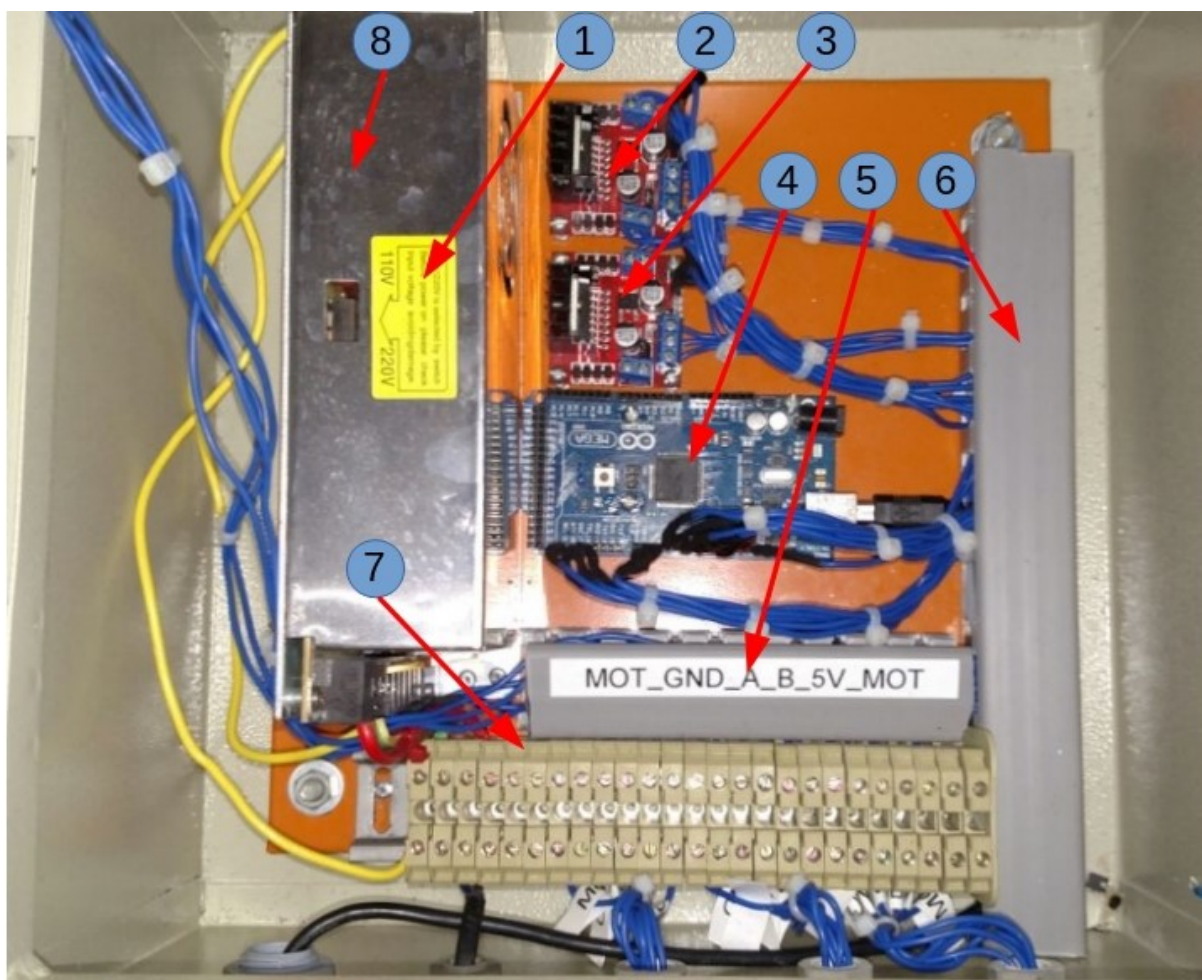


**Figura 27 – Impressão em 3D do pinhão do motor.**  
Fonte: Autoria Própria.

#### 4.1.2 Parte Elétrica

Para acomodação do sistema eletrônico foi utilizado um quadro elétrico, sendo esse um recurso extremamente importante, pois tem a função de proteger os dispositivos que vão receber os sinais dos atuadores e computador, bem como proteger e distribuir sinais de comando em vários circuitos elétricos individuais ou comuns (vide anexo) para alimentação dos atuadores do robô. A seguir na figura 9 temos a enumeração e logo após a descrição da ligação.





**Figura 28 – Ligação eletrônica no quadro elétrico.**

Fonte: Autoria Própria.

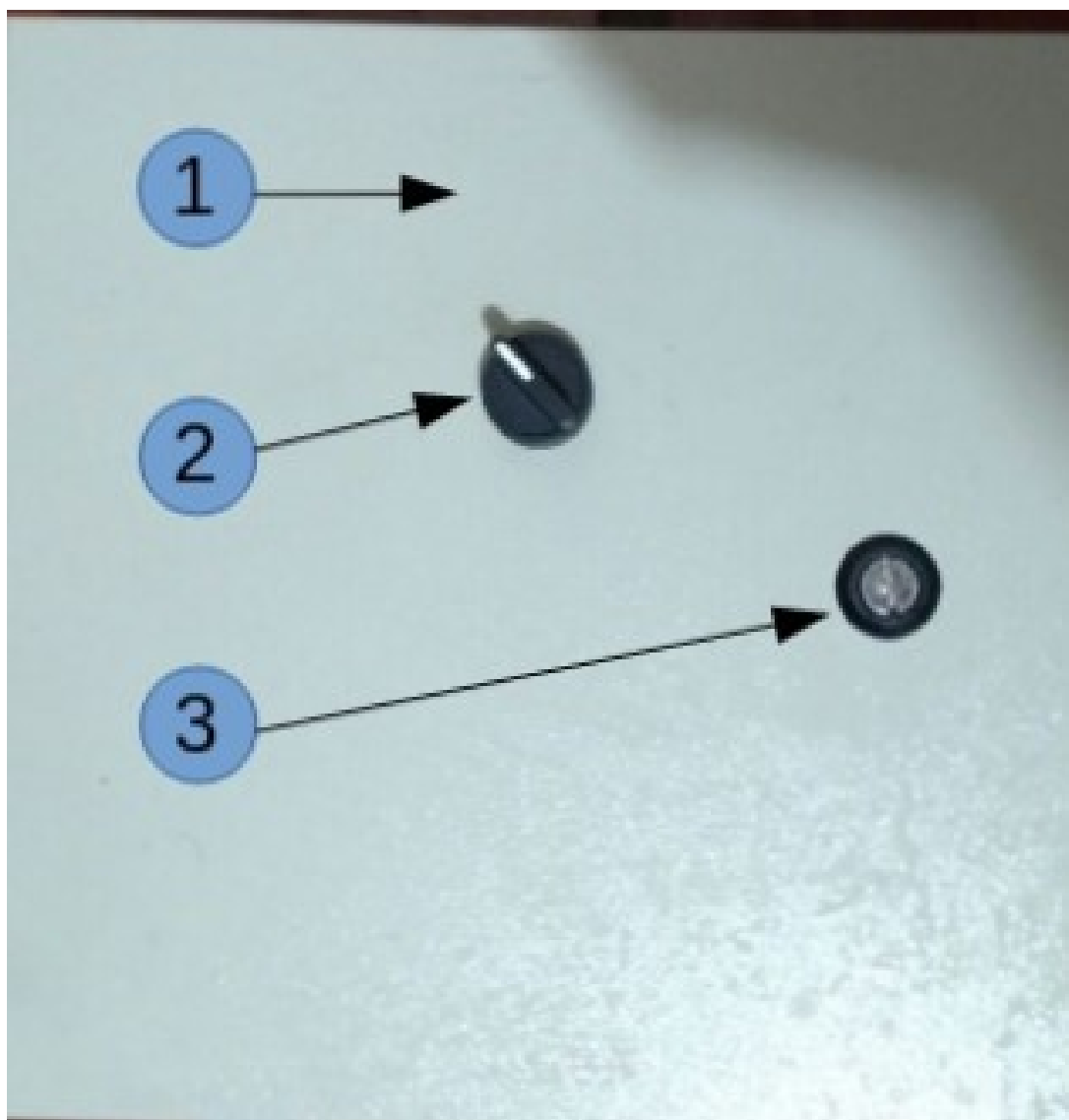
**Tabela 9 – Descrição quadro elétrico**

Numero	Nome
1	Chave seleção tensão entrada
2	Ponte H com chip L298N
3	Ponte H com chip L298N
4	Arduino Mega
5	Identificação da posição dos fios
6	Canaleta de PVC
7	Born Saque
8	Fonte 12v 20A

Os circuitos elétricos são divididos para uma melhor distribuição das cargas elétricas e garantia da durabilidade de cabos, microcontrolador, fontes e isolamento, devendo todos os componentes serem interligados, compatíveis e seletivos.

Como um sistema de segurança manual foi instalada uma chave tipo de duas posições normalmente aberta. A finalidade dessa chave é dar a possibilidade de fazer um corte na energia

enviada para o sistema de controle(Arduino) e para o chip L298N. A seguir na figura 29 uma foto da chave que é posicionada na frente quadro elétrico e a seguir uma breve descrição.



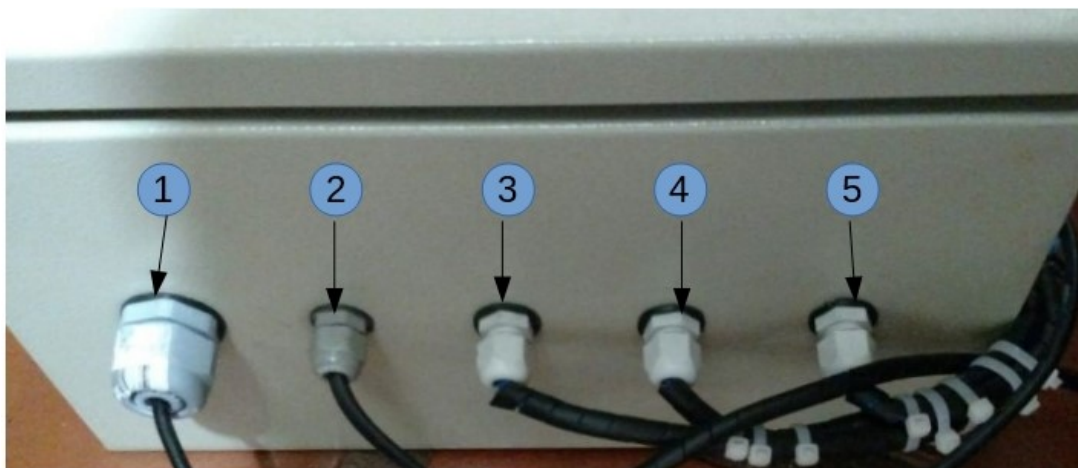
**Figura 29 – Parte frontal quadro elétrico.**

Fonte: Autoria Própria.

**Tabela 10 – Descrição parte frontal do quadro elétrico**

Número	Nome
1	Quadro elétrico
2	Chave liga-desliga
3	Fechadura da porta

Dando continuidade a descrição da parte externa do quadro elétrico temos na figura 30 cinco saídas com prensa, sendo 4 de 1"1/4"e outra de 1", na tabela 11 temos a descrição da montagem.



**Figura 30 – Saídas de cabos do quadro elétrico**

Fonte: Autoria Própria.

**Tabela 11 – Descrição saídas de cabos do quadro elétrico**

Número	Nome
1	Entrada 110V/220V
2	USB
3	Cabo motor 1
4	Cabo motor 2
5	Cabo motor 3

#### 4.1.2.1 Resumo

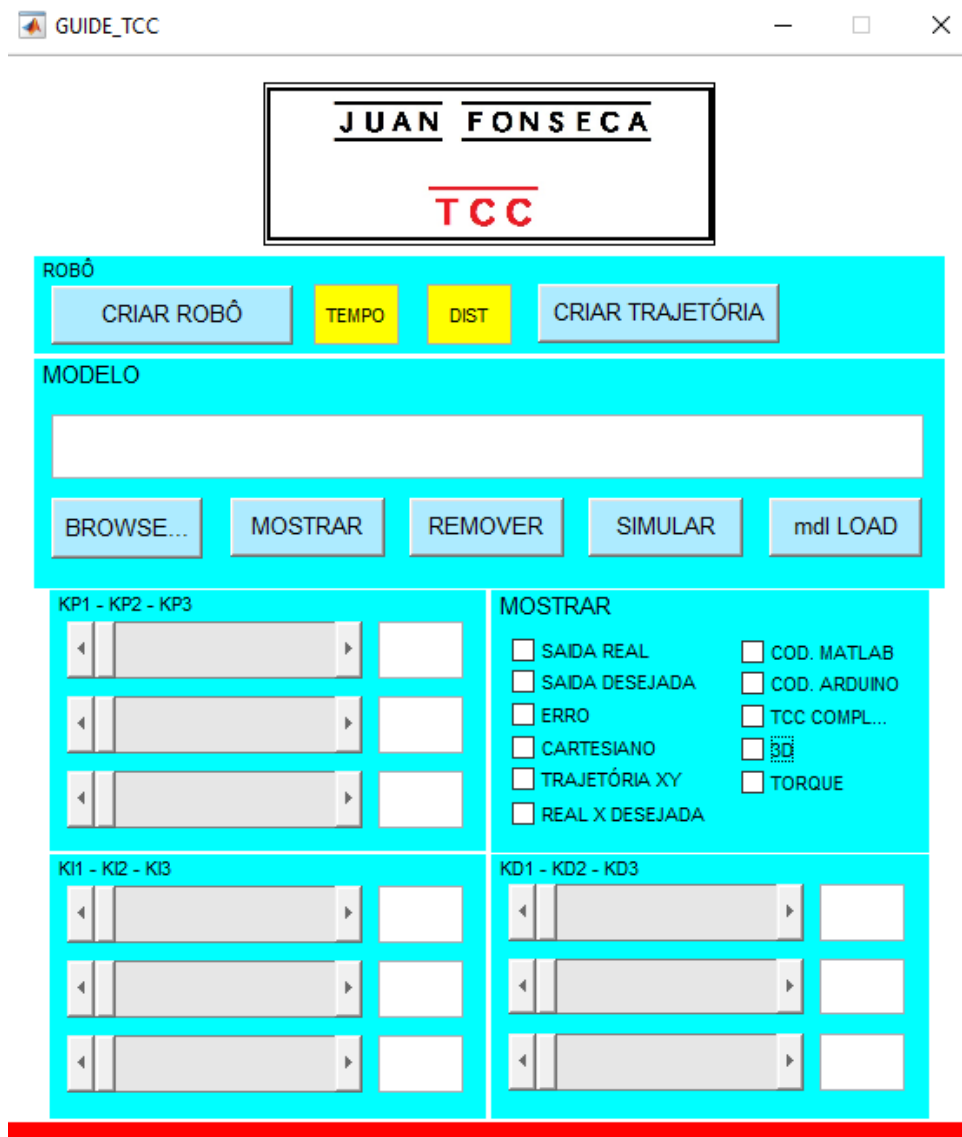
Logo após o detalhamento dos sinais foi feita a montagem da parte elétrica usando somente com materiais capazes de resistir esforços mecânicos, elétricos e térmicos, bem como aos efeitos da umidade, que provavelmente serão encontrados em serviço normal. A proteção contra corrosão foi assegurada pelo uso de materiais apropriados e pela aplicação de camadas protetoras na superfície exposta, levando em conta as condições de uso e manutenção. Os dispositivos e os circuitos foram dispostos de maneira que facilitem a sua operação e manutenção e, ao mesmo tempo, que assegure o grau necessário de segurança.

## 4.2 RESULTADOS DA SIMULAÇÃO

Esta seção vai apresentar os resultados relativos a interface gráfica da *GUIDE*, detalhes relativos programação e ao controle de manipuladores robóticos estão na seção de anexos. Os resultados da simulação serão apresentados em forma de figuras e comentários. Vale ressaltar que algumas funcionalidades referentes a apresentação de documentos e cogidos não serão tra-

tados nessa seção, uma vez que essas informações adicionais não fazem parte da simulação, mas estão presentes para divulgar o trabalho que foi executado na construção da *GUIDE*.

A interface final da guide de acordo as funcionalidades é ilustrada na figura 31.

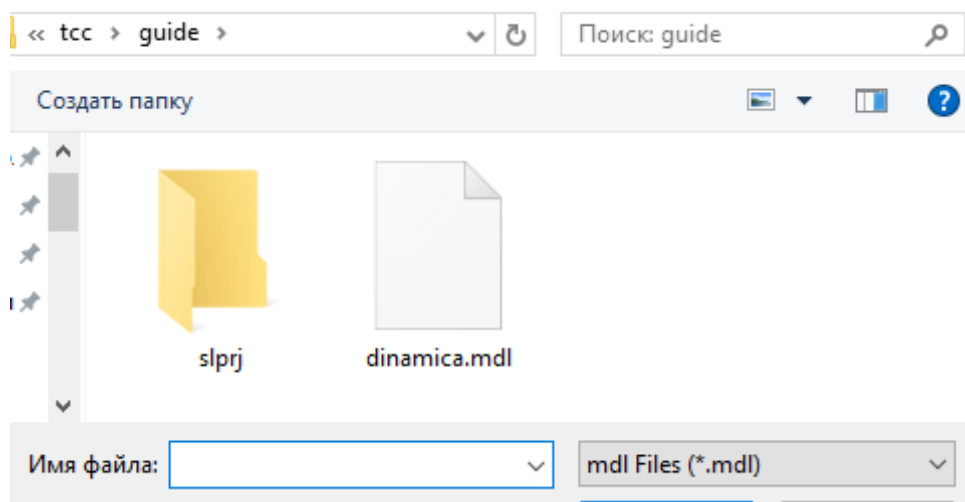


**Figura 31 – Interface GUIDE.**

Fonte: Autoria Própria.

Ao clicar no botão *BROWSE* abrirá uma janela para pesquisar endereço do modelo à ser simulado.

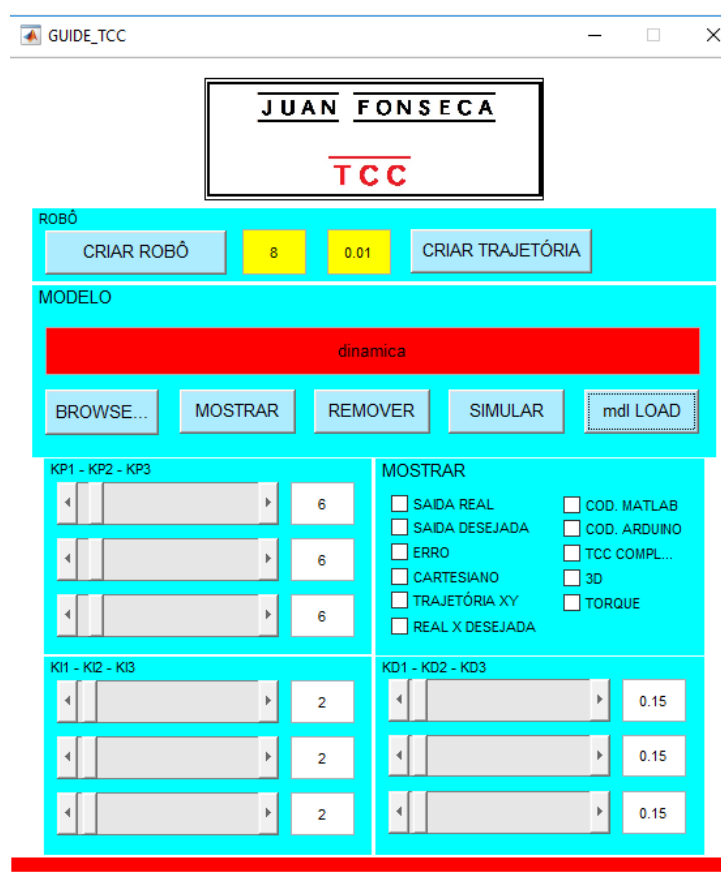




**Figura 32 – Funcionalidade do botão para pesquisar endereço do modelo.**

Fonte: Autoria Própria.

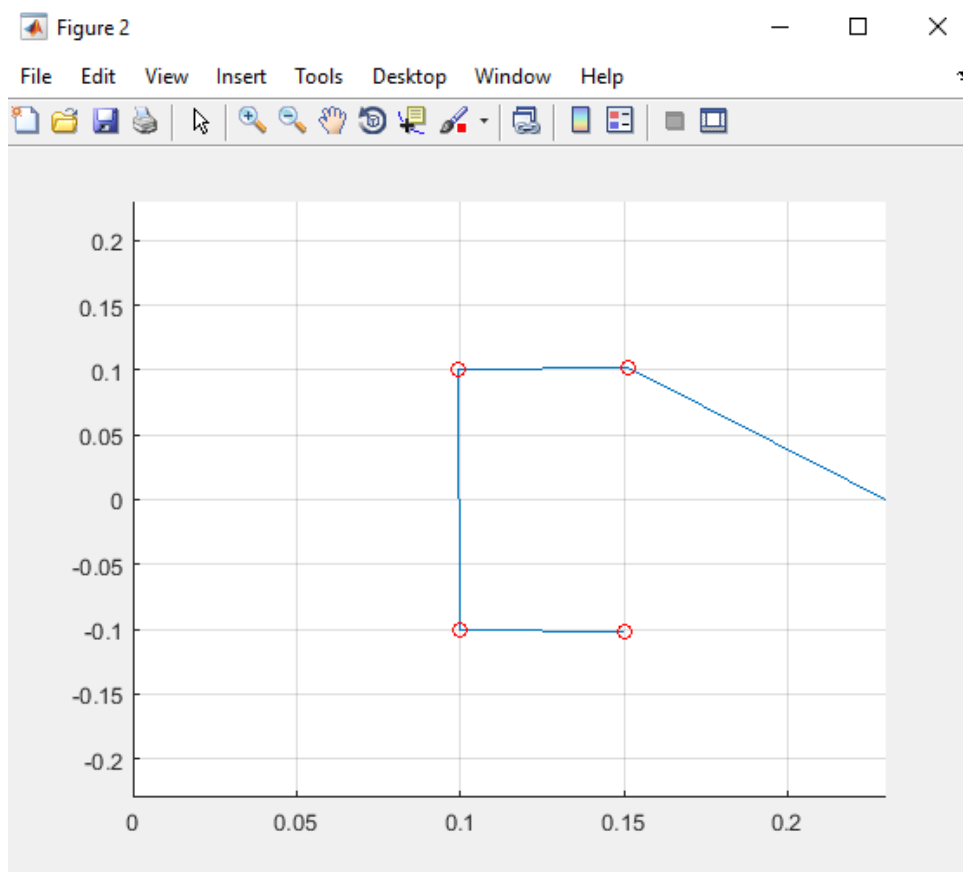
Quando o usuário clicar no botão *mdl LOAD* os dados dos ganhos PID serão informados ao usuário. A figura 33 ilustra isso.



**Figura 33 – Funcionalidade do botão para carregar os dados do modelo.**

Fonte: Autoria Própria.

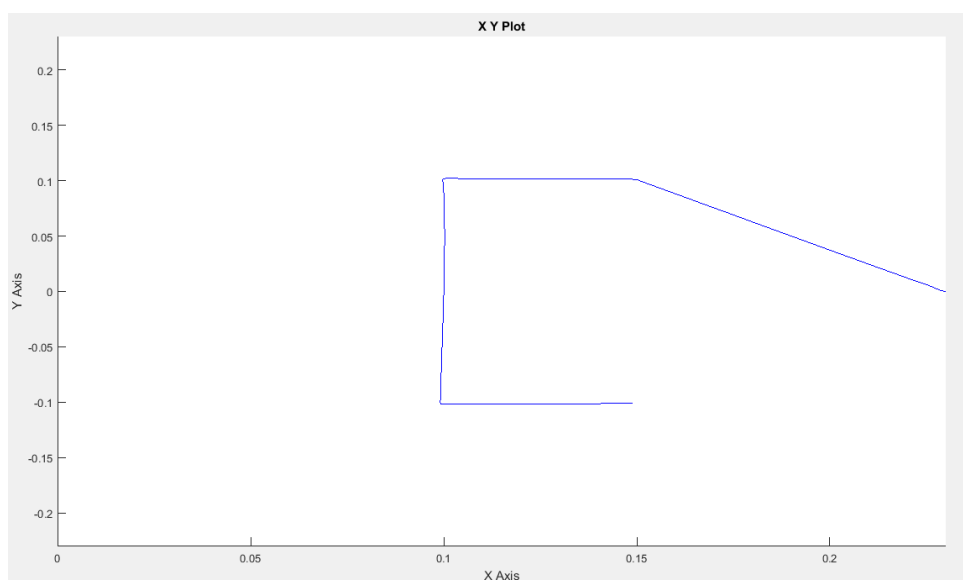
A figura 34 tem a informação da trajetória criada pelo usuário, essa trajetória será simulada no *MatLab Simulink* quando o usuário clicar no botão *SIMULAR*.



**Figura 34 – Trajetória criada pelo usuário.**

Fonte: Autoria Própria.

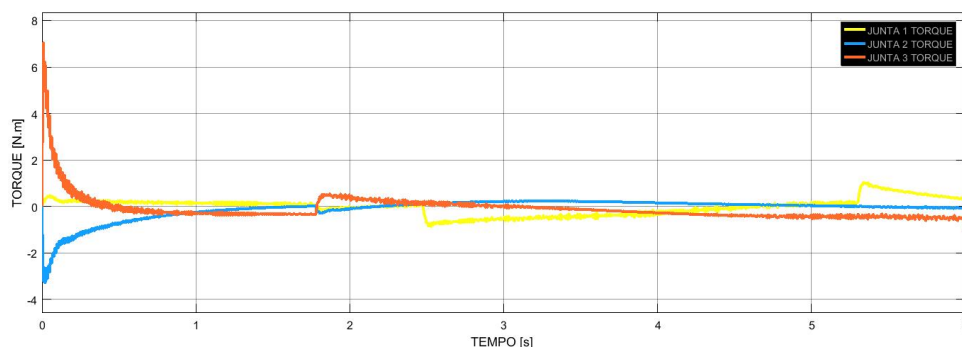
A figura 35 ilustra a trajetória do efetuador final do manipulador. Essa informação é importante para verificar a semelhança entre trajetória criada pelo usuário e trajetória real do sistema.



**Figura 35 – Trajetória real simulada.**

Fonte: Autoria Própria.

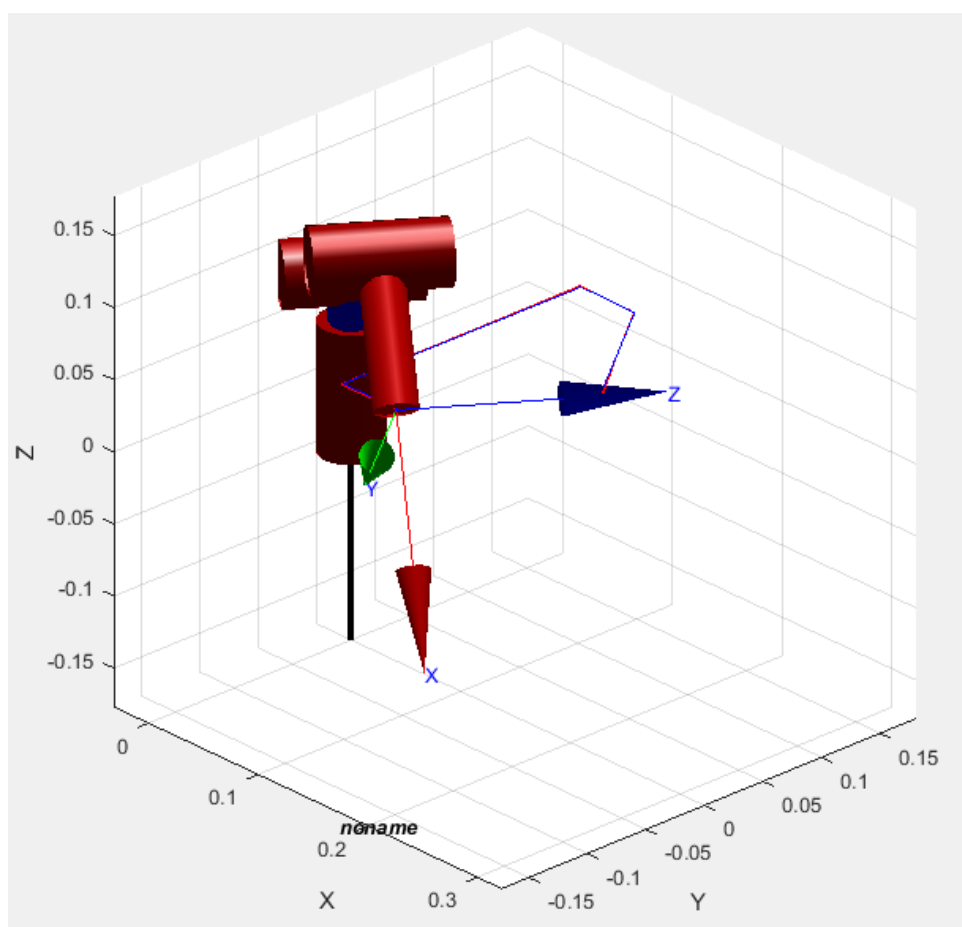
Dentre os vários dados que a *GUIDE* facilita a visualização uma importante é o torque do motor na sua trajetória completa, a figura 36 ilustra essa funcionalidade.



**Figura 36 – Torque simulado no motor.**

Fonte: Autoria Própria.

A figura 37 mostra a trajetória 3d do motor. Em linha azul podemos ver a posição final do manipulador desejada e em vermelho a trajetória real.

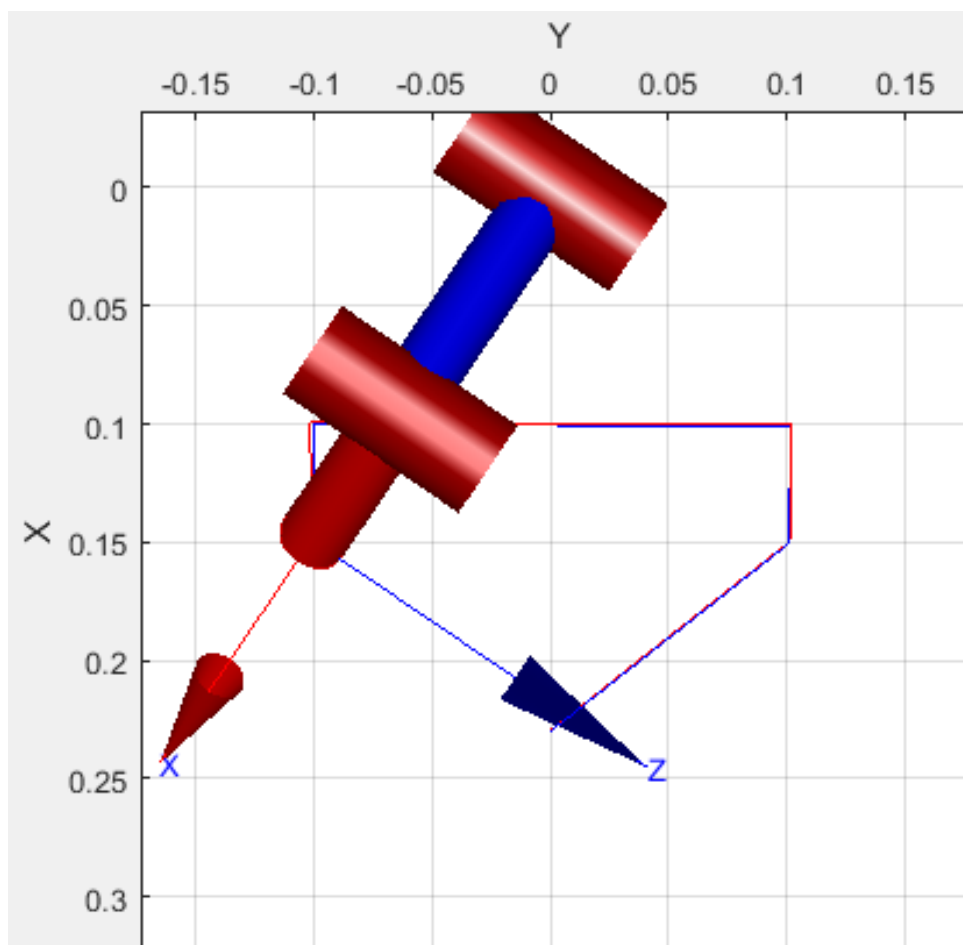


**Figura 37 – Trajetória 3D do robô na vista isométrica.**

Fonte: Autoria Própria.

A figura 38 mostra a mesma trajetória da figura anterior, mas de uma posição diferente. Essa imagem nos mostra uma funcionalidade importante na projeção em 3D, que é uma maior

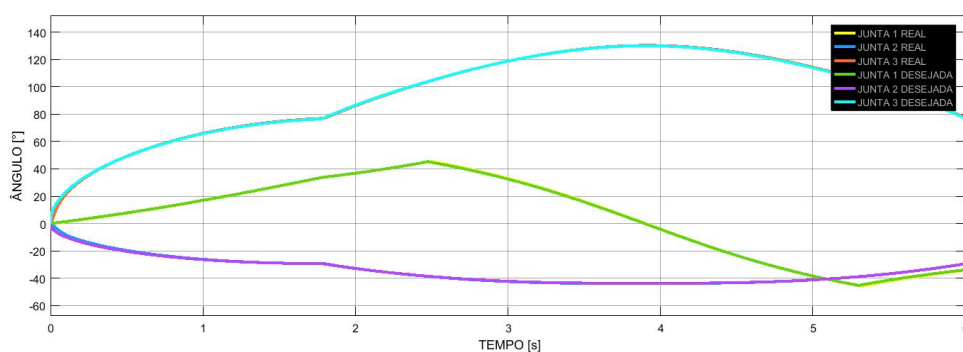
proximidade da realidade.



**Figura 38 – Trajetória 3D do robô na vista superior.**

Fonte: Autoria Própria.

A figura 39 ilustra a posição angular das 3 juntas no tempo. O sinal é ferente posição real da junta. O sinal amarelo é ferente posição real da junta 1. O sinal azul escuro é ferente posição real da junta 2. O sinal vermelho é ferente posição desejada da junta 3. O sinal é verde ferente posição desejada da junta 1. O sinal rosa é ferente a posição desejada da junta 2. O sinal rosa é ferente a posição desejada da junta 3.

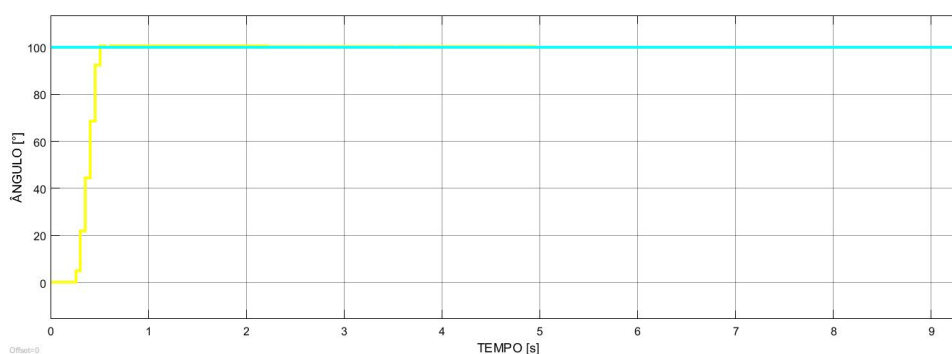


**Figura 39 – Posição angular das juntas.**

Fonte: Autoria Própria.

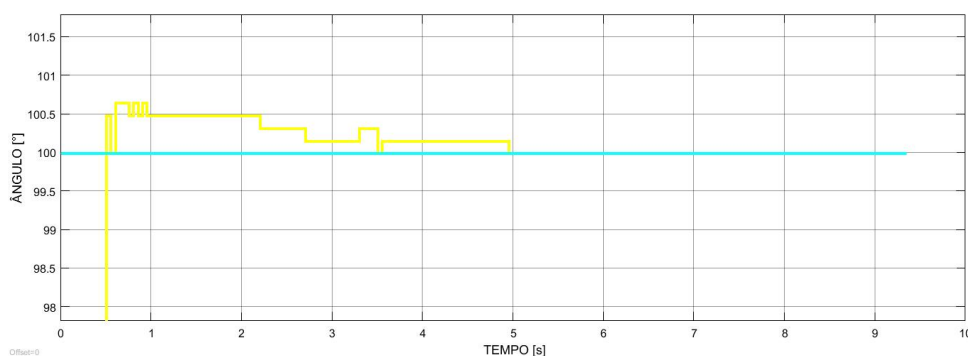
### 4.3 RESULTADOS DO CONTROLE

Para o controle de posição dos motores, é importante a integração com os sensores. O papel da simulação é estudar previamente o comportamento do motor e desse modo adequar os ganhos para o motor da melhor forma possível. Com os parâmetros do motor foi possível fazer uma simulação condizente com a realidade. O microcontrolador *Arduino* mostrou-se eficaz no gerenciamento do controle, apesar de não suportar muitos dados de trajetória. Contudo, esse detalhe não vai interferir a trajetória se ela for pequena. Para um teste inicial, foi criado um programa que aplica uma entrada desejada como referência. Foram realizadas comparações entre a referência e valor real. Na figura 40, é aplicado um degrau de 100 graus como referência. O sinal em azul mostra o sinal de referencia, enquanto o sinal em amarelo ilustra o movimento do motor buscando a referência. O tempo necessário para o posicionamento para um degrau de 100 graus no redutor, acoplado ao motor, com relação de 50:1 é de 1,7 segundos. Quando o valor de referência é igual ao valor real os autos ganhos do motor fazem o mesmo funcionar com um freio-motor, evitando assim que o efeito de acoplamento ou perturbações mudem o posicionamento.



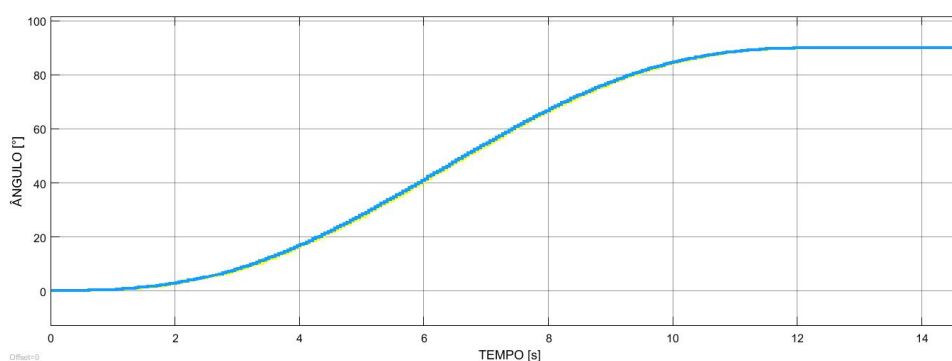
**Figura 40 – Resposta para degrau de 100 graus**  
Fonte: Autoria Própria.

Na figura 41 uma ampliação da simulação.



**Figura 41 – Resposta ampliada para degrau de 100 graus.**  
Fonte: Autoria Própria.

Na figura podemos ver o resultado da resposta da junta 1 para uma trajetória onde a junta parte do repouso e vai para uma posição de 90 graus em relação a posição inicial.



**Figura 42 – Resposta para trajetória de 90 graus.**

Fonte: Autoria Própria.

## 5 CONCLUSÃO

O projeto de um braço robótico antropomórfico nasceu como uma proposta para fortalecer a linha de pesquisa em robótica e aumentar o conhecimento que permite o desenvolvimento e a melhoria de sistemas que auxiliam na execução de tarefas na indústria. É importante enfatizar que o projeto de sistemas robotizados é um tema de pesquisa de muitos anos, e em que todos os dias designers estão adquirindo experiências que podem melhorar o protótipo.

### 5.0.1 Objetivos Abrangidos

Neste trabalho de pesquisa, foram alcançados os seguintes objetivos:

- Foi projetado de um braço robótico antropomórfico com 3 graus de liberdade.
- A simulação de movimento foi realizada tanto para o modelo do *MatLab* quando para o protótipo robótico.
- Foi realizada uma análise estrutural de todo o sistema robótico.
- Foi realizada uma análise dinâmica dos três graus do braço robótico.
- Cinemática direta e inversa foram encontradas para o sistema projetado.

### 5.0.2 Resultados da Parte Mecânica

No que diz respeito ao desenho mecânico do braço robótico, o objetivo de projetar um sistema com 3 graus de liberdade: A seleção de componentes foi complicada, pois suas dimensões não são simples de encontrar nos insumos do mercado interno com as características necessárias (Rolamentos, parafusos, polias, redutores, correias, etc.), por esta razão a seleção fora do mercado interno de algumas das peças de protótipo.

Uma vez que o braço robótico antropomórfico possui 3 graus de liberdade e a distribuição, localização e orientação de seus atuadores, é capaz de flexionar e posicionar-se qualquer posição dentro do seu espaço de trabalho, permitindo uma ampla gama de movimento, limitado apenas pela característica do antropomorfismo, uma vez que o braço robótico projetado é capaz de alcançar posições que um braço humano não pode alcançar por limitações físicas. Algumas especificações e restrições foram consideradas para o projeto, tais como: Dimensões, atuadores, redução, carga máxima, sistema de transmissão e redução, entre outras. O projeto final do braço possui uma massa aproximada de 1.5 kg, com capacidade manuseio de 0,5 kg. No seu efeto

final. O efector final é uma mão robótica antropomórfica de 3 grau de liberdade, onde 3 atuadores fazem o robô ser colocada e orientada em qualquer posição, à semelhança da mão humana, para pegar e manipular objetos no espaço de trabalho. O motivo para submetê-los a 3 graus de liberdade é porque ele economiza o custo dos motores e reduz o peso total do sistema, sem prejudicar a movimentação em todas as direções.

O filamento de plástico ABS foi selecionado como material de trabalho por causa de seu bom desempenho mecânico e facilidade de compra, mas demonstrou ter pouca resistência para aplicações como essa, pois os filamentos não resistiram aos testes.

A impressão em 3D precisa crescer em áreas como mercado de protótipos, sem dúvida essa ferramenta é de grande importância na construção de um protótipo e tem feitos admiráveis. Mas quando levamos em consideração a qualidades das peças, as peças impressas tem um longo caminho e não há vantagem de custo, as pesquisas em geral vão sempre escolher o produto feito em massa.

### 5.0.3 Resultados da Parte de Simulação

Ao realizar a análise estrutural estática usando o SolidWorks nas partes críticas do ombro, cotovelo e pulso, observa-se que o robô consegue efetuar movimentos em todas as direções. Com o modelo dinâmico do robô, realizado pela toolbox, encontrou o torque necessário que os atuadores tiveram que ter em cada um dos elos. Este par nos permitiu selecionar os redutores, pois eles têm alto torque de saída e os sistemas antropomórficos são adequados o uso por causa da dimensão e peso.

Em termos de cinemática envolvida no sistema robótico, a cinemática direita do braço, que serve para posicionar o efector final, e os parâmetros de rotação das 3 articulações do robô a toolbox mostrou capaz de resolver com satisfação esse problema. Com cinemática direta e inversa, verificou-se que é possível posicionar o robô em qualquer lugar no espaço de trabalho do braço robótico.

Com as simulações feitas nesse trabalho com o controle do manipulador, a toolbox mostrou que é perfeitamente aplicável no ambiente industrial, desde que os projetistas e pessoas que vão operar diretamente a ferramenta tenha um conhecimento aprofundado da ferramentas e do software Matlab, e que haja tempo suficiente e poder computacional para estas simulações. Um outro fator que pode interferir negativamente é a falta de parâmetros da parte mecânica do robô e dos atuadores envolvidos.



#### 5.0.4 Resultados da Parte Eletrônica

Com o detalhamento dos sinais foi possível uma maior organização na montagem do circuito elétrico. O *Arduino Mega* mostrou-se eficaz na manipulação dos sinais e processamento. O software que foi embarcado foi um problema, pois teve que lidar com a pouca quantidade de memória interna do *Arduino Mega*, algo que deve atrapalhar mais ainda o sistema caso o controlador implementado seja muito complexo. Na fase de potência o sistema teve um bom desempenho, pois não teve sobreaquecimento, apenas apresentando um pequeno aquecimento quando inserido perturbações no motor. Ambos os estágios funcionaram de forma harmoniosa e eficaz. .

#### 5.0.5 Contribuições

As contribuições deste trabalho de pesquisa são as seguintes:

- O desenho de um braço robótico antropomórfico de 3 gdl que aumenta o conhecimento deste tipo de sistemas, na área de mecatrônica na UTFPR.
- Um sistema de potência foi projetado pra uso diversos no controle de motores DC.
- Todo o sistema robótico é deixado em planos, para que as futuras gerações possam realizar a fabricação deste.

#### 5.0.6 Limitações no Desenvolvimento

As Limitações no desenvolvimento deste trabalho foram:

- O orçamento limitado não permitiu a fabricação do sistema robótico.
- Outra limitação foi o tempo, porque o desenvolvimento integral de um braço robótico envolve o conhecimento de diferentes disciplinas e a participação de especialistas em cada um delas. O design sendo um processo iterativo, o tempo foi limitado e com ênfase no projeto até a obtenção de um protótipo funcional.
- Outra limitação é que, porque o braço antropomórfico possui 3 graus de liberdade, apenas dois deles estão em acoplamento direto e a base é uma engrenagem lateral.
- Como na base a transmissão do movimento é por meio de engrenagem, pode haver uma discrepância entre os valores medidos pelo sensor e o valor real da posição da junta. O erro estimado foi de aproximadamente 5 graus.

### 5.0.7 Sugestões para Trabalhos Futuros

O design de um protótipo é um processo iterativo que busca a melhoria da mesmo. Devido a isso, é importante enfatizar que os resultados obtidos com este primeiro braço robótico é suscetível a melhorias. Não obstante o conhecimento gerado tem sido muito importante e servirá para futuras versões do braço robótico. Os trabalhos futuros relacionados a este trabalho foram classificado em cinco áreas:

Na área de instrumentação:

- Incorporar uma garra com sensores tácteis para obter as informações de força necessárias para que a mão do robô pode segurar e manipular objetos diferentes sem quebrá-los.

Na área mecânica:

- Diminuir o volume do braço robótico completo procurando componentes menores Dimensão.
- Trabalhar com outros tipos de materiais, por exemplo, polímeros ou alumínio, o que diminuirá o peso, além de modificar a fricção entre juntas.

Na área eletrônica:

- Design de um painel de controle para o controle do braço robótico.
- Implementar o sistema embarcado num microcontrolador mais veloz e com maior memória.

Controle:

- Realizar um controle multivariável do robô para verificar velocidades e trajetórias.
- Testar diferentes técnicas de controle.

Informática:

- Desenvolvimento de uma interface de usuário gráfica.
- Implementar uma linguagem de programação e sistemas operacionais para controle em Braço robótico em tempo real.

## REFERÊNCIAS

- CARRARA, V. Apostila de robótica. **Universidade Braz Cubas, Área de Ciências Exatas Engenharia Mecânica, Engenharia de Controle e Automação**, p. 13–27, 2009.
- CHAPMAN, S. J. **Programação em MATLAB para engenheiros**. [S.l.: s.n.], 2003.
- CORKE, P. I. Robotics toolbox for matlab. In: IEEE. [S.l.], 2015.
- CRAIG, J. J. **Robótica**. 3. ed. [S.l.]: Pearson Education do Brasil, 2012.
- DAWSON, F. L. L. D. M. **Robot manipulator control: theory and practice**. [S.l.]: CRC Press, 2003.
- FERREIRA, J. C. E. Robótica industrial. **Universidade Federal de Santa Catarina**, p. Capítulo 5, 2005.
- GROOVER, M. Automation, production system, and computer integrated manufacturing, 1987. In: **IIE Integrated Systems Conference, Nashville, Tenn.** [S.l.: s.n.], 1987.
- LATRE, L. G. Modelagem e controle de posição de robôs. **Revista da SBA: Sociedade Brasileira de Automática**, v. 2, 1988.
- OGATA, K.; MAYA, P. Á.; LEONARDI, F. **Engenharia de controle moderno**. [S.l.]: Prentice Hall, 2003.
- PIERI, E. R. d. Curso de robótica móvel. **UFSC–Universidade Federal de Santa Catarina**, 2002.
- ROMANO, V. F. **Robótica industrial: aplicação na indústria de manufatufatura e de processos**. [S.l.]: Edgard Blucher, 2002.
- ROSÁRIO, J. M. **Princípios de mecatrônica**. [S.l.]: Pearson Prentice Hall, 2006.
- SANTOS, V. M. F. **Robótica industrial**. 1. ed. [S.l.]: Editora Universidade de Aveiro, 2004.
- SCHILLING, R. J. **Fundamentals of robotics: analysis and control**. [S.l.]: Simon & Schuster Trade, 1996.
- SICILIANO, B.; KHATIB, O. **Springer handbook of robotics**. [S.l.]: Springer Science & Business Media, 2008.
- SPONG, M. W.; VIDYASAGAR, M. **Robot dynamics and control**. [S.l.]: John Wiley & Sons, 2008.
- STONE, W. L. **Robotics and Automation handbook**. [S.l.: s.n.], 2004.

## ANEXO A – CINEMÁTICA DO MANIPULADOR ROBÓTICO COM TRÊS GRAUS DE LIBERDADE

O manipulador conta com 3 elos, o elo 1 ( $L_1$ ) é fixo e os elos  $L_2$  e  $L_3$  são moveis. Para alcançar uma posição final o efetuador deve posicionar-se de modo que cada junta vai ter um angulo em relação a origem. Sendo:  $\theta_1$  o ângulo da junta 1,  $\theta_2$  o angulo da junta 2 e  $\theta_3$  o angulo da junta 3. As equações que descrevem a cinemática de movimento direto do manipulador são as seguintes:

$$p_x = L_2 \cos(\theta_1) \cos(\theta_2) + L_2 \cos(\theta_1) \cos(\theta_2 + \theta_3)$$

$$p_y = L_2 \sin(\theta_1) \cos(\theta_2) + L_2 \sin(\theta_1) \cos(\theta_2 + \theta_3)$$

$$p_z = L_1 + L_2 \sin(\theta_2) + L_3 \sin(\theta_2 + \theta_3)$$

Obter o modelo cinemático inverso pela forma geométrica consiste em decompor a geometria espacial do manipulador em varias formas de geometria plana.

$${}^{i-1}A_i = \begin{bmatrix} n_x & o_x & a_x & p_x \\ n_y & o_y & a_y & p_y \\ n_z & o_z & a_z & p_z \\ 0 & 0 & 0 & 1 \end{bmatrix} \quad (\text{A.1})$$

$$\begin{bmatrix} p \\ 1 \end{bmatrix} = \begin{bmatrix} p_x \\ p_y \\ p_z \\ 1 \end{bmatrix} \quad (\text{A.2})$$

Sabendo que:

$$\theta_1 = \arctan^2\left(\frac{p_y}{p_x}\right) \quad (\text{A.3})$$

$$p_x = \cos(\theta_1)[L_1 + L_2 \cos(\theta_2) + L_3 \cos(\theta_2 + \theta_3)] \quad (\text{A.4})$$

$$\frac{p_x}{\cos(\theta_1)} - L_1 = L_2 \cos(\theta_2) + L_3 \cos(\theta_2 + \theta_3) \quad (\text{A.5})$$

$$p_y = \sin(\theta_1)[L_1 + L_2 \cos(\theta_2) + L_3 \cos(\theta_2 + \theta_3)] \quad (\text{A.6})$$

$$\frac{p_y}{\sin(\theta_1)} - L_1 = L_2 \cos(\theta_2) + L_3 \cos(\theta_2 + \theta_3) \quad (\text{A.7})$$

Elevando os dois membros ao quadrado temos:

$$L_2 \cos(\theta_2) + L_3 \cos(\theta_2 + \theta_3) = \alpha \quad (\text{A.8})$$

$$L_2^2 \cos(\theta_2)^2 + L_3^2 \cos^2(\theta_2 + \theta_3) + 2L_1L_2 \cos(\theta_2) \cos(\theta_2 + \theta_3) = \alpha^2 \quad (\text{A.9})$$

$$L_2 \sin(\theta_2) + L_3 \sin(\theta_2 + \theta_3) = p_z \quad (\text{A.10})$$

$$L_2^2 \sin(\theta_2)^2 + L_3^2 \sin^2(\theta_2 + \theta_3) + 2L_1L_2 \sin(\theta_2) \sin(\theta_2 + \theta_3) = p_z^2 \quad (\text{A.11})$$

$$L_2^2 + L_3^2 + 2L_2L_3 \cos(\theta_3) = \alpha^2 + p_z^2 \quad (\text{A.12})$$

Para o ângulo da terceira junta, temos:

$$\cos(\theta_3) = \frac{\alpha^2 - p_z^2 - L_2^2 - L_3^2}{2L_2L_3} \quad (\text{A.13})$$

$$\sin(\theta_3) = \sqrt{1 - \cos^2(\theta_3)} \quad (\text{A.14})$$

$$\theta_3 = \arctan^2\left(\frac{\sin \theta_3}{\cos \theta_3}\right) \quad (\text{A.15})$$

Analogamente para o angulo da segunda junta temos:

$$k_1 = L_1 + L_2 \cos(\theta_2) \quad (\text{A.16})$$

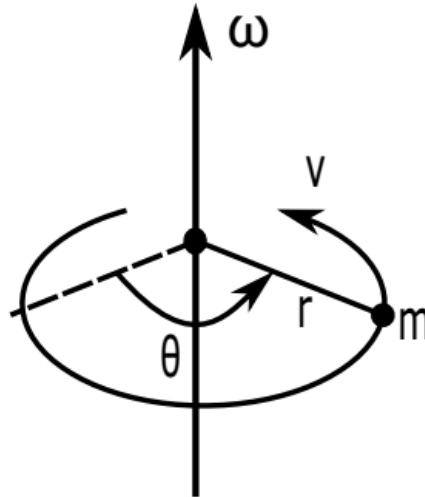
$$k_2 = L_2 \sin(\theta_2) \quad (\text{A.17})$$

$$\gamma = \arctan^2\left(\frac{k_2}{k_1}\right) \quad (\text{A.18})$$

$$\theta_2 = \arctan^2\left(\frac{\alpha}{p_z}\right) - \gamma \quad (\text{A.19})$$

## ANEXO B – CONCEITOS DA DINÂMICA DO MANIPULADOR ROBÓTICO

Seja a Figura 43 a representação da força centrípeta.



**Figura 43 – Força Centrípeta.**

Fonte: Adaptada de (DAWSON, 2003).

Onde  $m$  é a massa em movimento ao redor de um ponto com raio  $r$ ,  $\theta$  é sua posição,  $v$  é sua velocidade linear e  $\omega$  é sua velocidade angular.

A força centrípeta é dada por:

$$F_{cent} = \frac{mv^2}{r} \quad (B.1)$$

A velocidade linear  $v$  está apresentada na Equação (B.2).

$$v = \omega r \quad (B.2)$$

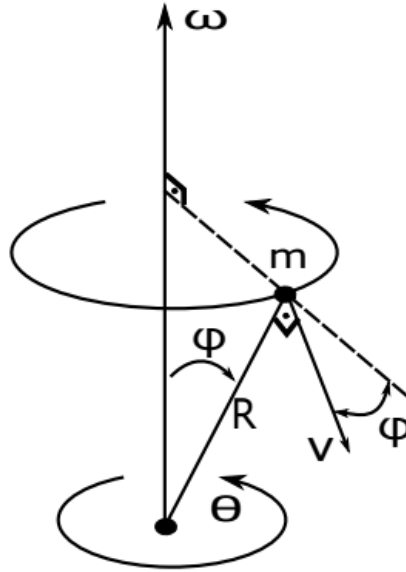
Sendo a velocidade angular igual a  $\omega = \dot{\theta}$  e considerando a Equação (B.2), a força centrípeta pode ser expressa como:

$$F_{cent} = m\dot{\theta}^2 r \quad (B.3)$$

A força de Coriolis está representada na Figura 44.

A partir da Figura 44, utilizando a regra da mão da direita, verifica-se que a força de Coriolis atua no corpo de massa  $m$  desviando-o para a direita com uma velocidade linear  $v$ . Então, a força de Coriolis é dada por:

$$F_{cor} = -2m\omega \times v \quad (B.4)$$



**Figura 44 – Força de Coriolis.**

Fonte: Adaptada de (DAWSON, 2003).

Como  $\omega$  é igual a  $\dot{\theta}$  e a velocidade linear  $v$  é igual a  $R\dot{\phi}$ , a força Centrípeta pode ser expressa como:

$$F_{cor} = -2mR\dot{\theta}\dot{\phi}\cos(\phi) \quad (B.5)$$

Considerando a massa  $m$  da Figura 43, sua energia cinética é calculada de acordo com a Equação (B.6).

$$K = \frac{1}{2}mv^2 \quad (B.6)$$

E a energia cinética rotacional é dada por:

$$K_{rot} = \frac{1}{2}I\omega^2 \quad (B.7)$$

Onde  $I$  é o momento de inércia.

Considerando  $m$  como uma massa pontual, o momento de inércia é expresso como:

$$I = mr^2 \quad (B.8)$$

Então, a Equação (B.7) é reescrita como segue:

$$K_{rot} = \frac{1}{2}mr^2\dot{\theta}^2 \quad (B.9)$$



Também considerando a Figura 43, a energia potencial da massa  $m$  é dada como apresenta a Equação (B.10).

$$P = mgh \quad (\text{B.10})$$

Sendo  $h$  a altura no campo gravitacional e  $g$  a aceleração da gravidade.

A quantidade de movimento de um corpo com massa  $m$  e velocidade linear  $v$  é calculada de acordo com a Equação (B.11).

$$p = mv \quad (\text{B.11})$$

Já a quantidade de movimento angular é calculado de acordo com a Equação (B.12).

$$P_{ang} = r \times p \quad (\text{B.12})$$

Sendo  $r$  a distância da massa  $m$  até a origem.

Por fim, o torque de uma força  $F$ , considerando a mesma distância  $r$  da origem é expresso como indica a Equação (B.13).

$$N = r \times F \quad (\text{B.13})$$

## ANEXO C – PROGRAMA ARDUINO TRAJETORIA

```

1  #include <PID_v1.h>
   #include "TimerOne.h"
3  #include <aJSON.h>

5  int AnguloRef[3]; // ANGULO DE REFERENCIA
   int pulses[3]; // PULSOS ENCODER
7  int SaidaPWM[3];

9  // DEFINICAO PINOS ENCODER A B
   int encoderBA = 3;
11  int encoderBB = 2;
   int encoderOA = 20;
13  int encoderOB = 21;
   int encoderCA = 18;
15  int encoderCB = 19;
   int juaan = 0;
17  int i = 0;
   int mattraaj[501][3] = {{0,0,0},{0,0,0},{0,0,0},{0,0,0},{0,0,0},
19 {0,0,0},{0,0,0},{0,0,0},{0,0,0},{0,0,0},{0,0,0},{0,0,0},{1,-1,1},
   {1,-1,1},{1,-1,1},{1,-1,1},{1,-1,1},{2,-2,2},{2,-2,2},{2,-2,2},
21 {2,-2,2},{3,-3,3},{3,-3,3},{4,-4,4},{4,-4,4},{5,-5,5},{5,-5,5},
   {6,-6,6},{7,-7,7},{7,-7,7},{8,-8,8},{9,-9,9},{9,-9,9},{10,-10,10},
23 {11,-11,11},{12,-12,12},{13,-13,13},{14,-14,14},{15,-15,15},
   {16,-16,16},{17,-17,17},{19,-19,19},{20,-20,20},{21,-21,21},
25 {23,-23,23},{24,-24,24},{26,-26,26},{27,-27,27},{29,-29,29},
   {30,-30,30},{32,-32,32},{34,-34,34},{35,-35,35},{37,-37,37},
27 {39,-39,39},{41,-41,41},{43,-43,43},{45,-45,45},{47,-47,47},
   {49,-49,49},{51,-51,51},{54,-54,54},{56,-56,56},{58,-58,58},
29 {61,-61,61},{63,-63,63},{65,-65,65},{68,-68,68},{70,-70,70},
   {73,-73,73},{76,-76,76},{78,-78,78},{81,-81,81},{84,-84,84},
31 {87,-87,87},{90,-90,90},{93,-93,93},{96,-96,96},{99,-99,99},{102,-
   102,102},{105,-105,105},{108,-108,108},{111,-111,111},{114,-114,114},
33 {118,-118,118},{121,-121,121},{124,-124,124},{128,-128,128},{131,-
   131,131},{135,-135,135},{138,-138,138},{142,-142,142},{145,-145,145},
35 {149,-149,149},{152,-152,152},{156,-156,156},{160,-160,160},{163,-
   163,163},{167,-167,167},{171,-171,171},{175,-175,175},{178,-178,178},
37 {182,-182,182},{186,-186,186},{190,-190,190},{194,-194,194},{198,-
   198,198},{202,-202,202},{206,-206,206},{210,-210,210},{214,-214,214},
39 {218,-218,218},{222,-222,222},{226,-226,226},{230,-230,230},{234,-
   234,234},{238,-238,238},{242,-242,242},{246,-246,246},{250,-250,250},
41 {254,-254,254},{259,-259,259},{263,-263,263},{267,-267,267},{271,-
   271,271},{275,-275,275},{279,-279,279},{283,-283,283},{287,-287,287},
43 {292,-292,292},{296,-296,296},{300,-300,300},{304,-304,304},{308,-
   308,308},{312,-312,312},{316,-316,316},{320,-320,320},{324,-324,324},

```

45 { 328, -328, 328 }, { 332, -332, 332 }, { 336, -336, 336 }, { 340, -340, 340 }, { 344, -  
 344, 344 }, { 348, -348, 348 }, { 352, -352, 352 }, { 356, -356, 356 }, { 360, -360, 360 },  
 47 { 364, -364, 364 }, { 368, -368, 368 }, { 372, -372, 372 }, { 375, -375, 375 }, { 379, -  
 379, 379 }, { 383, -383, 383 }, { 387, -387, 387 }, { 390, -390, 390 }, { 394, -394, 394 },  
 49 { 398, -398, 398 }, { 401, -401, 401 }, { 405, -405, 405 }, { 408, -408, 408 }, { 412, -  
 412, 412 }, { 415, -415, 415 }, { 419, -419, 419 }, { 422, -422, 422 }, { 426, -426, 426 },  
 51 { 429, -429, 429 }, { 432, -432, 432 }, { 436, -436, 436 }, { 439, -439, 439 }, { 442, -  
 442, 442 }, { 445, -445, 445 }, { 448, -448, 448 }, { 451, -451, 451 }, { 454, -454, 454 },  
 53 { 457, -457, 457 }, { 460, -460, 460 }, { 463, -463, 463 }, { 466, -466, 466 }, { 469, -  
 469, 469 }, { 472, -472, 472 }, { 474, -474, 474 }, { 477, -477, 477 }, { 480, -480, 480 },  
 55 { 482, -482, 482 }, { 485, -485, 485 }, { 487, -487, 487 }, { 490, -490, 490 }, { 492, -  
 492, 492 }, { 494, -494, 494 }, { 496, -496, 496 }, { 499, -499, 499 }, { 501, -501, 501 },  
 57 { 503, -503, 503 }, { 505, -505, 505 }, { 507, -507, 507 }, { 509, -509, 509 }, { 511, -  
 511, 511 }, { 513, -513, 513 }, { 515, -515, 515 }, { 516, -516, 516 }, { 518, -518, 518 },  
 59 { 520, -520, 520 }, { 521, -521, 521 }, { 523, -523, 523 }, { 524, -524, 524 }, { 526, -  
 526, 526 }, { 527, -527, 527 }, { 529, -529, 529 }, { 530, -530, 530 }, { 531, -531, 531 },  
 61 { 533, -533, 533 }, { 534, -534, 534 }, { 535, -535, 535 }, { 536, -536, 536 }, { 537, -  
 537, 537 }, { 538, -538, 538 }, { 539, -539, 539 }, { 540, -540, 540 }, { 541, -541, 541 },  
 63 { 541, -541, 541 }, { 542, -542, 542 }, { 543, -543, 543 }, { 544, -544, 544 }, { 544, -  
 544, 544 }, { 545, -545, 545 }, { 545, -545, 545 }, { 546, -546, 546 }, { 546, -546, 546 },  
 65 { 547, -547, 547 }, { 547, -547, 547 }, { 548, -548, 548 }, { 548, -548, 548 }, { 548, -  
 548, 548 }, { 548, -548, 548 }, { 549, -549, 549 }, { 549, -549, 549 }, { 549, -549, 549 },  
 67 { 549, -549, 549 }, { 549, -549, 549 }, { 550, -550, 550 }, { 550, -550, 550 }, { 550, -  
 550, 550 }, { 550, -550, 550 }, { 550, -550, 550 }, { 550, -550, 550 }, { 550, -550, 550 },  
 69 { 550, -550, 550 }, { 550, -550, 550 }, { 550, -550, 550 }, { 550, -550, 550 }, { 550, -  
 550, 550 }, { 550, -550, 550 }, { 550, -550, 550 }, { 550, -550, 550 }, { 550, -550, 550 },  
 71 { 550, -550, 550 }, { 550, -550, 550 }, { 550, -550, 550 }, { 550, -550, 550 }, { 550, -  
 550, 550 }, { 550, -550, 550 }, { 550, -550, 550 }, { 550, -550, 550 }, { 550, -550, 550 },  
 73 { 550, -550, 550 }, { 550, -550, 550 }, { 550, -550, 550 }, { 550, -550, 550 }, { 550, -  
 550, 550 }, { 550, -550, 550 }, { 550, -550, 550 }, { 550, -550, 550 }, { 550, -550, 550 },  
 75 { 550, -550, 550 }, { 550, -550, 550 }, { 550, -550, 550 }, { 550, -550, 550 }, { 550, -  
 550, 550 }, { 550, -550, 550 }, { 550, -550, 550 }, { 550, -550, 550 }, { 550, -550, 550 },  
 77 { 550, -550, 550 }, { 550, -550, 550 }, { 550, -550, 550 }, { 550, -550, 550 }, { 550, -  
 550, 550 }, { 550, -550, 550 }, { 550, -550, 550 }, { 550, -550, 550 }, { 550, -550, 550 },  
 79 { 550, -550, 550 }, { 550, -550, 550 }, { 550, -550, 550 }, { 550, -550, 550 }, { 550, -  
 550, 550 }, { 550, -550, 550 }, { 550, -550, 550 }, { 550, -550, 550 }, { 550, -550, 550 },  
 81 { 550, -550, 550 }, { 550, -550, 550 }, { 550, -550, 550 }, { 550, -550, 550 }, { 550, -  
 550, 550 }, { 550, -550, 550 }, { 550, -550, 550 }, { 550, -550, 550 }, { 550, -550, 550 },  
 83 { 550, -550, 550 }, { 550, -550, 550 }, { 550, -550, 550 }, { 550, -550, 550 }, { 550, -  
 550, 550 }, { 550, -550, 550 }, { 550, -550, 550 }, { 550, -550, 550 }, { 550, -550, 550 },  
 85 { 550, -550, 550 }, { 550, -550, 550 }, { 550, -550, 550 }, { 550, -550, 550 }, { 550, -  
 550, 550 }, { 550, -550, 550 }, { 550, -550, 550 }, { 550, -550, 550 }, { 550, -550, 550 },  
 87 { 550, -550, 550 }, { 550, -550, 550 }, { 550, -550, 550 }, { 550, -550, 550 }, { 550, -  
 550, 550 }, { 550, -550, 550 }, { 550, -550, 550 }, { 550, -550, 550 }, { 550, -550, 550 },  
 89 { 550, -550, 550 }, { 550, -550, 550 }, { 550, -550, 550 }, { 550, -550, 550 }, { 550, -  
 550, 550 }, { 550, -550, 550 }, { 550, -550, 550 }, { 550, -550, 550 }, { 550, -550, 550 },  
 91 { 550, -550, 550 }, { 550, -550, 550 }, { 550, -550, 550 }, { 550, -550, 550 }, { 550, -  
 550, 550 }, { 550, -550, 550 }, { 550, -550, 550 }, { 550, -550, 550 }, { 550, -550, 550 },

```

93 { 550,-550,550},{ 550,-550,550},{ 550,-550,550},{ 550,-550,550},{ 550,-
550,550},{ 550,-550,550},{ 550,-550,550},{ 550,-550,550},{ 550,-550,550},
95 { 550,-550,550},{ 550,-550,550},{ 550,-550,550},{ 550,-550,550},{ 550,-
550,550},{ 550,-550,550},{ 550,-550,550},{ 550,-550,550},{ 550,-550,550},
97 { 550,-550,550},{ 550,-550,550},{ 550,-550,550},{ 550,-550,550},{ 550,-
550,550},{ 550,-550,550},{ 550,-550,550},{ 550,-550,550},{ 550,-550,550},
99 { 550,-550,550},{ 550,-550,550},{ 550,-550,550},{ 550,-550,550},{ 550,-
550,550},{ 550,-550,550},{ 550,-550,550},{ 550,-550,550},{ 550,-550,550},
101 { 550,-550,550},{ 550,-550,550},{ 550,-550,550},{ 550,-550,550},{ 550,-
550,550},{ 550,-550,550},{ 550,-550,550},{ 550,-550,550},{ 550,-550,550},
103 { 550,-550,550},{ 550,-550,550},{ 550,-550,550},{ 550,-550,550},{ 550,-
550,550},{ 550,-550,550},{ 550,-550,550},{ 550,-550,550},{ 550,-550,550},
105 { 550,-550,550},{ 550,-550,550},{ 550,-550,550},{ 550,-550,550},{ 550,-
550,550},{ 550,-550,550},{ 550,-550,550},{ 550,-550,550},{ 550,-550,550},
107 { 550,-550,550},{ 550,-550,550},{ 550,-550,550},{ 550,-550,550},{ 550,-
550,550},{ 550,-550,550},{ 550,-550,550},{ 550,-550,550},{ 550,-550,550},
109 { 550,-550,550},{ 550,-550,550},{ 550,-550,550},{ 550,-550,550},{ 550,-
550,550},{ 550,-550,550},{ 550,-550,550},{ 550,-550,550},{ 550,-550,550},
111 { 550,-550,550},{ 550,-550,550},{ 550,-550,550},{ 550,-550,550},{ 550,-
550,550},{ 550,-550,550},{ 550,-550,550},{ 550,-550,550},{ 550,-550,550},
113 { 550,-550,550},{ 550,-550,550},{ 550,-550,550},{ 550,-550,550},{ 550,-
550,550},{ 550,-550,550},{ 550,-550,550},{ 550,-550,550},{ 550,-550,550},
115 { 550,-550,550},{ 550,-550,550},{ 550,-550,550},{ 550,-550,550},{ 550,-
550,550},{ 550,-550,550},{ 550,-550,550},{ 550,-550,550},{ 550,-550,550},
117 { 550,-550,550},{ 550,-550,550},{ 550,-550,550},{ 550,-550,550},{ 550,-
550,550},{ 550,-550,550},{ 550,-550,550},{ 550,-550,550},{ 550,-550,550},
119 { 550,-550,550},{ 550,-550,550},{ 550,-550,550},{ 550,-550,550},{ 550,-
550,550},{ 550,-550,550},{ 550,-550,550},{ 550,-550,550},{ 550,-550,550},
121 { 550,-550,550},{ 550,-550,550},{ 550,-550,550},{ 550,-550,550},{ 550,-
550,550},{ 550,-550,550},{ 550,-550,550},{ 550,-550,550},{ 550,-550,550},
123 { 550,-550,550},{ 550,-550,550},{ 550,-550,550},{ 550,-550,550},{ 550,-
550,550},{ 550,-550,550},{ 550,-550,550},{ 550,-550,550},{ 550,-550,550},
125 { 550,-550,550},{ 550,-550,550},{ 550,-550,550}};

127
// definicao pinos PWM
129 #define enB 10
#define in1B 12
131 #define in2B 11
#define enO 4
133 #define in1O 6
#define in2O 5
135 #define enC 7
#define in1C 8
137 #define in2C 9

139 // ANGUO MAX E MIN
#define Bmin -4400

```

```

141 #define Bmax 4400
    #define BmaxGraus 4400
143
    #define Omin -4400
145 #define Omax 4400
    #define OmaxGraus 4400
147
    #define Cmin -4400
149 #define Cmax 4400
    #define CmaxGraus 4400
151
    // TEVE PULSO ?
153 int BpulsesChanged = 0;
    int OpulsesChanged = 0;
155 int CpulsesChanged = 0;
    int vmax = 200;
157 const int sampleRate = 1; // Variable that determines how fast our PID loop
    runs
    double Setpoint[3], Input[3], Output[3]; //These are just variables for
    storing values
159 double aggKp=10, aggKi=6, aggKd=1;
    double consKp=50, consKi=50, consKd=20;
161 PID myPID0(&Input[0], &Output[0], &Setpoint[0], consKp, consKi, consKd,
    DIRECT);
    PID myPID1(&Input[1], &Output[1], &Setpoint[1], consKp, consKi, consKd,
    DIRECT);
163 PID myPID2(&Input[2], &Output[2], &Setpoint[2], consKp, consKi, consKd,
    DIRECT);

165 void setup() {
    Serial.begin(57600);
167
    Timer1.initialize(50000);
169 Timer1.attachInterrupt(imprime);
    // PINOS ENCODER COMO ENTRADA
171 pinMode(encoderBA, INPUT);
    pinMode(encoderBB, INPUT);
173 pinMode(encoderOA, INPUT);
    pinMode(encoderOB, INPUT);
175 pinMode(encoderCA, INPUT);
    pinMode(encoderCB, INPUT);
177 // INTERRUPTAO ENCODER
    attachInterrupt(0, BA_CHANGE, CHANGE);
179 attachInterrupt(1, BB_CHANGE, CHANGE);
    attachInterrupt(2, OA_CHANGE, CHANGE);
181 attachInterrupt(3, OB_CHANGE, CHANGE);
    attachInterrupt(4, CA_CHANGE, CHANGE);
183 attachInterrupt(5, CB_CHANGE, CHANGE);

```

```

185 myPID0.SetMode(AUTOMATIC); //Turn on the PID loop
    myPID0.SetSampleTime(sampleRate); //Sets the sample rate
187 myPID0.SetOutputLimits(-255, 255);
    myPID1.SetMode(AUTOMATIC); //Turn on the PID loop
189 myPID1.SetSampleTime(sampleRate); //Sets the sample rate
    myPID1.SetOutputLimits(-255, 255);
191 myPID2.SetMode(AUTOMATIC); //Turn on the PID loop
    myPID2.SetSampleTime(sampleRate); //Sets the sample rate
193 myPID2.SetOutputLimits(-255, 255);

195 AnguloRef[0] = 0;
    AnguloRef[1] = 0;
197 AnguloRef[2] = 0;
} // setup
199
200 void loop() {
201     //ZERAR OS PULSOS CHANGE
    zerapulso();
203     //PID E PWM CADA MOTOR
    Input[0] = pulses[0];
205     Setpoint[0] = AnguloRef[0];
    // double gap0 = abs(Setpoint[0]-Input[0]); //distance away from setpoint
207     // if(gap0>10)
    // { //we're close to setpoint, use conservative tuning parameters
209     //     myPID0.SetTunings(consKp, consKi, consKd);
    // }
211     // else
    // {
213     //     myPID0.SetTunings(aggKp, aggKi, aggKd);
    // }
215     myPID0.Compute();
    pwm0();
217     Input[1] = pulses[1];
    Setpoint[1] = AnguloRef[1];
219     // double gap1 = abs(Setpoint[1]-Input[1]); //distance away from setpoint
    // if(gap1>10)
221     // { //we're close to setpoint, use conservative tuning parameters
    //     myPID1.SetTunings(consKp, consKi, consKd);
223     // }
    // else
225     // {
    //     myPID1.SetTunings(aggKp, aggKi, aggKd);
227     // }
    myPID1.Compute();
229     pwm1();
    Input[2] = pulses[2];
231     Setpoint[2] = AnguloRef[2];

```

```

// double gap2 = abs(Setpoint[2]-Input[2]); //distance away from setpoint
233 // if (gap2>10)
// { //we're close to setpoint, use conservative tuning parameters
235 //     myPID2.SetTunings(consKp, consKi, consKd);
// }
237 // else
// {
239 //     myPID2.SetTunings(aggKp, aggKi, aggKd);
// }
241 myPID2.Compute();
    pwm2();
243
245 }
void zerapulso() {
247     if (BpulsesChanged != 0) {
        BpulsesChanged = 0;
249     }
    if (OpulsesChanged != 0) {
251         OpulsesChanged = 0;
    }
253     if (CpulsesChanged != 0) {
        CpulsesChanged = 0;
255     }
    }
257 void imprime() {
    Serial.print(pulses[0]);
259     Serial.print(",");
    Serial.print(mattraj[i][0]);
261     Serial.print(pulses[1]);
    Serial.print(",");
263     Serial.print(mattraj[i][1]);
    Serial.print(pulses[2]);
265     Serial.print(",");
    Serial.print(mattraj[i][2]);
267     Serial.print("\n");
    juan++;
269     if (juan==1){
        juan =0;
271
        if (i<501){
273             AnguloRef[0]= mattraj[i][0];
            AnguloRef[1]= mattraj[i][1];
275             AnguloRef[2]= mattraj[i][2];
            i++;
277         }
    }
279 }

```

```

void pwm0() {
281   SaidaPWM[0] = abs( Output[0] );
      SaidaPWM[0] = constrain( SaidaPWM[0], 0, vmax );
283
      analogWrite( enB, SaidaPWM[0] );
285   if ( Output[0] < 0 ) {
      digitalWrite( in1B, HIGH );
287     digitalWrite( in2B, LOW );
      }
289   if ( Output[0] > 0 ) {
      digitalWrite( in1B, LOW );
291     digitalWrite( in2B, HIGH );
      }
293 }

void pwm1() {
295   SaidaPWM[1] = abs( Output[1] );
      SaidaPWM[1] = constrain( SaidaPWM[1], 0, vmax );
297
      analogWrite( enO, SaidaPWM[1] );
299   if ( Output[1] < 0 ) {
      digitalWrite( in1O, HIGH );
301     digitalWrite( in2O, LOW );
      }
303   if ( Output[1] > 0 ) {
      digitalWrite( in1O, LOW );
305     digitalWrite( in2O, HIGH );
      }
307 }

void pwm2() {
309   SaidaPWM[2] = abs( Output[2] );
      SaidaPWM[2] = constrain( SaidaPWM[2], 0, vmax );
311
      analogWrite( enC, SaidaPWM[2] );
313   if ( Output[2] < 0 ) {
      digitalWrite( in1C, HIGH );
315     digitalWrite( in2C, LOW );
      }
317   if ( Output[2] > 0 ) {
      digitalWrite( in1C, LOW );
319     digitalWrite( in2C, HIGH );
      }
321 }

323 // ATUALIZACAO DOS PULSOS BASE
void BA_CHANGE() {
325   if( digitalRead( encoderBB ) == 0 ) {
      if ( digitalRead( encoderBA ) == 0 ) {
327         // A fell , B is low

```



```

    pulses[0]--; // moving reverse
329 } else {
    // A rose , B is low
331 pulses[0]++; // moving forward
    }
333 } else {
    if ( digitalRead(encoderBA) == 0 ) {
335 // A fell , B is high
        pulses[0]++; // moving forward
337 } else {
        // A rose , B is high
339 pulses[0]--; // moving reverse
        }
341 }
    // tell the loop that the pulses have changed
343 BpulsesChanged = 1;
}
345
void BB_CHANGE() {
347 if ( digitalRead(encoderBA) == 0 ) {
    if ( digitalRead(encoderBB) == 0 ) {
349 // B fell , A is low
        pulses[0]++; // moving forward
351 } else {
        // B rose , A is low
353 pulses[0]--; // moving reverse
        }
355 } else {
    if ( digitalRead(encoderBB) == 0 ) {
357 // B fell , A is high
        pulses[0]--; // moving reverse
359 } else {
        // B rose , A is high
361 pulses[0]++; // moving forward
        }
363 }
    // tell the loop that the pulses have changed
365 BpulsesChanged = 1;
}
367
// ATUALIZACAO DOS PULSOS OMBRO
369 void OA_CHANGE() {
    if( digitalRead(encoderOB) == 0 ) {
371 if ( digitalRead(encoderOA) == 0 ) {
        // A fell , B is low
373 pulses[1]--; // moving reverse
    } else {
375 // A rose , B is low

```

```

        pulses[1]++; // moving forward
377     }
    } else {
379     if ( digitalRead(encoderOA) == 0 ) {
        // A fell , B is high
381     pulses[1]++; // moving forward
    } else {
383     // A rose , B is high
        pulses[1]--; // moving reverse
385     }
    }
387 // tell the loop that the pulses have changed
    OpulsesChanged = 1;
389 }

391 void OB_CHANGE() {
    if ( digitalRead(encoderOA) == 0 ) {
393     if ( digitalRead(encoderOB) == 0 ) {
        // B fell , A is low
395     pulses[1]++; // moving forward
    } else {
397     // B rose , A is low
        pulses[1]--; // moving reverse
399     }
    } else {
401     if ( digitalRead(encoderOB) == 0 ) {
        // B fell , A is high
403     pulses[1]--; // moving reverse
    } else {
405     // B rose , A is high
        pulses[1]++; // moving forward
407     }
    }
409 // tell the loop that the pulses have changed
    OpulsesChanged = 1;
411 }

413 // ATUALIZACAO DOS PULSOS COTOVELO
void CA_CHANGE() {
415     if( digitalRead(encoderCB) == 0 ) {
        if ( digitalRead(encoderCA) == 0 ) {
417     // A fell , B is low
        pulses[2]--; // moving reverse
419     } else {
        // A rose , B is low
421     pulses[2]++; // moving forward
        }
423     } else {

```

```

    if ( digitalRead(encoderCA) == 0 ) {
425      // A fell , B is high
      pulses[2]++; // moving forward
427    } else {
      // A rose , B is high
429      pulses[2]--; // moving reverse
    }
431  }
  // tell the loop that the pulses have changed
433  CpulsesChanged = 1;
}
435
void CB_CHANGE() {
437  if ( digitalRead(encoderCA) == 0 ) {
    if ( digitalRead(encoderCB) == 0 ) {
439      // B fell , A is low
      pulses[2]++; // moving forward
441    } else {
      // B rose , A is low
443      pulses[2]--; // moving reverse
    }
445  } else {
    if ( digitalRead(encoderCB) == 0 ) {
447      // B fell , A is high
      pulses[2]--; // moving reverse
449    } else {
      // B rose , A is high
451      pulses[2]++; // moving forward
    }
453  }
  // tell the loop that the pulses have changed
455  CpulsesChanged = 1;
}

```

## ANEXO D – CODIGO MATLAB

### MATLAB CODE

```

function varargout = GUIDE_TCC(varargin)
2 % GUIDE_TCC MATLAB code for GUIDE_TCC.fig
  %     GUIDE_TCC, by itself, creates a new GUIDE_TCC or raises the existing
4 %     singleton*.
  %
6 %     H = GUIDE_TCC returns the handle to a new GUIDE_TCC or the handle to
  %     the existing singleton*.
8 %
  %     GUIDE_TCC('CALLBACK',hObject,eventData,handles,...) calls the local
10 %     function named CALLBACK in GUIDE_TCC.M with the given input
        arguments.
  %
12 %     GUIDE_TCC('Property','Value',...) creates a new GUIDE_TCC or raises
        the
  %     existing singleton*. Starting from the left, property value pairs
        are
14 %     applied to the GUI before GUIDE_TCC_OpeningFcn gets called. An
  %     unrecognized property name or invalid value makes property
        application
16 %     stop. All inputs are passed to GUIDE_TCC_OpeningFcn via varargin.
  %
18 %     *See GUI Options on GUIDE's Tools menu. Choose "GUI allows only one
  %     instance to run (singleton)".
20 %
  % See also: GUIDE, GUIDATA, GUIHANDLES
22
  % Edit the above text to modify the response to help GUIDE_TCC
24
  % Last Modified by GUIDE v2.5 09-Sep-2017 19:10:55
26
  % Begin initialization code – DO NOT EDIT
28 gui_Singleton = 1;
  gui_State = struct('gui_Name',       mfilename, ...
30                     'gui_Singleton',  gui_Singleton, ...
                     'gui_OpeningFcn', @GUIDE_TCC_OpeningFcn, ...
32                     'gui_OutputFcn',  @GUIDE_TCC_OutputFcn, ...
                     'gui_LayoutFcn',  [], ...
34                     'gui_Callback',   []);
  if nargin && ischar(varargin{1})
36     gui_State.gui_Callback = str2func(varargin{1});
  end

```

```

38  if nargout
40      [varargout{1:nargout}] = gui_mainfcn(gui_State, varargin{:});
42  else
44      gui_mainfcn(gui_State, varargin{:});
46  end
48
49  % End initialization code – DO NOT EDIT
50
51  % — Executes just before GUIDE_TCC is made visible.
52  function GUIDE_TCC_OpeningFcn(hObject, eventdata, handles, varargin)
53  % This function has no output args, see OutputFcn.
54  % hObject    handle to figure
55  % eventdata  reserved – to be defined in a future version of MATLAB
56  % handles    structure with handles and user data (see GUIDATA)
57  % varargin   command line arguments to GUIDE_TCC (see VARARGIN)
58
59  % Choose default command line output for GUIDE_TCC
60  handles.output = hObject;
61
62  % Update handles structure
63  guidata(hObject, handles);
64
65  myImage = imread('titulo.jpg');
66  axes(handles.axes1);
67  imshow(myImage);
68
69  % UIWAIT makes GUIDE_TCC wait for user response (see UIRESUME)
70  % uiwait(handles.figure1);
71
72  % — Outputs from this function are returned to the command line.
73  function varargout = GUIDE_TCC_OutputFcn(hObject, eventdata, handles)
74  % varargout  cell array for returning output args (see VARARGOUT);
75  % hObject    handle to figure
76  % eventdata  reserved – to be defined in a future version of MATLAB
77  % handles    structure with handles and user data (see GUIDATA)
78
79  % Get default command line output from handles structure
80  varargout{1} = handles.output;
81
82  % — Executes on button press in pushbutton_run.
83  function pushbutton_run_Callback(hObject, eventdata, handles)
84  % hObject    handle to pushbutton_run (see GCBO)
85  % eventdata  reserved – to be defined in a future version of MATLAB

```

```

86 % handles      structure with handles and user data (see GUIDATA)
%flag=get(hObject,'string');
88 %if strcmp(flag,'SIMULAR')==1
    set_param(handles.modelname,'SimulationCommand','Start');
90 %set(hObject,'string','PARAR');
%else
92 %set_param(handles.modelname,'SimulationCommand','Stop');
%set(hObject,'string','SIMULAR');
94 %end
    guidata(hObject,handles);
96
function edit_simfile_Callback(hObject, eventdata, handles)
98 % hObject      handle to edit_simfile (see GCBO)
% eventdata     reserved – to be defined in a future version of MATLAB
100 % handles      structure with handles and user data (see GUIDATA)

102 % Hints: get(hObject,'String') returns contents of edit_simfile as text
%           str2double(get(hObject,'String')) returns contents of edit_simfile
%           as a double
104

106 % — Executes during object creation, after setting all properties.
function edit_simfile_CreateFcn(hObject, eventdata, handles)
108 if ispc && isequal(get(hObject,'BackgroundColor'), get(0,'
    defaultUicontrolBackgroundColor'))
    set(hObject,'BackgroundColor','white');
110 end

112
% — Executes on button press in pushbutton_simbrowse.
114 function pushbutton_simbrowse_Callback(hObject, eventdata, handles)
[input_file,pathname] = uigetfile( ...
116     {'*.mdl','mdl Files (*.mdl)';...
     '*.','All Files (*.*)'}, ...
118     'Select files', ...
     'MultiSelect', 'on');
120 if pathname == 0
    return
122 end
%gets the current data file names inside the listbox
124 inputfile= fullfile(pathname,input_file);
current_folder=strcat(cd,'\');
126 mdlname=strrep(inputfile,current_folder,'');
mdlname=strrep(mdlname,'.mdl','');
128 %updates the gui to display all filenames in the listbox
set(handles.edit_simfile,'String',mdlname);
130 guidata(hObject, handles);

```

```

132 % — Executes on button press in pushbutton_simremove.
    function pushbutton_simremove_Callback(hObject, eventdata, handles)
134 modelname=get(handles.edit_simfile, 'String');
    save_system(modelname);
136 close_system(modelname);
    handles=guidata(hObject);
138 set(handles.edit_simfile, 'String', '');
    set(handles.edit_simfile, 'BackgroundColor', [1 1 1]);
140 guidata(hObject, handles);

142
    % — Executes on button press in pushbutton_loadmodel.
144 function pushbutton_loadmodel_Callback(hObject, eventdata, handles)
    modelname=get(handles.edit_simfile, 'string');
146 set(handles.edit_simfile, 'BackgroundColor', [1 0 0]);
    if isempty(modelname)
148         errordlg('Voce deve carregar o modelo!!!');
    end
150 checkload=~isempty(find_system('type','block_diagram','name',modelname));
    if checkload==0
152         try
            load_system(modelname);
154         catch
            end
156 end

158 block_scope_s_real = sprintf('%s/SAIDA REAL',modelname);
    block_scope_s_desejada = sprintf('%s/SAIDA DESEJADA',modelname);
160 block_scope_erro = sprintf('%s/ERRO',modelname);
    block_scope_cartesiano = sprintf('%s/CARTESIANO',modelname);
162 block_scope_trajetoriaxy = sprintf('%s/TRAJETORIA XY',modelname);
    block_scope_realdesejada = sprintf('%s/REAL X DESEJADA',modelname);
164 block_scope_torque = sprintf('%s/TORQUE',modelname);

166 block_KI1=sprintf('%s/integrador/KI1',modelname);
    block_KI2=sprintf('%s/integrador/KI2',modelname);
168 block_KI3=sprintf('%s/integrador/KI3',modelname);

170 block_KP1=sprintf('%s/proporcional/KP1',modelname);
    block_KP2=sprintf('%s/proporcional/KP2',modelname);
172 block_KP3=sprintf('%s/proporcional/KP3',modelname);

174 block_KD1=sprintf('%s/derivador/KD1',modelname);
    block_KD2=sprintf('%s/derivador/KD2',modelname);
176 block_KD3=sprintf('%s/derivador/KD3',modelname);

178
    KP1=get_param(block_KP1, 'Gain');

```

```

180 KP2=get_param( block_KP2 , 'Gain' );
    KP3=get_param( block_KP3 , 'Gain' );
182
    KI1=get_param( block_KI1 , 'Gain' );
184 KI2=get_param( block_KI2 , 'Gain' );
    KI3=get_param( block_KI3 , 'Gain' );
186
    KD1=get_param( block_KD1 , 'Gain' );
188 KD2=get_param( block_KD2 , 'Gain' );
    KD3=get_param( block_KD3 , 'Gain' );
190

192 set( handles.slider_KP1 , 'value' ,str2double(KP1));
    set( handles.slider_KP2 , 'value' ,str2double(KP2));
194 set( handles.slider_KP3 , 'value' ,str2double(KP3));

196 set( handles.slider_KI1 , 'value' ,str2double(KI1));
    set( handles.slider_KI2 , 'value' ,str2double(KI2));
198 set( handles.slider_KI3 , 'value' ,str2double(KI3));

200 set( handles.slider_KD1 , 'value' ,str2double(KD1));
    set( handles.slider_KD2 , 'value' ,str2double(KD2));
202 set( handles.slider_KD3 , 'value' ,str2double(KD3));

204 set( handles.edit_KP1 , 'string' ,num2str(KP1));
    set( handles.edit_KP2 , 'string' ,num2str(KP2));
206 set( handles.edit_KP3 , 'string' ,num2str(KP3));

208 set( handles.edit_KI1 , 'string' ,num2str(KI1));
    set( handles.edit_KI2 , 'string' ,num2str(KI2));
210 set( handles.edit_KI3 , 'string' ,num2str(KI3));

212 set( handles.edit_KD1 , 'string' ,num2str(KD1));
    set( handles.edit_KD2 , 'string' ,num2str(KD2));
214 set( handles.edit_KD3 , 'string' ,num2str(KD3));

216 handles.modelname=modelname;

218 handles.block_scope_s_real = block_scope_s_real;
    handles.block_scope_s_desejada = block_scope_s_desejada;
220 handles.block_scope_erro = block_scope_erro;
    handles.block_scope_cartesiano = block_scope_cartesiano;
222 handles.block_scope_trajetoriaxy = block_scope_trajetoriaxy;
    handles.block_scope_realdesejada = block_scope_realdesejada;
224 handles.block_scope_torque = block_scope_torque;

226 handles.block_KP1=block_KP1;
    handles.block_KP2=block_KP2;

```



```

228 handles.block_KP3=block_KP3;

230 handles.block_KI1=block_KI1;
handles.block_KI2=block_KI2;
232 handles.block_KI3=block_KI3;

234 handles.block_KD1=block_KD1;
handles.block_KD2=block_KD2;
236 handles.block_KD3=block_KD3;
guidata(hObject,handles)

238
function edit_KD3_Callback(hObject, eventdata, handles)
240 handles=guidata(hObject);
val=get(hObject,'string');
242 set(handles.slider_KD3,'value',str2double(val));
set_param(handles.block_KD3,'Gain',val);
244 guidata(hObject,handles);

246 % — Executes during object creation, after setting all properties.
function edit_KD3_CreateFcn(hObject, eventdata, handles)
248 if ispc && isequal(get(hObject,'BackgroundColor'), get(0,'
    defaultUicontrolBackgroundColor'))
        set(hObject,'BackgroundColor','white');
250 end

252 % — Executes on slider movement.
function slider_KD3_Callback(hObject, eventdata, handles)
254 val=get(hObject,'value');
set(handles.edit_KD3,'string',num2str(val));
256 set_param(handles.block_KD3,'Gain',num2str(val));
guidata(hObject,handles);

258
% — Executes during object creation, after setting all properties.
260 function slider_KD3_CreateFcn(hObject, eventdata, handles)
if isequal(get(hObject,'BackgroundColor'), get(0,'
    defaultUicontrolBackgroundColor'))
262     set(hObject,'BackgroundColor',[.9 .9 .9]);
end

264
function edit_KD2_Callback(hObject, eventdata, handles)
266 handles=guidata(hObject);
val=get(hObject,'string');
268 set(handles.slider_KD2,'value',str2double(val));
set_param(handles.block_KD2,'Gain',val);
270 guidata(hObject,handles);

272 % — Executes during object creation, after setting all properties.
function edit_KD2_CreateFcn(hObject, eventdata, handles)

```

```

274 if ispc && isequal(get(hObject,'BackgroundColor'), get(0,'
    defaultUicontrolBackgroundColor'))
    set(hObject,'BackgroundColor','white');
276 end

278 % — Executes on slider movement.
function slider_KD2_Callback(hObject, eventdata, handles)
280 val=get(hObject,'value');
    set(handles.edit_KD2,'string',num2str(val));
282 set_param(handles.block_KD2,'Gain',num2str(val));
    guidata(hObject,handles);
284
% — Executes during object creation, after setting all properties.
286 function slider_KD2_CreateFcn(hObject, eventdata, handles)
    if isequal(get(hObject,'BackgroundColor'), get(0,'
        defaultUicontrolBackgroundColor'))
288         set(hObject,'BackgroundColor',[.9 .9 .9]);
    end
290
function edit_KD1_Callback(hObject, eventdata, handles)
292 handles=guidata(hObject);
    val=get(hObject,'string');
294 set(handles.slider_KD1,'value',str2double(val));
    set_param(handles.block_KD1,'Gain',val);
296 guidata(hObject,handles);

298 % — Executes during object creation, after setting all properties.
function edit_KD1_CreateFcn(hObject, eventdata, handles)
300 if ispc && isequal(get(hObject,'BackgroundColor'), get(0,'
    defaultUicontrolBackgroundColor'))
    set(hObject,'BackgroundColor','white');
302 end

304
% — Executes on slider movement.
306 function slider_KD1_Callback(hObject, eventdata, handles)
    val=get(hObject,'value');
308 set(handles.edit_KD1,'string',num2str(val));
    set_param(handles.block_KD1,'Gain',num2str(val));
310 guidata(hObject,handles);

312 % — Executes during object creation, after setting all properties.
function slider_KD1_CreateFcn(hObject, eventdata, handles)
314 if isequal(get(hObject,'BackgroundColor'), get(0,'
    defaultUicontrolBackgroundColor'))
    set(hObject,'BackgroundColor',[.9 .9 .9]);
316 end

```

```

318
320 function edit_KI3_Callback(hObject, eventdata, handles)
handles=guidata(hObject);
322 val=get(hObject, 'string');
set(handles.slider_KI3, 'value', str2double(val));
324 set_param(handles.block_KI3, 'Gain', val);
guidata(hObject, handles);
326
% — Executes during object creation, after setting all properties.
328 function edit_KI3_CreateFcn(hObject, eventdata, handles)
if ispc && isequal(get(hObject, 'BackgroundColor'), get(0, '
defaultUicontrolBackgroundColor'))
330 set(hObject, 'BackgroundColor', 'white');
end
332
334 % — Executes on slider movement.
function slider_KI3_Callback(hObject, eventdata, handles)
336 val=get(hObject, 'value');
set(handles.edit_KI3, 'string', num2str(val));
338 set_param(handles.block_KI3, 'Gain', num2str(val));
guidata(hObject, handles);
340
% — Executes during object creation, after setting all properties.
342 function slider_KI3_CreateFcn(hObject, eventdata, handles)
if isequal(get(hObject, 'BackgroundColor'), get(0, '
defaultUicontrolBackgroundColor'))
344 set(hObject, 'BackgroundColor', [.9 .9 .9]);
end
346
function edit_KI2_Callback(hObject, eventdata, handles)
348 handles=guidata(hObject);
val=get(hObject, 'string');
350 set(handles.slider_KI2, 'value', str2double(val));
set_param(handles.block_KI2, 'Gain', val);
352 guidata(hObject, handles);
354 % — Executes during object creation, after setting all properties.
function edit_KI2_CreateFcn(hObject, eventdata, handles)
356 if ispc && isequal(get(hObject, 'BackgroundColor'), get(0, '
defaultUicontrolBackgroundColor'))
set(hObject, 'BackgroundColor', 'white');
358 end
360
% — Executes on slider movement.
362 function slider_KI2_Callback(hObject, eventdata, handles)

```

```

val=get(hObject,'value');
364 set(handles.edit_KI2,'string',num2str(val));
    set_param(handles.block_KI2,'Gain',num2str(val));
366 guidata(hObject,handles);

368 % — Executes during object creation, after setting all properties.
function slider_KI2_CreateFcn(hObject, eventdata, handles)
370 if isequal(get(hObject,'BackgroundColor'), get(0,'
    defaultUicontrolBackgroundColor'))
        set(hObject,'BackgroundColor',[.9 .9 .9]);
372 end

374

376 function edit_KI1_Callback(hObject, eventdata, handles)
    handles=guidata(hObject);
378 val=get(hObject,'string');
    set(handles.slider_KI1,'value',str2double(val));
380 set_param(handles.block_KI1,'Gain',val);
    guidata(hObject,handles);
382

384 % — Executes during object creation, after setting all properties.
function edit_KI1_CreateFcn(hObject, eventdata, handles)
    if ispc && isequal(get(hObject,'BackgroundColor'), get(0,'
        defaultUicontrolBackgroundColor'))
386         set(hObject,'BackgroundColor','white');
    end
388

390 % — Executes on slider movement.
function slider_KI1_Callback(hObject, eventdata, handles)
392 val=get(hObject,'value');
    set(handles.edit_KI1,'string',num2str(val));
394 set_param(handles.block_KI1,'Gain',num2str(val));
    guidata(hObject,handles);
396

398 % — Executes during object creation, after setting all properties.
function slider_KI1_CreateFcn(hObject, eventdata, handles)
    if isequal(get(hObject,'BackgroundColor'), get(0,'
        defaultUicontrolBackgroundColor'))
400         set(hObject,'BackgroundColor',[.9 .9 .9]);
    end
402

404 % — Executes on slider movement.
function slider_KP1_Callback(hObject, eventdata, handles)
    val=get(hObject,'value');
406 set(handles.edit_KP1,'string',num2str(val));
    set_param(handles.block_KP1,'Gain',num2str(val));

```

```

408 guidata(hObject,handles);

410 % — Executes during object creation, after setting all properties.
function slider_KP1_CreateFcn(hObject, eventdata, handles)
412 if isequal(get(hObject,'BackgroundColor'), get(0,'
    defaultUicontrolBackgroundColor'))
    set(hObject,'BackgroundColor',[.9 .9 .9]);
414 end

416 function edit_KP1_Callback(hObject, eventdata, handles)
handles=guidata(hObject);
418 val=get(hObject,'string');
set(handles.slider_KP1,'value',str2double(val));
420 set_param(handles.block_KP1,'Gain',val);
guidata(hObject,handles);
422
% — Executes during object creation, after setting all properties.
424 function edit_KP1_CreateFcn(hObject, eventdata, handles)
if ispc && isequal(get(hObject,'BackgroundColor'), get(0,'
    defaultUicontrolBackgroundColor'))
426     set(hObject,'BackgroundColor','white');
end
428

430 % — Executes on slider movement.
function slider_KP2_Callback(hObject, eventdata, handles)
432 val=get(hObject,'value');
set(handles.edit_KP2,'string',num2str(val));
434 set_param(handles.block_KP2,'Gain',num2str(val));
guidata(hObject,handles);
436
% — Executes during object creation, after setting all properties.
438 function slider_KP2_CreateFcn(hObject, eventdata, handles)
if isequal(get(hObject,'BackgroundColor'), get(0,'
    defaultUicontrolBackgroundColor'))
440     set(hObject,'BackgroundColor',[.9 .9 .9]);
end
442

function edit_KP2_Callback(hObject, eventdata, handles)
444 handles=guidata(hObject);
val=get(hObject,'string');
446 set(handles.slider_KP2,'value',str2double(val));
set_param(handles.block_KP2,'Gain',val);
448 guidata(hObject,handles);

450 % — Executes during object creation, after setting all properties.
function edit_KP2_CreateFcn(hObject, eventdata, handles)

```

```

452 if ispc && isequal(get(hObject,'BackgroundColor'), get(0,'
    defaultUicontrolBackgroundColor'))
    set(hObject,'BackgroundColor','white');
454 end

456 % — Executes on slider movement.
function slider_KP3_Callback(hObject, eventdata, handles)
458 val=get(hObject,'value');
    set(handles.edit_KP3,'string',num2str(val));
460 set_param(handles.block_KP3,'Gain',num2str(val));
    guidata(hObject,handles);
462

464 % — Executes during object creation, after setting all properties.
function slider_KP3_CreateFcn(hObject, eventdata, handles)
    if isequal(get(hObject,'BackgroundColor'), get(0,'
        defaultUicontrolBackgroundColor'))
466         set(hObject,'BackgroundColor',[.9 .9 .9]);
    end
468

470 function edit_KP3_Callback(hObject, eventdata, handles)
    handles=guidata(hObject);
    val=get(hObject,'string');
472 set(handles.slider_KP3,'value',str2double(val));
    set_param(handles.block_KP3,'Gain',val);
474 guidata(hObject,handles);

476 % — Executes during object creation, after setting all properties.
function edit_KP3_CreateFcn(hObject, eventdata, handles)
478 if ispc && isequal(get(hObject,'BackgroundColor'), get(0,'
    defaultUicontrolBackgroundColor'))
    set(hObject,'BackgroundColor','white');
480 end

482 % — Executes on button press in checkbox_S_REAL.
function checkbox_S_REAL_Callback(hObject, eventdata, handles)
484 a = get(hObject,'Value');
    if (a == 1)
486         open_system(handles.block_scope_s_real);
    else
488         close_system(handles.block_scope_s_real);
    end
490

492 % — Executes on button press in checkbox_S_DESEJADA.
function checkbox_S_DESEJADA_Callback(hObject, eventdata, handles)
    a = get(hObject,'Value');
494 if (a == 1)
        open_system(handles.block_scope_s_desejada);
496 else

```

```

        close_system(handles.block_scope_s_desejada);
498 end

500 % — Executes on button press in checkbox_ERRO.
    function checkbox_ERRO_Callback(hObject, eventdata, handles)
502 a = get(hObject, 'Value');
    if (a == 1)
504         open_system(handles.block_scope_erro);
    else
506         close_system(handles.block_scope_erro);
    end

508 % — Executes on button press in pushbutton_mostra.
    function pushbutton_mostra_Callback(hObject, eventdata, handles)
510     modelname=get(handles.edit_simfile, 'String');
512     open_system(modelname);

514 % — Executes on button press in checkbox_T_CART.
    function checkbox_T_CART_Callback(hObject, eventdata, handles)
516 a = get(hObject, 'Value');
    if (a == 1)
518         open_system(handles.block_scope_cartesiano);
    else
520         close_system(handles.block_scope_cartesiano);
    end

522 % — Executes on button press in checkbox_TRAJXY.
    function checkbox_TRAJXY_Callback(hObject, eventdata, handles)
524 a = get(hObject, 'Value');
526 if (a == 1)
        open_system(handles.block_scope_trajetoriaxy);
528 else
        close_system(handles.block_scope_trajetoriaxy);
530 end

532 % — Executes on button press in checkbox_T_RD.
    function checkbox_T_RD_Callback(hObject, eventdata, handles)
534 a = get(hObject, 'Value');
    if (a == 1)
536         open_system(handles.block_scope_realdesejada);
    else
538         close_system(handles.block_scope_realdesejada);
    end

540 % Hint: get(hObject,'Value') returns toggle state of checkbox_T_RD

542 % — Executes on button press in checkbox15.
    function checkbox15_Callback(hObject, eventdata, handles)
544

```

```

546 % — Executes on button press in checkbox16.
function checkbox16_Callback(hObject, eventdata, handles)

548 % — Executes on button press in checkbox17.
function checkbox17_Callback(hObject, eventdata, handles)

550 % — Executes on button press in pushbuttontraj.
552 function pushbuttontraj_Callback(hObject, eventdata, handles)

554 set(handles.edit29,'BackgroundColor',[1 1 1]);
global tempo_simulacao;
556 tempo_simulacao = get(handles.edit29,'String');
tempo_simulacao = str2double(tempo_simulacao);
558 assignin('base','tempo_simulacao',tempo_simulacao);
%%
560 button = 1;
    %eixos
562 figure(2)
axis([0 0.23 -0.23 0.23])
564 grid on
hold on
566
global rx;
568 global ry;
global rz;
570
rx = []; %vetor para receber coordenadas de x
572 ry = []; %vetor para receber coordenadas de y
rz = []; %vetor para receber coordenadas de x
574
%vai fazer a trajetoria come?ar da posi?? inicial
576 rx(1) = 0.23;
ry(1) = 0;
578 rz(1) = 0.08;
i = 2;
580
while(button ==1) % enquanto clicamos com botao esquerdo do mause
582 rz(i) = 0.07;
[x,y,button] = ginput(1); %obtemos a coordenada de um ponto da tela
584 plot3(x,y,rz,'ro'); %mostramos o ponto
%terminamos de ler com um clique no botao direito
586 rx(i) = x;
ry(i) = y;
588 i = i+1;
end
590
x = rx;
592 y = ry;

```



```

dz = rz;
594 plot(x,y);
596 %correcao da altura em z
598 theta = [0 0 0];
d = [0.08 0 0];
600 l = [0 0.13 0.1];
alpha = [-pi/2 0 0];
602 t=[0:1:1]';

604 z = dz - d(1);

606 %pontos em x espaco de trabalho
NP = length(x); %numero de pontos
608 DIST = get(handles.edit30,'String');
DIST = str2double(DIST); %distancia entre cada ponto
610
%TRAJETORIA
612 for i=1:1:(NP-1)
    distancia(i) = sqrt((x(i)-x(i+1))^2+(y(i)-y(i+1))^2+(z(i)-z(i+1))^2); %
    distancia entre cada ponto informado
614 NPS(i) = distancia(i)/DIST; %numero de pontos-1 por cada
NPS(i) = round(NPS(i));
616 xd(i) = (x(i+1)-x(i))/(NPS(i)); % distancia entre pontos no eixo x
yd(i) = (y(i+1)-y(i))/(NPS(i)); % distancia entre pontos no eixo y
618 zd(i) = (z(i+1)-z(i))/(NPS(i)); % distancia entre pontos no eixo z

620
    linhasyez=length(yd);
622 pos{1,i}=[]; %cria vetor da trajetoria em x
pos{2,i}=[]; %cria vetor da trajetoria em y
624 pos{3,i}=[]; %cria vetor da trajetoria em z
    for j=1:1:NPS(i)
626 pos{1,i}=horzcat(pos{1,i},((x(i)-xd(i))+xd(1,linhasyez)*j));
pos{2,i}=horzcat(pos{2,i},((y(i)-yd(i))+yd(1,linhasyez)*j));
628 pos{3,i}=horzcat(pos{3,i},((z(i)-zd(i))+zd(1,linhasyez)*j));
    end
630
    % pos{1,i}(1,NPS(i))=x(i+1); % ultimo valor de cada trajeto recebe o
    valor valor final desejado
632 % pos{2,i}(1,length(pos{1,i}))=y(i+1); % ultimo valor de cada trajeto
    recebe o valor valor final desejado
    % pos{3,i}(1,length(pos{1,i}))=z(i+1); % ultimo valor de cada trajeto
    recebe o valor valor final desejado
634 end
636 CP = [];

```

```

trajx = [];
638 trajy = [];
trajz = [];
640
%separa variaveis de trajetoria
642 for i=1:1:(NP-1)
trajx = horzcat(trajx , pos{1,i});
644 trajy = horzcat(trajy , pos{2,i});
trajz = horzcat(trajz , pos{3,i});
646 end
NPN = length(trajx);
648
rad = pi/180;
650 graus = 180/pi;

652 %cinematica
    for i=1:1:NPN
654         th0(i) = atan2(trajy(i),trajx(i));
            ix(i) = (trajx(i)^2 + trajy(i)^2)^0.5;
656 %         #stuff for calculating th2
            r_2(i) = ix(i)^2 + (-trajz(i))^2;
658            l_sq = l(2)^2 + l(3)^2;
            term2 = (r_2(i) - l_sq)/(2*l(2)*l(3));
660            term1 = ((1 - term2^2)^0.5)*-1;
            %         #calculate th2
662            th2(i) = atan2(term1, term2);
            %         #optional line. Comment this one out if you
664            %         #notice any problems
            th2(i) = -1*th2(i);
666            %         x =x y=-z z=y

668            %         #Stuff for calculating th2
            k1 = l(2) + l(3)*cos(th2(i));
670            k2 = l(3)*sin(th2(i));
            r = (k1^2 + k2^2)^0.5;
672            gamma = atan2(k2,k1);
            %         #calculate th1
674            th1(i) = atan2(-trajz(i),ix(i)) - gamma;
            end
676
        for i=1:1:NPN
678            P{i} = [th0(i) th1(i) th2(i)]
        end
680
CP = [];
682 for i=1:1:(NPN)
CP=vertcat(CP,P{i});
684 end

```

```

686 for i = 1:1:(NPN-1)
        [q{i}, qd{i}, qdd{i}] = jtraj(P{i}, P{i+1}, t);
688 end

690 CQ = [];
    for i = 1:1:(NPN-1)
692 CQ = vertcat(CQ, q{i});
    end

694 CQQ = [];
    for i = 1:1:(NPN-1)
696 CQQ = vertcat(CQQ, qd{i});
    end

698 CQQQ = [];
    for i = 1:1:(NPN-1)
700 CQQQ = vertcat(CQQQ, qdd{i});
    end

702 CQQQ = vertcat(CQQQ, qdd{i});
    end

704
706 % figure(2)
706 % unimos cada par de pontos
706 % robot.plot([0,0,0]);
708 % hold on
708 % plot3(rx,ry,rz);
710
710 %vetor tempo
712 npt = length(CQ); % numero de pontos da trajetoria
    perio = tempo_simulacao/npt; % periodo de amostragem
714 i = 0:perio:(tempo_simulacao-perio);
    assignin('base','perio',perio);
716 t = i;

718 %adequa matriz para simulink com tempo
    t = t';
720 CQ = horzcat(t,CQ);
    CQQ = horzcat(t,CQQ);
722 CQQQ = horzcat(t,CQQQ);

724 %mandar pra works
    assignin('base','CQ',CQ);
726 assignin('base','CQQ',CQQ);
    assignin('base','CQQQ',CQQQ);
728 %%

730 function edit27_Callback(hObject, eventdata, handles)

732 % — Executes during object creation, after setting all properties.

```

```

function edit27_CreateFcn(hObject, eventdata, handles)
734 if ispc && isequal(get(hObject,'BackgroundColor'), get(0,'
    defaultUiControlBackgroundColor'))
        set(hObject,'BackgroundColor','white');
736 end

738 function edit_tempo_Callback(hObject, eventdata, handles)

740 % — Executes on button press in pushbuttonrobo.
function pushbuttonrobo_Callback(hObject, eventdata, handles)
742 %%
clear all;
744 % close all;
clc

746 %constantes do compensador
748 conskp = 5;
conski = 2;
750 conskd = 1;
aggkp = 50;
752 aggki = 63;
aggkd = 2;
754

%setar parametros nos blocos PID
756 set_param('dinamica/integrador/KI1','Gain','2');
set_param('dinamica/integrador/KI2','Gain','2');
758 set_param('dinamica/integrador/KI3','Gain','2');
set_param('dinamica/proporcional/KP1','Gain','6');
760 set_param('dinamica/proporcional/KP2','Gain','6');
set_param('dinamica/proporcional/KP3','Gain','6');
762 set_param('dinamica/derivador/KD1','Gain','1');
set_param('dinamica/derivador/KD2','Gain','1');
764 set_param('dinamica/derivador/KD3','Gain','1');

766 %parametros motor
%parametros motor
768 motor_R = 1.5;
motor_L= 0.006;
770 motor_K = 22/10000;
motor_J = 2/10000000;
772 motor_B = 9/100000000;

774 %parametros DH
theta = [0 0 0];
776 d = [0.08 0 0];
l = [0 0.13 0.1];
778 alpha = [-pi/2 0 0];

```

```

780 %criar elos
% theta | D | l | alpha | sigma | m | rx ry rz | Ixx Iyy Izz Ixy Iyz Ixz |
% Jm | G | B | Tc[0 0]
782 L(1)=Link([ theta(1) d(1) l(1) alpha(1) 0 0.45 0.00 0.03 0.02 0 0 0 0 0 0 0
    motor_J 1/50 motor_B 0 0]);
    L(2)=Link([ theta(2) d(2) l(2) alpha(2) 0 0.5 0.01 -0.03 0.00 0 0 0 0 0 0 0
    motor_J 1/50 motor_B 0 0]);
784 L(3)=Link([ theta(3) d(3) l(3) alpha(3) 0 0.4 0.01 0.03 0.00 0 0 0 0 0 0 0
    motor_J 1/50 motor_B 0 0]);

786 %criar robo
global robot;
788 robot = SerialLink(L);
    assignin('base','robot',robot);
790 t=[0:1:1]';
%&%
792
function edit29_Callback(hObject, eventdata, handles)
794
% — Executes during object creation, after setting all properties.
796 function edit29_CreateFcn(hObject, eventdata, handles)

798 if ispc && isequal(get(hObject,'BackgroundColor'), get(0,'
    defaultUicontrolBackgroundColor'))
    set(hObject,'BackgroundColor','white');
800 end

802
% — Executes on button press in checkbox18.
804 function checkbox18_Callback(hObject, eventdata, handles)
    a = get(hObject, 'Value');
806 % robot = evalin('base','robot');
    global robot;
808 global rx;
    global ry;
810 global rz;
    xr = evalin('base','xr');
812 yr = evalin('base','yr');
    zr = evalin('base','zr');
814 qreal = evalin('base','qreal');

816 if (a == 1)
    figure(2);
818 realcart = horzcat(xr,yr,zr);
    for i=1:length(qreal)-1
820 robot.plot(qreal(i,:));
    hold on;
822 plot2(realcart(i:i+1,:), 'r');

```

```

824     end
        robot.plot(qreal(length(qreal),:));
        hold on
826     figure(2);
        plot3(rx,ry,rz,'b');
828 else
        close(figure(2));
830 end

832
function checkbox19_Callback(hObject, eventdata, handles)
834
a = get(hObject, 'Value');
836 if (a == 1)
        open_system(handles.block_scope_torque);
838 else
        close_system(handles.block_scope_torque);
840 end

842
function edit30_Callback(hObject, eventdata, handles)
844
function edit30_CreateFcn(hObject, eventdata, handles)
846
if ispc && isequal(get(hObject,'BackgroundColor'), get(0,'
    defaultUicontrolBackgroundColor'))
848     set(hObject,'BackgroundColor','white');
end

```

**anexo/GUIDE\_TCC.m**